

Comune di Melfi  
Provincia di Potenza, Regione Basilicata

## MELFI CAMARDA SOLAR PARK S.R.L.



Viale Francesco Restelli 3/7

20124 Milano (MI)

PEC: nrgsolar6@pec.it

### Impianto Agrivoltaico "MELFI CAMARDA 15.9"

PD01\_18 – CALCOLI PRELIMINARI DEGLI IMPIANTI

PROGETTISTI		IL PROPONENTE
<b>Coordinamento tecnico di progetto</b>		<b>MELFI CAMARDA SOLAR PARK S.R.L.</b> Viale Francesco Restelli 3/7 20124 Milano (MI) P. IVA 02367550684 PEC: nrgsolar6@pec.it
<b>Michele Di stefano</b> Ordine Ingegneri della Provincia di Chieti - n. 1463 <a href="mailto:mdistefano@nrgplus.global">mdistefano@nrgplus.global</a> 		
<b>Supporto tecnico di progetto</b>		
<b>Alessandro Milella</b> <a href="mailto:amilella@nrgplus.global">amilella@nrgplus.global</a>		
RESPONSABILE TECNICO NRG+		
<b>Maurizio DE DONNO</b> Ordine Ingegneri della Provincia di Torino - n. 10258 H <a href="mailto:madedonno@nrgplus.global">madedonno@nrgplus.global</a> 		

DICEMBRE 2023

<b>MELFI CAMARDA SOLAR PARK S.R.L.</b> C.F e P.IVA: 02367550684 Viale Francesco Restelli 3/7 20124 Milano PEC: <a href="mailto:nrgsolar6@pec.it">nrgsolar6@pec.it</a>	<b>IMPIANTO AGRIVOLTAICO  MELFI CAMARDA 15.9</b>		
<b>PROGETTO DEFINITIVO</b>	<b>MELFI, POTENZA, BASILICATA</b>	<b>IN-GE-02  Rev. 0</b>	Pag. 2 di 39

## INDICE

<b>1. INDICAZIONI GENERALI</b> .....	3
<b>2. RIFERIMENTI NORMATIVI</b> .....	3
2.1 NORME DI RIFERIMENTO PER LA BASSA TENSIONE.....	3
2.2 NORME DI RIFERIMENTO PER MEDIA TENSIONE E ALTA TENSIONE...	4
<b>3. DESCRIZIONE DELL'IMPIANTO FV</b> .....	5
<b>4. CRITERI DIMENSIONALI DELL'IMPIANTO FV</b> .....	8
4.1 GENERATORE FOTOVOLTAICO – CRITERI DI DIMENSIONAMENTO .....	8
4.2 CAVI ELETTRICI LATO C.C.– CRITERI DIMENSIONALI .....	13
4.3 CAVI ELETTRICI LATO C.A. – CRITERI DIMENSIONALI .....	14
4.4 CANALIZZAZIONI – CRITERI DIMENSIONALI .....	15
4.5 SOLUZIONI IMPIANTISTICHE DI PROTEZIONE CONTRO I FULMINI – CRITERI DI SCELTA.....	15
<b>5. MISURE DI PROTEZIONE DELL'IMPIANTO FOTOVOLTAICO</b> .....	24
5.1 MISURE DI PROTEZIONE CONTRO I CONTATTI DIRETTI.....	24
5.2 MISURE DI PROTEZIONE CONTRO I CONTATTI INDIRETTI .....	24
5.3 MISURE DI PROTEZIONE DALLE SOVRACORRENTI .....	26
5.4 MISURE DI PROTEZIONE COLLEGAMENTO ALLA RETE ELETTRICA ...	27
5.5 MISURE DI PROTEZIONE CONTRO GLI EFFETTI DELLE SCARICHE ATMOSFERICHE .....	28
<b>6. IMPIANTO DI MESSA A TERRA</b> .....	29
<b>7. VALUTAZIONE RISCHIO FULMINAZIONE</b> .....	32
<b>8. ALLEGATI - ELENCO CALCOLO CAVI</b> .....	34
8.1 ALLEGATO 1 - ELENCO CAVI CIRCUITI DC.....	34
8.2 ALLEGATO 2 - ELENCO CAVI CIRCUITI AC: BASSA TENSIONE	
8.3 ALLEGATO 3 - ELENCO CAVI CIRCUITI AC: ALTA TENSIONE	
8.4 ALLEGATO 4 - RIEPILOGO CADUTE DI TENSIONE E PERDITE RESISTIVE	
8.5 ALLEGATO 5 - ELENCO CAVI CIRCUITI AUSILIARI	
8.6 ALLEGATO 6 – VALORE DI NG	

<b>MELFI CAMARDA SOLAR PARK S.R.L.</b> C.F e P.IVA: 02367550684 Viale Francesco Restelli 3/7 20124 Milano PEC: <a href="mailto:nrgsolar6@pec.it">nrgsolar6@pec.it</a>	<b>IMPIANTO AGRIVOLTAICO  MELFI CAMARDA 15.9</b>		
<b>PROGETTO DEFINITIVO</b>	<b>MELFI, POTENZA, BASILICATA</b>	<b>IN-GE-02  Rev. 0</b>	Pag. 3 di 39

## 1. INDICAZIONI GENERALI

La presente relazione sui "Calcoli Preliminari degli impianti" riporta le scelte impiantistiche in riferimento all'impianto fotovoltaico denominato "*Impianto Agrivoltaico Melfi Camarda 15.9*" della potenza di 19.978,20 kWp, in agro di Melfi nella Provincia di Potenza, realizzato con moduli fotovoltaici in silicio monocristallino, con una potenza di picco di 660Wp, anche le opere di connessione attraversano il medesimo comune.

La Società Proponente intende realizzare un impianto "agrivoltaico" nel Comune di Melfi (PZ), ponendosi come obiettivo la produzione di energia elettrica da fonte rinnovabile coerentemente agli indirizzi stabiliti in ambito nazionale e internazionale volti alla riduzione delle emissioni dei gas serra ed alla promozione di un maggior contributo delle fonti energetiche rinnovabili alla produzione di elettricità nel relativo mercato italiano e comunitario e adottare anche soluzioni volte a preservare la continuità delle attività agricola e pastorale sul sito di installazione.

La vendita dell'energia prodotta dall'impianto fotovoltaico sarà regolata da criteri di "market parity", ossia avrà gli stessi costi, se non più bassi, dell'energia prodotta dalle fonti tradizionali (petrolio, gas, carbone).

## 2. RIFERIMENTI NORMATIVI

### 2.1 NORME DI RIFERIMENTO PER LA BASSA TENSIONE

- CEI 0-21: Regola tecnica di riferimento per la connessione di Utenti attivi e passivi alle reti BT delle imprese distributrici di energia elettrica.
- CEI 11-20 IVa Ed. 2000-08: Impianti di produzione di energia elettrica e gruppi di continuità collegati a reti I e II categoria.
- CEI EN 60909-0 IIIa Ed. (IEC 60909-0:2016-12): Correnti di cortocircuito nei sistemi trifasi in corrente alternata. Parte 0: Calcolo delle correnti.
- IEC 60090-4 First ed. 2000-7: Correnti di cortocircuito nei sistemi trifasi in corrente alternata. Parte 4: Esempi per il calcolo delle correnti di cortocircuito.
- CEI 11-28 1993 Ia Ed. (IEC 781): Guida d'applicazione per il calcolo delle correnti di cortocircuito nelle reti radiali e bassa tensione.
- CEI EN 60947-2 (CEI 17-5) Ed. 2018-04: Apparecchiature a bassa tensione. Parte 2: Interruttori automatici.
- CEI 20-91 2010: Cavi elettrici con isolamento e guaina elastomerici senza alogeni non propaganti la fiamma con tensione nominale non superiore a 1000 V in corrente alternata e 1500 V in corrente continua per applicazioni in impianti fotovoltaici.
- CEI EN 60898-1 (CEI 23-3/1 Ia Ed.) 2004: Interruttori automatici per la protezione dalle sovracorrenti per impianti domestici e similari.

<b>MELFI CAMARDA SOLAR PARK S.R.L.</b> C.F e P.IVA: 02367550684 Viale Francesco Restelli 3/7 20124 Milano PEC: <a href="mailto:nrgsolar6@pec.it">nrgsolar6@pec.it</a>	<b>IMPIANTO AGRIVOLTAICO  MELFI CAMARDA 15.9</b>		
<b>PROGETTO DEFINITIVO</b>	<b>MELFI, POTENZA, BASILICATA</b>	<b>IN-GE-02  Rev. 0</b>	Pag. 4 di 39

- CEI EN 60898-2 (CEI 23-3/2) 2007: Interruttori automatici per la protezione dalle sovracorrenti per impianti domestici e similari Parte 2: Interruttori per funzionamento in corrente alternata e in corrente continua.
- CEI 64-8 VIIa Ed. 2012: Impianti elettrici utilizzatori a tensione nominale non superiore a 1000V in corrente alternata e a 1500V in corrente continua.
- IEC 364-5-523: Wiring system. Current-carrying capacities.
- IEC 60364-5-52 IIIa Ed. 2009: Electrical Installations of Buildings - Part 5-52: Selection and Erection of Electrical Equipment - Wiring Systems.
- CEI UNEL 35016 2016: Classe di Reazione al fuoco dei cavi in relazione al Regolamento EU "Prodotti da Costruzione" (305/2011).
- CEI UNEL 35023 2012: Cavi di energia per tensione nominale U uguale ad 1 kV - Cadute di tensione.
- CEI UNEL 35024/1 1997: Cavi elettrici isolati con materiale elastomerico o termoplastico per tensioni nominali non superiori a 1000 V in corrente alternata e a 1500 V in corrente continua. Portate di corrente in regime permanente per posa in aria.
- CEI UNEL 35024/2 1997: Cavi elettrici ad isolamento minerale per tensioni nominali non superiori a 1000 V in corrente alternata e a 1500 V in corrente continua. Portate di corrente in regime permanente per posa in aria.
- CEI UNEL 35026 2000: Cavi elettrici con materiale elastomerico o termoplastico per tensioni nominali di 1000 V in corrente alternata e 1500 V in corrente continua. Portate di corrente in regime permanente per posa interrata.
- CEI EN 61439 2012: Apparecchiature assiemate di protezione e di manovra per bassa tensione (quadri BT).
- CEI 17-43 IIa Ed. 2000: Metodo per la determinazione delle sovratemperature, mediante estrapolazione, per apparecchiature assiemate di protezione e di manovra per bassa tensione (quadri BT) non di serie (ANS).

## 2.2 NORME DI RIFERIMENTO PER MEDIA TENSIONE E ALTA TENSIONE

- CEI 0-16: Regola tecnica di riferimento per la connessione di Utenti attivi e passivi alle reti AT ed MT delle imprese distributrici di energia elettrica.
- CEI 99-2 (CEI EN 61936-1) 2011: Impianti con tensione superiore a 1 kV in c.a.
- CEI 11-17 IIIa Ed. 2006: Impianti di produzione, trasmissione e distribuzione di energia elettrica. Linee in cavo.
- CEI-UNEL 35027 IIa Ed. 2009: Cavi di energia per tensione nominale U da 1 kV a 30 kV.

<b>MELFI CAMARDA SOLAR PARK S.R.L.</b> C.F e P.IVA: 02367550684 Viale Francesco Restelli 3/7 20124 Milano PEC: nrgsolar6@pec.it	<b>IMPIANTO AGRIVOLTAICO  MELFI CAMARDA 15.9</b>		
<b>PROGETTO DEFINITIVO</b>	<b>MELFI, POTENZA, BASILICATA</b>	<b>IN-GE-02  Rev. 0</b>	Pag. 5 di 39

- CEI 99-4 2014: Guida per l'esecuzione di cabine elettriche MT/BT del cliente/utente finale.
- CEI 17-1 VIIa Ed. (CEI EN 62271-100) 2013: Apparecchiatura ad alta tensione Parte 100: Interruttori a corrente alternata.
- CEI 17-130 (CEI EN 62271-103) 2012: Apparecchiatura ad alta tensione Parte 103: Interruttori di manovra e interruttori di manovra sezionatori per tensioni nominali superiori a 1 kV fino a 52 kV compreso.
- IEC 60502-2 2014: Power cables with extruded insulation and their accessories for rated voltages from 1 kV up to 30 kV – Part 2.
- IEC 61892-4 Ia Ed. 2007-06: Mobile and fixed offshore units – Electrical installations. Part 4: Cables.

### 3. DESCRIZIONE DELL'IMPIANTO FV

#### Dati caratteristiche tecniche generali:

La centrale fotovoltaica avrà le seguenti caratteristiche generali:

- potenza fotovoltaica di 19.978,20 kWp
- potenza apparente inverter prevista (@ 40°C) di 18.900,00 kVA
- potenza nominale disponibile (immiss. in rete) pari a 15.900,00 kW
- produzione annua stimata: 32.486,24 MWh
- superficie totale sito (area recinzione): 26,00 ettari
- superficie occupata dall'impianto FV: 12,96 ettari
  - viabilità interna al campo: 9.600 mq
  - moduli FV (superficie netta): 99.553 mq
  - cabine: 582 mq
  - basamenti (pali ill. e videosorveglianza): 15 mq
  - drenaggi: 3.015 mq
  - superficie di mitigazione produttiva a verde: ~16.826 mq

#### Dati caratteristiche tecniche elettromeccaniche:

Il generatore fotovoltaico nella sua totalità tra i due siti sarà costituito da:

- n.30.270 moduli fotovoltaici Trina Solar TSM-NEG21C.20 da 660 W p;
- n.467 tracker da 2x30 e n.75 tracker da 2x15 moduli in verticale con le seguenti caratteristiche dimensionali:
  - ancoraggio a terra con pali infissi direttamente "battuti" nel terreno;
  - altezza minima da terra dei moduli 2,10;
  - altezza massima da terra dei moduli 5,19 m;
  - pitch: 9,15 m
  - tilt  $\pm 38.65^\circ$
  - azimut  $0^\circ$

<b>MELFI CAMARDA SOLAR PARK S.R.L.</b> C.F e P.IVA: 02367550684 Viale Francesco Restelli 3/7 20124 Milano PEC: nrgsolar6@pec.it	<b>IMPIANTO AGRIVOLTAICO  MELFI CAMARDA 15.9</b>		
<b>PROGETTO DEFINITIVO</b>	<b>MELFI, POTENZA, BASILICATA</b>	<b>IN-GE-02  Rev. 0</b>	Pag. 6 di 39

- n. 63 inverter HUAWEI SUN2000-330KTL che possono lavorare in conformità alle prescrizioni presenti del Codice di Rete.

Nell'impianto saranno inoltre presenti complessivamente:

- n. 7 cabine di trasformazione: trattasi di cabine prefabbricate, oppure container delle stesse dimensioni, ciascuna con volumetria lorda complessiva pari a 19200x2900x2440 mm (W x H x D), così composte:
  - vano quadri BT;
  - vano trasformatore BT/BT per i servizi ausiliari 5-50 kVA;
  - trasformatore AT/BT (installato all'aperto);
  - vano quadri AT.
- n. 1 cabina di ricezione AT sezionamento e controllo: cabina prefabbricata avente volumetria lorda complessiva pari a 33000x4000x6500 mm (W x H x D), al loro interno saranno installati:
  - Locale Distribuzione con quadro di distribuzione di alta tensione, trasformatore ausiliario AT/BT e quadro per i servizi ausiliari della centrale;
  - Locale Monitoraggio e Controllo con la componentistica dei sistemi ausiliari e monitoraggio.
- n. 1 cabine di stoccaggio materiale: cabina prefabbricata avente volumetria lorda complessiva pari a 12200x2440x2600 mm (W x H x D).
- rete elettrica interna in alta tensione 36 kV per il collegamento tra le varie cabine di trasformazione e le cabine di ricezione
- rete elettrica interna a 1500V tra i moduli fotovoltaici e gli inverter;
- rete elettrica interna a 800V tra gli inverter e le cabine di trasformazione;
- impianto di terra (posizionato lungo le trincee dei cavi di potenza) e maglia di terra delle cabine.

#### Dati caratteristiche tecniche civili:

Tutte le opere civili necessarie alla corretta collocazione degli elementi dell'impianto e al fine di garantire la fruibilità in termini di operazione e mantenimento dell'impianto nell'arco della sua vita utile:

- recinzione perimetrale a maglia metallica plastificata pari a ca. 2,25 ml dal terreno con circa 15 cm come misura di mitigazione ambientale, con pali a T infissi 60 cm;
- viabilità interna al parco larghezza di 3,5 metri realizzata con un materiale misto cava di cava o riciclato spessore ca. 30-50cm;
- minima regolarizzazione del piano di posa dei componenti dell'impianto fotovoltaico (strutture e cabinati) in ogni caso con quote

<b>MELFI CAMARDA SOLAR PARK S.R.L.</b> C.F e P.IVA: 02367550684 Viale Francesco Restelli 3/7 20124 Milano PEC: nrgsolar6@pec.it	<b>IMPIANTO AGRIVOLTAICO  MELFI CAMARDA 15.9</b>		
<b>PROGETTO DEFINITIVO</b>	<b>MELFI, POTENZA, BASILICATA</b>	<b>IN-GE-02  Rev. 0</b>	Pag. 7 di 39

non superiori a 0,5 metri, al fine di non introdurre alterazioni significative della naturale pendenza del terreno;

- scavi a sezione ampia per la realizzazione della fondazione delle cabine elettriche e della viabilità interna e a sezione ristretta per la realizzazione delle trincee dei cavidotti AT, BT e ausiliari, in ogni caso fino a 1,3 metri all'interno delle aree recintate;
- canalizzazioni all'ingresso delle cabine, cavi inverter e cabine, cavi perimetrali per i sistemi ausiliari;
- basamenti dei cabinati (cabine di trasformazione BT/AT e cabine di ricezione) e plinti di fondazione delle palificazioni per illuminazione, videosorveglianza perimetrale e recinzione;
- pozzetti per le canalizzazioni perimetrali e gli accessi nelle cabine di trasformazione;
- opere di piantumazione officinale del terreno, piantumazione fascia arborea di protezione e separazione utile al sistema agrivoltaico;
- eventuali drenaggi in canali aperti a sezione ristretta, a protezione della viabilità interna e delle cabine, nel caso si riscontrassero basse capacità drenanti delle aree della viabilità interna o delle aree di installazione delle cabine.

#### Dati caratteristiche tecniche sistemi ausiliari:

I sistemi ausiliari che saranno realizzati sono:

- sistema di controllo e monitoraggio impianto agrivoltaico e del microclima;
- sistema antintrusione lungo l'anello perimetrale ed in prossimità dei punti di accesso e cabine, costituito da un sistema di videosorveglianza con telecamere fisse poste su pali in acciaio, da un sistema di allarme a barriere microonde (RX-TX di circa 60 m) con centralina di gestione degli accessi;
- sistema di illuminazione con fari LED 50W con riflettore con ottica antinquinamento luminoso posti su pali in acciaio, altezza 3-5 m, lungo l'anello perimetrale ed in prossimità dei punti di accesso e cabine;
- rete elettrica interna a bassa tensione per l'alimentazione dei servizi ausiliari di centrale (illuminazione perimetrale, controllo, etc.).
- rete telematica interna per la trasmissione dei dati del campo fotovoltaico;
- rete idrica per l'irrigazione della mitigazione perimetrale.

<b>MELFI CAMARDA SOLAR PARK S.R.L.</b> C.F e P.IVA: 02367550684 Viale Francesco Restelli 3/7 20124 Milano PEC: <a href="mailto:nrgsolar6@pec.it">nrgsolar6@pec.it</a>	<b>IMPIANTO AGRIVOLTAICO  MELFI CAMARDA 15.9</b>		
<b>PROGETTO DEFINITIVO</b>	<b>MELFI, POTENZA, BASILICATA</b>	<b>IN-GE-02  Rev. 0</b>	Pag. 8 di 39

#### 4. CRITERI DIMENSIONALI DELL'IMPIANTO FV

##### 4.1 GENERATORE FOTOVOLTAICO – CRITERI DI DIMENSIONAMENTO

Gli impianti fotovoltaici saranno realizzati con componenti che assicurano l'osservanza delle due seguenti condizioni:

$$P_{cc} > 0.85 P_{nom} \cdot \frac{I}{I_{stc}}$$

$$P_{ca} > 0.9 P_{cc}$$

dove:

- $P_{cc}$  è la potenza in corrente continua misurata all'uscita del generatore fotovoltaico, con precisione migliore del  $\pm 2\%$ ;
- $P_{nom}$  è la potenza nominale del generatore fotovoltaico;
- $I$  è l'irraggiamento in W/mq misurato sul piano dei moduli, con precisione migliore del  $\pm 3\%$ ;
- $I_{stc} = 1.000$  W/mq, è l'irraggiamento in condizioni di prova standard;
- $P_{ca}$  è la potenza attiva in corrente alternata misurata all'uscita del gruppo di conversione della corrente continua in corrente alternata, con precisione migliore del  $\pm 2\%$ .

Al fine del rispetto delle condizioni sopra descritte gli impianti fotovoltaici oggetto della presente relazione saranno realizzati utilizzando moduli fotovoltaici ad elevate prestazioni e gruppi di conversione della corrente continua in alternata ad elevata efficienza.

Al termine dei lavori saranno effettuate tutte le verifiche tecnico-funzionali, in particolare:

- Esame a vista per accertare la rispondenza dell'opera e dei componenti alle prescrizioni tecniche e di installazione previste dal progetto definitivo;
- Verifica delle stringhe fotovoltaiche;
- Misura dell'uniformità della tensione a vuoto;
- Misura dell'uniformità della corrente di cortocircuito;
- Misura della resistenza di isolamento dei circuiti tra le due polarità lato Corrente continua e terra e lato alternata tra conduttori e terra;
- Verifica del grado di protezione dei componenti installati;
- Verifica della continuità elettrica del circuito di messa a terra e scaricatori;
- Verifica e controllo tramite battitura dei cavi di collegamento del circuito elettrico di tutto il sistema;
- Isolamento dei circuiti elettrici e delle masse;



<b>MELFI CAMARDA SOLAR PARK S.R.L.</b> C.F e P.IVA: 02367550684 Viale Francesco Restelli 3/7 20124 Milano PEC: <a href="mailto:nrgsolar6@pec.it">nrgsolar6@pec.it</a>	<b>IMPIANTO AGRIVOLTAICO  MELFI CAMARDA 15.9</b>		
<b>PROGETTO DEFINITIVO</b>	<b>MELFI, POTENZA, BASILICATA</b>	<b>IN-GE-02  Rev. 0</b>	Pag. 9 di 39

- Corretto funzionamento dell'impianto fotovoltaico nelle diverse condizioni di potenza generata e nelle varie modalità previste dai gruppi di conversione (accensione, spegnimento, mancanza rete).

La potenza nominale dell'impianto fotovoltaico è intesa come somma delle potenze nominali dei singoli moduli fotovoltaici scelti per realizzare il generatore fotovoltaico. Il dimensionamento del generatore fotovoltaico è stato eseguito tenendo conto della superficie utile disponibile, dei distanziamenti da mantenere tra filari di moduli per evitare fenomeni di auto-ombreggiamento e degli spazi necessari per l'installazione dei locali di conversione e trasformazione, di consegna e ricezione.

Il numero di moduli necessari per la realizzazione del generatore è stato calcolato applicando la seguente relazione:

$$N \text{ moduli} = (P_n \text{ generatore}) / (P_n \text{ modulo})$$

dove:

- $P_n$  generatore è la potenza nominale del generatore fotovoltaico (misurata in W);
- $P_n$  modulo è la potenza nominale del modulo fotovoltaico (misurata in W).

L'impianto sarà suddiviso in 7 sottocampi per ognuno dei quali si dovrà realizzare un locale di conversione e trasformazione, all'interno del quale saranno installati i quadri elettrici di bassa tensione, i trasformatori AT/BT, i dispositivi di protezione dei montanti di alta tensione dei trasformatori, un interruttore generale di alta tensione e l'alimentazione dei dispositivi ausiliari.

Definito il layout dell'impianto (soluzione con inverter di stringa) il numero di moduli della stringa e il numero di stringhe da collegare in parallelo, sono stati determinati coordinando opportunamente le caratteristiche dei moduli fotovoltaici con quelle degli inverter scelti, rispettando le seguenti 4 condizioni:

1. la massima tensione del generatore fotovoltaico deve essere inferiore alla massima tensione di ingresso dell'inverter;
2. la massima tensione nel punto di massima potenza del generatore fotovoltaico non deve essere superiore alla massima tensione del sistema MPPT dell'inverter;
3. la minima tensione nel punto di massima potenza del generatore fotovoltaico non deve essere inferiore alla minima tensione del sistema MPPT dell'inverter;

<b>MELFI CAMARDA SOLAR PARK S.R.L.</b> C.F e P.IVA: 02367550684 Viale Francesco Restelli 3/7 20124 Milano PEC: nrgsolar6@pec.it	<b>IMPIANTO AGRIVOLTAICO  MELFI CAMARDA 15.9</b>		
<b>PROGETTO DEFINITIVO</b>	<b>MELFI, POTENZA, BASILICATA</b>	<b>IN-GE-02  Rev. 0</b>	Pag. 10 di 39

4. la massima corrente del generatore fotovoltaico non deve essere superiore alla massima corrente in ingresso all'inverter.

Per la verifica delle suddette condizioni sono state applicate le formule di seguito riportate.

#### Verifica della condizione 1

La massima tensione del generatore fotovoltaico è la tensione a vuoto di stringa calcolata alla minima temperatura di funzionamento dei moduli, in genere assunta pari a:

- 10° C per le zone fredde;
- 0° C per le zone meridionali e costiere.

La tensione massima del generatore fotovoltaico alla minima temperatura di funzionamento dei moduli si calcola con la seguente espressione:

$$U_{MAXFV}(\theta_{min}) = N_s \cdot U_{MAXmodulo}(\theta_{min}) [V]$$

dove  $N_s$  è il numero di moduli che costituiscono la stringa,  $U_{MAX modulo}(\theta_{min})$  è la tensione massima del singolo modulo alla minima temperatura di funzionamento.

Quest'ultima può essere calcolata con la seguente espressione:

$$U_{MAXmodulo}(\theta_{min}) = U_{oc}(25^{\circ}C) - \beta \cdot (25 - \theta_{min})$$

dove:

- $U_{oc}(25^{\circ}C)$  è la tensione a vuoto del modulo in condizioni standard il cui valore viene dichiarato dal costruttore;
- $\beta$  è il coefficiente di variazione della tensione con la temperatura, anch'esso dichiarato dal costruttore.

Deve risultare pertanto:

$$U_{MAXFV}(\theta_{min}) = N_s \cdot U_{MAXmodulo}(\theta_{min}) = N_s \cdot [U_{oc}(25^{\circ}C) - \beta(25 - \theta_{min})] \leq U_{maxinverter}$$

essendo  $U_{maxinverter}$  la massima tensione in ingresso all'inverter, deducibile dai dati di targa.

<b>MELFI CAMARDA SOLAR PARK S.R.L.</b> C.F e P.IVA: 02367550684 Viale Francesco Restelli 3/7 20124 Milano PEC: nrgsolar6@pec.it	<b>IMPIANTO AGRIVOLTAICO  MELFI CAMARDA 15.9</b>		
<b>PROGETTO DEFINITIVO</b>	<b>MELFI, POTENZA, BASILICATA</b>	<b>IN-GE-02  Rev. 0</b>	Pag. 11 di 39

### Verifica della condizione 2

La massima tensione del generatore fotovoltaico nel punto di massima potenza rappresenta la tensione di stringa calcolata con irraggiamento pari a 1.000 W/mq, e può essere calcolata con la seguente espressione:

$$UMPPTMAX FV (\theta_{min}) = N_s \cdot UMPPTMAX \text{ modulo } (\theta_{min})$$

dove:

- $N_s$  è il numero di moduli collegati in serie;
- $UMPPTMAX \text{ modulo } (\theta_{min})$  è la massima tensione del modulo FV nel punto di massima potenza calcolabile

nel seguente modo:

$$UMPPTMAX \text{ modulo } (\theta_{min}) = UMPPT - \beta \cdot (25 - \theta_{min})$$

essendo  $UMPPT$  la tensione del modulo in corrispondenza del punto di massima potenza, dichiarata dal costruttore.

Ai fini del corretto coordinamento occorre verificare che:

$$UMPPTMAX FV (\theta_{min}) = N_s \cdot [UMPPT - \beta \cdot (25 - \theta_{min})] \leq UMPPTMAX \text{ INVERTER}$$

dove  $UMPPTMAX \text{ INVERTER}$  è la massima tensione del sistema MPPT dell'inverter, deducibile dai dati di targa.

### Verifica della condizione 3

La minima tensione del generatore fotovoltaico nel punto di massima potenza è la tensione di stringa calcolata con:

- irraggiamento pari a 1.000 W/mq
- temperatura  $\theta_{max}$  pari a 70-80°C

e può essere calcolata con la seguente espressione:

$$UMPPT \text{ min FV} = N_s \cdot UMPPT \text{ min modulo}$$

dove:

- $N_s$  è il numero di moduli collegati in serie;
- $UMPPT \text{ min modulo}$  è la tensione minima del modulo nel punto di massima potenza, calcolabile nel seguente modo:

$$UMPPT \text{ min modulo} = UMPPT \text{ modulo} - \beta \cdot (25 - \theta_{max})$$

<b>MELFI CAMARDA SOLAR PARK S.R.L.</b> C.F e P.IVA: 02367550684 Viale Francesco Restelli 3/7 20124 Milano PEC: nrgsolar6@pec.it	<b>IMPIANTO AGRIVOLTAICO  MELFI CAMARDA 15.9</b>		
<b>PROGETTO DEFINITIVO</b>	<b>MELFI, POTENZA, BASILICATA</b>	<b>IN-GE-02  Rev. 0</b>	Pag. 12 di 39

Ai fini del corretto coordinamento deve risultare:

$$UMPPT_{min} FV = N_s \cdot [ UMPPT_{modulo} - \beta \cdot (25 - \theta_{max}) ] \geq UMPPT_{min} INVERTER$$

essendo UMPPT min INVERTER la minima tensione nel punto di massima potenza del sistema MPPT dell'inverter, deducibile dai dati di targa.

#### Verifica della condizione 4

La massima corrente del generatore FV è data dalla somma delle correnti massime erogate da ciascuna stringa in parallelo.

La massima corrente di stringa è calcolabile nel seguente modo:

$$I_{stringa,Max} = 1,25 \cdot I_{sc}$$

dove:

- $I_{stringa,Max}$  è la massima corrente erogata dalla stringa;
- $I_{sc}$  è la corrente di cortocircuito del singolo modulo;
- 1,25 è un coefficiente di maggiorazione che tiene conto di un aumento della corrente di cortocircuito del modulo a causa di valori di irraggiamento superiori a 1.000 W/mq.

Per il corretto coordinamento occorre verificare che:

$$I_{maxFV} = N_p \cdot 1,25 \cdot I_{sc} \leq I_{max} Inverter$$

dove:

- $I_{max} FV$  è la massima corrente in uscita dal generatore fotovoltaico;
- $N_p$  è il numero di stringhe in parallelo;
- $I_{max} inverter$  è la massima corrente in ingresso all'inverter.

<b>MELFI CAMARDA SOLAR PARK S.R.L.</b> C.F e P.IVA: 02367550684 Viale Francesco Restelli 3/7 20124 Milano PEC: nrgsolar6@pec.it	<b>IMPIANTO AGRIVOLTAICO  MELFI CAMARDA 15.9</b>		
<b>PROGETTO DEFINITIVO</b>	<b>MELFI, POTENZA, BASILICATA</b>	<b>IN-GE-02  Rev. 0</b>	Pag. 13 di 39

#### 4.2 CAVI ELETTRICI LATO C.C.- CRITERI DIMENSIONALI

La scelta delle sezioni dei cavi è effettuata in base alla loro portata nominale (calcolata in base ai criteri di unificazione e di dimensionamento riportati nelle Tabelle CEI-UNEL), alle condizioni di posa e di temperatura, al limite ammesso dalle Norme per quanto riguarda le cadute di tensione massime ammissibili ed alle caratteristiche di intervento delle protezioni secondo quanto previsto dalle vigenti Norme CEI 64-8.

Tuttavia, al fine di garantire un elevato standard delle prestazioni di generazione, i cavi sono dimensionati in modo da limitare la caduta di tensione e perdita media percentuale secondo il seguente dettaglio:

<b>VALORI AMMISSIBILI (Valori Massimi)</b>	
<b>Lato in corrente continua (DC)</b>	
Caduta di tensione percentuale DC (*)	
Caduta di tensione percentuale DC: Tratto stringhe-inverter distribuiti	2.00%
<hr/>	
Totale caduta di tensione percentuale massima DC	2.00%
Perdite medie percentuali DC	
Perdite medie percentuali DC non deve superare all'interno dell'intero parco fotovoltaico	1.00%

(\*) Valori di riferimento i valori massimi di funzionamento in condizioni standard (STC) ( $I_{mppt}$  e  $V_{mppt}$ ).

In allegato viene riportato l'elenco dei cavi dei circuiti in corrente continua.

<b>MELFI CAMARDA SOLAR PARK S.R.L.</b> C.F e P.IVA: 02367550684 Viale Francesco Restelli 3/7 20124 Milano PEC: nrgsolar6@pec.it	<b>IMPIANTO AGRIVOLTAICO  MELFI CAMARDA 15.9</b>		
<b>PROGETTO DEFINITIVO</b>	<b>MELFI, POTENZA, BASILICATA</b>	<b>IN-GE-02  Rev. 0</b>	Pag. 14 di 39

#### 4.3 CAVI ELETTRICI LATO C.A. – CRITERI DIMENSIONALI

La scelta delle sezioni dei cavi è effettuata in base alla loro portata nominale (calcolata in base ai criteri di unificazione e di dimensionamento riportati nelle Tabelle CEI-UNEL), alle condizioni di posa e di temperatura, al limite ammesso dalle Norme per quanto riguarda le cadute di tensione massime ammissibili ed alle caratteristiche di intervento delle protezioni secondo quanto previsto dalle vigenti Norme CEI 64-8.

Tuttavia, per i cavi di distribuzione dell'energia prodotta, al fine di garantire un elevato standard delle prestazioni di generazione, i cavi di potenza sono dimensionati in modo da limitare la caduta di tensione e perdita media percentuale secondo il seguente dettaglio:

<b>VALORI AMMISSIBILI (Valori Massimi)</b>	
<b>Lato in corrente alternata (AC)</b>	
Caduta di tensione percentuale AC	
Caduta di tensione percentuale AC: Tratto tra inverter e cabine di trasformazione	1.50%
Caduta di tensione percentuale AC: Tratto tra ultima cabina trasformazione e la cabina ricezione del campo	0.50%
Totale caduta di tensione percentuale massima AC	
	2.00%
Perdite medie percentuali AC	
Perdite medie percentuali AC non deve superare all'interno dell'intero parco fotovoltaico	2.00%

Caduta di tensione percentuale totale (DC + AC) dai capi dei pannelli fino al punto di consegna sarà limitata sotto il 5%.

Per quanto riguarda la disposizione dei percorsi dei cavi, viene data preferenza al metodo parallelo o perpendicolare rispetto alla disposizione delle file delle vele fotovoltaiche. Sono ammesse disposizioni inclinate per le connessioni tra gli inverter e la cabina di trasformazione e di norma detti percorsi, saranno fatti convergere ai margini della viabilità interna e/o dei percorsi e lontano dai pali delle strutture di supporto dei moduli.

La portata delle condutture (nei tratti ove presente) sarà commisurata alla potenza totale da installare.

In allegato viene riportato l'elenco dei cavi dei circuiti in corrente alternata (bassa tensione, alta tensione e circuiti ausiliari).

<b>MELFI CAMARDA SOLAR PARK S.R.L.</b> C.F e P.IVA: 02367550684 Viale Francesco Restelli 3/7 20124 Milano PEC: nrgsolar6@pec.it	<b>IMPIANTO AGRIVOLTAICO  MELFI CAMARDA 15.9</b>		
<b>PROGETTO DEFINITIVO</b>	<b>MELFI, POTENZA, BASILICATA</b>	<b>IN-GE-02  Rev. 0</b>	Pag. 15 di 39

#### 4.4 CANALIZZAZIONI – CRITERI DIMENSIONALI

Il dimensionamento della canalizzazione segue i seguenti criteri di dimensionamento:

- Il diametro interno dei tubi sarà maggiore o al limite uguale a 1,4 volte il diametro del cerchio circoscritto al fascio dei cavi in esso contenuti, in ogni caso non inferiore a 16mm.
- Il numero di cavi installati all'interno delle canaline e dei tubi non deve occupare più del 50% dello spazio disponibile nei canali.
- I tubi devono avere un diametro sufficientemente grande per permettere ai cavi contenuti all'interno di essere facilmente svitati e riavvitati senza danneggiare né i cavi o i tubi.

In particolare, occorrerà attenzione affinché:

- le estremità di tutte le linee interrato siano protette e collegate alle apparecchiature mediante un collegamento con passacavo in PVC e con un traverso e pozzetto di ispezione, in modo da garantire la protezione meccanica contro gli urti accidentali per tutta la lunghezza del percorso.
- i tubi vengano sigillati alle loro estremità con materiale adeguato ad assicurare opportuna tenuta d'acqua.
- i livelli di protezione contro il contatto diretto saranno quelli previsti dalle norme, utilizzando gli accessori necessari (angoli, diramazioni, ecc.). Più specificamente tutti i cavi di alimentazione con tensioni nominali diverse devono essere separati da barriere adeguate.

#### 4.5 SOLUZIONI IMPIANTISTICHE DI PROTEZIONE CONTRO I FULMINI – CRITERI DI SCELTA

Di seguito viene illustrata la valutazione del rischio di fulminazione delle strutture facenti parti degli impianti fotovoltaici in progetto.

Per i calcoli e la valutazione del rischio si è fatto riferimento alla norma CEI EN 62305-2 "Norme per la protezione contro i fulmini - Parte 2: Valutazione del rischio".

#### **Definizioni**

Fulmine su una struttura: fulmine che colpisce una struttura da proteggere;

Fulmine in prossimità di una struttura: fulmine che colpisce tanto vicino ad una struttura da proteggere da essere in grado di generare sovratensioni pericolose;

Fulmine su una linea: fulmine che colpisce una linea connessa alla struttura da proteggere;

<b>MELFI CAMARDA SOLAR PARK S.R.L.</b> C.F e P.IVA: 02367550684 Viale Francesco Restelli 3/7 20124 Milano PEC: <a href="mailto:nrgsolar6@pec.it">nrgsolar6@pec.it</a>	<b>IMPIANTO AGRIVOLTAICO  MELFI CAMARDA 15.9</b>		
<b>PROGETTO DEFINITIVO</b>	<b>MELFI, POTENZA, BASILICATA</b>	<b>IN-GE-02  Rev. 0</b>	Pag. 16 di 39

Fulmine in prossimità di una linea: fulmine che colpisce tanto vicino ad una linea connessa alla struttura da proteggere, da essere in grado di generare sovratensioni pericolose;

Danni ad esseri viventi: danni, inclusa la perdita della vita, causati ad uomini o animali per elettrocuzione provocata da tensioni di contatto e di passo generate dal fulmine;

LEMP: Impulso elettromagnetico del fulmine, tutti gli effetti elettromagnetici della corrente di fulmine che possono generare impulsi e campi elettromagnetici mediante accoppiamento resistivo, induttivo e capacitivo;

LPL: Livello di protezione, numero, associato ad un gruppo di valori dei parametri della corrente di fulmine, relativo alla probabilità che i correlati valori massimo e minimo di progetto non siano superati in natura;

Misure di protezione: misure da adottare nella struttura da proteggere per ridurre il rischio;

LP: Protezione contro il fulmine, sistema completo usato per la protezione contro il fulmine delle strutture, dei loro impianti interni, del loro contenuto e delle persone, costituito in generale da un LPS e dalle SPM;

ZS: Zona di una struttura, parte di una struttura con caratteristiche omogenee, in cui può essere usato un gruppo unico di parametri per la valutazione di una componente di rischio;

SL: Sezione di una linea, parte di una linea con caratteristiche omogenee, in cui può essere usato un unico gruppo di parametri per la valutazione di una componente di rischio;

LPS: Sistema di protezione contro il fulmine, impianto completo usato per ridurre il danno materiale dovuto alla fulminazione diretta della struttura;

SPM: Misure di protezione contro il LEMP, misure usate per la protezione degli impianti interni contro gli effetti del LEMP;

SPD: Limitatore di sovratensione, dispositivo che limita le sovratensioni e scarica le correnti impulsive;  
contiene almeno un componente non lineare

Sistema di SPD: Gruppo di SPD adeguatamente scelto, coordinato ed installato per ridurre i guasti degli impianti elettrici ed elettronici.

## Simboli e abbreviazioni

- A<sub>D</sub>** Area di raccolta dei fulmini su una struttura isolata;
- A<sub>DJ</sub>** Area di raccolta dei fulmini su una struttura adiacente;
- A<sub>I</sub>** Area di raccolta dei fulmini in prossimità di una linea;
- A<sub>L</sub>** Area di raccolta dei fulmini su una linea;
- A<sub>M</sub>** Area di raccolta dei fulmini in prossimità di una struttura;
- B** Struttura;
- C<sub>D</sub>** Coefficiente di posizione;



<b>MELFI CAMARDA SOLAR PARK S.R.L.</b> C.F e P.IVA: 02367550684 Viale Francesco Restelli 3/7 20124 Milano PEC: <a href="mailto:nrgsolar6@pec.it">nrgsolar6@pec.it</a>	<b>IMPIANTO AGRIVOLTAICO  MELFI CAMARDA 15.9</b>		
<b>PROGETTO DEFINITIVO</b>	<b>MELFI, POTENZA, BASILICATA</b>	<b>IN-GE-02  Rev. 0</b>	Pag. 17 di 39

- C<sub>DJ</sub>** Coefficiente di posizione di una struttura adiacente;
- C<sub>E</sub>** Coefficiente ambientale;
- C<sub>I</sub>** Coefficiente di installazione di una linea;
- C<sub>L</sub>** Costo annuo della perdita totale senza misure di protezione;
- C<sub>LD</sub>** Coefficiente dipendente dalla schermatura, dalle condizioni di messa a terra e di separazione di una linea per fulmini sulla linea stessa;
- C<sub>LI</sub>** Coefficiente dipendente dalla schermatura, dalle condizioni di messa a terra e di separazione di una linea per fulmini in prossimità della linea stessa;
- C<sub>T</sub>** Coefficiente di correzione per un trasformatore AT/BT sulla linea;
- D1** Danno ad esseri viventi per elettrocuzione;
- D2** Danno materiale;
- D3** Guasto di impianti elettrici ed elettronici;
- K<sub>S1</sub>** Coefficiente relativo all'efficacia dell'effetto schermante della struttura;
- K<sub>S2</sub>** Coefficiente relativo all'efficacia di uno schermo interno alla struttura;
- K<sub>S3</sub>** Coefficiente relativo alle caratteristiche dei circuiti interni alla struttura;
- K<sub>S4</sub>** Coefficiente relativo alla tensione di tenuta ad impulso di un impianto interno;
- L<sub>F</sub>** Tipica percentuale di perdita per danni materiali in una struttura;
- L<sub>O</sub>** Tipica percentuale di perdita per guasto di impianti interni in una struttura;
- L<sub>T</sub>** Tipica percentuale di perdita per danni ad esseri viventi per elettrocuzione;
- L1** Perdita di vite umane;
- L2** Perdita di servizio pubblico;
- L3** Perdita di patrimonio culturale insostituibile;
- L4** Perdita economica;
- N<sub>G</sub>** Densità di fulmini al suolo;
- n<sub>z</sub>** Numero delle possibili persone danneggiate (vittime o utenti non serviti);
- n<sub>t</sub>** Numero totale di persone (o utenti serviti);
- P** Probabilità di danno;
- P<sub>A</sub>** Probabilità di danno ad esseri viventi per elettrocuzione (fulmine sulla struttura);
- P<sub>B</sub>** Probabilità di danno materiale in una struttura (fulmine sulla struttura);
- P<sub>C</sub>** Probabilità di guasto di un impianto interno (fulmine sulla struttura);
- P<sub>M</sub>** Probabilità di guasto degli impianti interni (fulmine in prossimità della struttura);
- P<sub>U</sub>** Probabilità di danno ad esseri viventi (fulmine sulla linea connessa);

<b>MELFI CAMARDA SOLAR PARK S.R.L.</b> C.F e P.IVA: 02367550684 Viale Francesco Restelli 3/7 20124 Milano PEC: nrgsolar6@pec.it	<b>IMPIANTO AGRIVOLTAICO  MELFI CAMARDA 15.9</b>		
<b>PROGETTO DEFINITIVO</b>	<b>MELFI, POTENZA, BASILICATA</b>	<b>IN-GE-02  Rev. 0</b>	Pag. 18 di 39

**P<sub>V</sub>** Probabilità di danno materiale nella struttura (fulmine sulla linea connessa);

**P<sub>W</sub>** Probabilità di guasto di un impianto interno (fulmine sulla linea connessa);

**P<sub>X</sub>** Probabilità di danno nella struttura;

**P<sub>Z</sub>** Probabilità di guasto degli impianti interni (fulmine in prossimità della linea connessa),

**P<sub>EB</sub>** Probabilità che riduce P<sub>U</sub> e P<sub>V</sub> dipendente dalle caratteristiche della linea e dalla tensione di tenuta degli apparati in presenza di EB (equipotenzializzazione al fulmine);

**P<sub>SPD</sub>** Probabilità che riduce P<sub>C</sub>, P<sub>M</sub>, P<sub>W</sub> e P<sub>Z</sub>, quando sia installato un sistema di SPD;

**P<sub>TA</sub>** Probabilità che riduce P<sub>A</sub> dipendente dalle misure di protezione contro le tensioni di contatto e di passo;

**r<sub>t</sub>** Coefficiente di riduzione associato al tipo di superficie;

**r<sub>f</sub>** Coefficiente di riduzione delle perdite dipendente dal rischio di incendio;

**r<sub>p</sub>** Coefficiente di riduzione delle perdite correlato alle misure antincendio;

**R<sub>T</sub>** Rischio tollerabile, valore massimo del rischio che può essere tollerato nella struttura da proteggere;

**R<sub>A</sub>** Componente di rischio (danno ad esseri viventi – fulmine sulla struttura);

**R<sub>B</sub>** Componente di rischio (danno materiale alla struttura – fulmine sulla struttura);

**R<sub>C</sub>** Componente di rischio (guasto di impianti interni – fulmine sulla struttura);

**R<sub>M</sub>** Componente di rischio (guasto di impianti interni – fulmine in prossimità della struttura);

**R<sub>U</sub>** Componente di rischio (danno ad esseri viventi – fulmine sulla linea connessa);

**R<sub>V</sub>** Componente di rischio (danno materiale alla struttura – fulmine sulla linea connessa);

**R<sub>W</sub>** Componente di rischio (danno agli impianti – fulmine sulla linea connessa);

**R<sub>Z</sub>** Componente di rischio (guasto di impianti interni – fulmine in prossimità di una linea);

**R1** Rischio di perdita di vite umane nella struttura;

**R2** Rischio di perdita di un servizio pubblico in una struttura;

**R3** Rischio di perdita di patrimonio culturale insostituibile in una struttura;

**R4** Rischio di perdita economica in una struttura;

**S** Struttura;

<b>MELFI CAMARDA SOLAR PARK S.R.L.</b> C.F e P.IVA: 02367550684 Viale Francesco Restelli 3/7 20124 Milano PEC: nrgsolar6@pec.it	<b>IMPIANTO AGRIVOLTAICO  MELFI CAMARDA 15.9</b>		
<b>PROGETTO DEFINITIVO</b>	<b>MELFI, POTENZA, BASILICATA</b>	<b>IN-GE-02  Rev. 0</b>	Pag. 19 di 39

- S1** Sorgente di danno (fulmine sulla struttura);
- S2** Sorgente di danno (fulmine in prossimità della struttura);
- S3** Sorgente di danno (fulmine sulla linea);
- S4** Sorgente di danno (fulmine in prossimità della linea);
- t<sub>z</sub>** Tempo di permanenza delle persone in un luogo pericoloso (ore/anno);
- W<sub>m</sub>** Lato di maglia.

### Valutazione del rischio fulminazione

La normativa CEI EN 62305-2 specifica una procedura per la valutazione del rischio dovuto a fulminazione e, se necessario, individua le misure di protezione necessarie da realizzare per ridurre il rischio a valori non superiori a quello ritenuto tollerabile dalla norma.

### Sorgente di rischio, S

La corrente di fulmine è la principale sorgente di danno. Le sorgenti sono distinte in base al punto d'impatto del fulmine.

- S1 Fulmine sulla struttura;
- S2 Fulmine in prossimità della struttura,
- S3 Fulmine su una linea;
- S4 Fulmine in prossimità di una linea.

### Tipo di danno, D

Un fulmine può causare danni in funzione delle caratteristiche dell'oggetto da proteggere. Nelle pratiche applicazioni della determinazione del rischio è utile distinguere tra i tre tipi principali di danno che possono manifestarsi come conseguenza di una fulminazione:

- D1 Danno ad esseri viventi per elettrocuzione;
- D2 Danno materiale;
- D3 Guasto di impianti elettrici ed elettronici.

### Tipo di perdita, L

Ciascun tipo di danno, solo o in combinazione con altri, può produrre diverse perdite conseguenti nell'oggetto da proteggere. Il tipo di perdita che può verificarsi dipende dalle caratteristiche dell'oggetto stesso ed al suo contenuto:

- L1 Perdita di vite umane (compreso danno permanente);
- L2 Perdita di servizio pubblico;
- L3 Perdita di patrimonio culturale insostituibile.

<b>MELFI CAMARDA SOLAR PARK S.R.L.</b> C.F e P.IVA: 02367550684 Viale Francesco Restelli 3/7 20124 Milano PEC: nrgsolar6@pec.it	<b>IMPIANTO AGRIVOLTAICO  MELFI CAMARDA 15.9</b>			
<b>PROGETTO DEFINITIVO</b>	<b>MELFI, POTENZA, BASILICATA</b>		<b>IN-GE-02  Rev. 0</b>	Pag. 20 di 39

### Rischio, R

Il rischio R è la misura della probabile perdita media annua. Per ciascun tipo di perdita che può verificarsi in una struttura può essere valutato il relativo rischio:

- R1 Rischio di perdita di vite umane (inclusi danni permanenti);
- R2 Rischio di perdita di servizio pubblico;
- R3 Rischio di perdita di patrimonio culturale insostituibile;
- R4 Rischio di perdita economica (struttura, contenuto e perdita di attività).

### Rischio tollerabile, RT




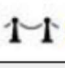








La definizione dei valori di rischio tollerabili RT riguardanti le perdite di valore sociale sono stabilite dalla norma CEI EN 62305-2 e di seguito riportati:

Rischio tollerabile per perdita di vite umane o danni permanenti ( $RT = 10^{-5}$  anni<sup>-1</sup>);

Rischio tollerabile per perdita di servizio pubblico ( $RT = 10^{-3}$  anni<sup>-1</sup>);

Rischio tollerabile per perdita di patrimonio culturale insostituibile ( $RT = 10^{-4}$  anni<sup>-1</sup>).

Per ogni tipologia di rischio ( $R_1, R_2, R_3$  o  $R_4$ ), nella tabella seguente sono riportate le sue componenti:

Sorgente	S1			S2	S3			S4
								
Danno	D1	D2	D3	D3	D1	D2	D3	D3
								
Comp. di rischio	$R_A$	$R_B$	$R_C$	$R_M$	$R_U$	$R_V$	$R_W$	$R_Z$
$R_1$	SI	SI	S <sub>I</sub> (1)	S <sub>I</sub> (1)	SI	SI	S <sub>I</sub> (1)	S <sub>I</sub> (1)
$R_2$	NO	SI	SI	SI	NO	SI	SI	SI
$R_3$	NO	SI	NO	NO	NO	SI	NO	NO
$R_4$	S <sub>I</sub> (2)	SI	SI	SI	S <sub>I</sub> (2)	SI	SI	SI

(1) Nel caso di strutture con rischio di esplosione, di ospedali o di altre strutture, in cui i guasti di impianti interni provocano immediato pericolo per la vita umana

(2) Soltanto in strutture in cui si può verificare la perdita di animali.

<b>MELFI CAMARDA SOLAR PARK S.R.L.</b> C.F e P.IVA: 02367550684 Viale Francesco Restelli 3/7 20124 Milano PEC: <a href="mailto:nrgsolar6@pec.it">nrgsolar6@pec.it</a>	<b>IMPIANTO AGRIVOLTAICO  MELFI CAMARDA 15.9</b>		
<b>PROGETTO DEFINITIVO</b>	<b>MELFI, POTENZA, BASILICATA</b>	<b>IN-GE-02  Rev. 0</b>	Pag. 21 di 39

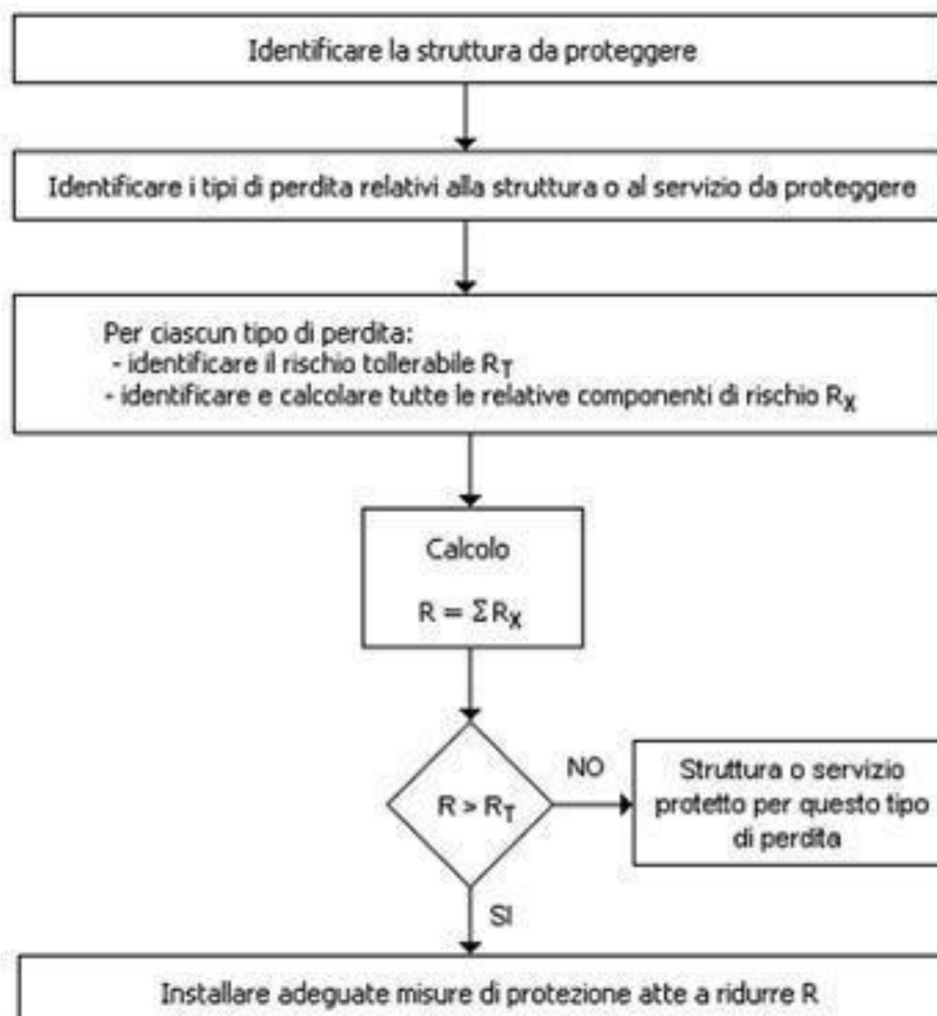
### Metodo di valutazione

Ai fini della valutazione del rischio ( $R_1, R_2, R_3$  o  $R_4$ ) si deve provvedere a:

- determinare le componenti  $R_A, R_B, R_C, R_M, R_U, R_V, R_W$  e  $R_Z$  che lo compongono;
- determinare il corrispondente valore del rischio  $R_x$ ;
- confrontare il rischio  $R_x$  con quello tollerabile  $R_T$  (tranne per  $R_4$ ).

Per ciascun rischio devono essere effettuati i seguenti passi (vedi anche figura successiva):

- identificazione delle componenti  $R_x$  che contribuiscono al rischio;
- calcolo della componente di rischio identificata  $R_x$ ;
- calcolo del rischio totale  $R$ ;
- identificazione del rischio tollerabile  $R_T$ ;
- confronto del rischio  $R$  con quello tollerabile  $R_T$ .



<b>MELFI CAMARDA SOLAR PARK S.R.L.</b> C.F e P.IVA: 02367550684 Viale Francesco Restelli 3/7 20124 Milano PEC: <a href="mailto:nrgsolar6@pec.it">nrgsolar6@pec.it</a>	<b>IMPIANTO AGRIVOLTAICO  MELFI CAMARDA 15.9</b>		
<b>PROGETTO DEFINITIVO</b>	<b>MELFI, POTENZA, BASILICATA</b>	<b>IN-GE-02  Rev. 0</b>	Pag. 22 di 39

Determinazione del rischio di perdita di vite umane (R1)

Il rischio di perdita di vite umane è determinato come somma delle componenti di rischio precedentemente definite:

$$R_1 = R_A + R_B + R_C^{(1)} + R_M^{(1)} + R_U + R_V + R_W^{(1)} + R^{(1)}$$

(1) Nel caso di strutture con rischio di esplosione, di ospedali o di altre strutture, in cui guasti di impianti interni provocano immediato pericolo per la vita umana

dove:

- $R_A$  Componente di rischio (danno ad esseri viventi - fulmine sulla struttura);
- $R_B$  Componente di rischio (danno materiale alla struttura - fulmine sulla struttura);
- $R_C$  Componente di rischio (guasto di impianti interni - fulmine sulla struttura);
- $R_M$  Componente di rischio (guasto di impianti interni - fulmine in prossimità della struttura);
- $R_U$  Componente di rischio (danno ad esseri viventi - fulmine sul servizio connesso);
- $R_V$  Componente di rischio (danno materiale alla struttura - fulmine sul servizio connesso);
- $R_W$  Componente di rischio (danno agli impianti - fulmine sul servizio connesso);
- $R_Z$  Componente di rischio (guasto di impianti interni - fulmine in prossimità di un servizio connesso).

Determinazione del rischio di perdita di servizio pubblico (R2)

Il rischio di perdita di servizio pubblico è determinato dalla formula:

$$R_2 = R_B + R_C + R_M + R_V + R_W + R_Z$$

dove:

- $R_B$  Componente di rischio (danno materiale alla struttura - fulmine sulla struttura);
- $R_C$  Componente di rischio (guasto di impianti interni - fulmine sulla struttura);
- $R_M$  Componente di rischio (guasto di impianti interni - fulmine in prossimità della struttura);
- $R_V$  Componente di rischio (danno materiale alla struttura - fulmine sul servizio connesso);
- $R_W$  Componente di rischio (danno agli impianti - fulmine sul servizio connesso);
- $R_Z$  Componente di rischio (guasto di impianti interni - fulmine in prossimità di un servizio connesso).

<b>MELFI CAMARDA SOLAR PARK S.R.L.</b> C.F e P.IVA: 02367550684 Viale Francesco Restelli 3/7 20124 Milano PEC: <a href="mailto:nrgsolar6@pec.it">nrgsolar6@pec.it</a>	<b>IMPIANTO AGRIVOLTAICO  MELFI CAMARDA 15.9</b>		
<b>PROGETTO DEFINITIVO</b>	<b>MELFI, POTENZA, BASILICATA</b>	<b>IN-GE-02  Rev. 0</b>	Pag. 23 di 39

Determinazione del rischio di perdita di patrimonio culturale insostituibile (R3)

Il rischio di perdita di patrimonio culturale insostituibile è dato dalla formula:

$$R_3 = R_B + R_V$$

dove:

- $R_B$  Componente di rischio (danno materiale alla struttura - fulmine sulla struttura);
- $R_V$  Componente di rischio (danno materiale alla struttura - fulmine sul servizio connesso).

Determinazione del rischio di perdita economica (R4)

Il rischio di perdita economica è determinato secondo la formula:

$$R_4 = R_A^{(1)} + R_B + R_C + R_M + R^{(1)} + R_V + R_W + R_Z$$

(1) Solo in strutture in cui si può verificare la perdita di animali

dove:

- $R_A$  Componente di rischio (danno ad esseri viventi - fulmine sulla struttura);
- $R_B$  Componente di rischio (danno materiale alla struttura - fulmine sulla struttura);
- $R_C$  Componente di rischio (guasto di impianti interni - fulmine sulla struttura);
- $R_M$  Componente di rischio (guasto di impianti interni - fulmine in prossimità della struttura);
- $R_U$  Componente di rischio (danno ad esseri viventi - fulmine sul servizio connesso);
- $R_V$  Componente di rischio (danno materiale alla struttura - fulmine sul servizio connesso);
- $R_W$  Componente di rischio (danno agli impianti - fulmine sul servizio connesso);
- $R_Z$  Componente di rischio (guasto di impianti interni - fulmine in prossimità di un servizio connesso).

<b>MELFI CAMARDA SOLAR PARK S.R.L.</b> C.F e P.IVA: 02367550684 Viale Francesco Restelli 3/7 20124 Milano PEC: <a href="mailto:nrgsolar6@pec.it">nrgsolar6@pec.it</a>	<b>IMPIANTO AGRIVOLTAICO  MELFI CAMARDA 15.9</b>		
<b>PROGETTO DEFINITIVO</b>	<b>MELFI, POTENZA, BASILICATA</b>	<b>IN-GE-02  Rev. 0</b>	Pag. 24 di 39

## 5. MISURE DI PROTEZIONE DELL'IMPIANTO FOTOVOLTAICO

L'impianto fotovoltaico è progettato al fine di assicurare:

- la protezione delle persone e dei beni contro i pericoli ed i danni derivanti da loro utilizzo nelle condizioni previste;
- il suo corretto funzionamento per l'uso previsto.

Sono quindi state adottate le seguenti misure di protezione, relativa alla protezione dai contatti diretti, protezione dai contatti indiretti, protezione dalle sovracorrenti ed al sezionamento.

### 5.1 MISURE DI PROTEZIONE CONTRO I CONTATTI DIRETTI

Protezione totale contro i pericoli derivanti da contatti con parti in tensione, realizzata in conformità al cap. 412 della Norma CEI 64-8 mediante:

- Isolamento delle parti attive, rimovibile solo mediante distruzione ed in grado di resistere a tutte le sollecitazioni meccaniche, chimiche, elettriche e termiche alle quali può essere sottoposto nel normale esercizio;
- Involucri idonei ad assicurare complessivamente il grado di protezione IP XXB (parti in tensione non raggiungibili dal filo di prova) e, sulle superfici orizzontali superiori a portata di mano, il grado di protezione IP XXD (parti in tensione non raggiungibili dal filo di prova).

A tal fine saranno impiegati cavi a doppio isolamento (o cavi a semplice isolamento posati entro canalizzazioni in materiale isolante) e le connessioni verranno racchiuse entro apposite cassette con coperchio apribile mediante attrezzo.

### 5.2 MISURE DI PROTEZIONE CONTRO I CONTATTI INDIRETTI

Protezione contro i pericoli risultanti dal contatto con parti conduttrici che possono andare in tensione in caso di cedimento dell'isolamento principale, realizzata sul lato BT AC dell'impianto mediante l'interruzione automatica dell'alimentazione secondo il paragrafo 413.1 della norma CEI 64.8, collegando all'impianto generale di terra tutte le masse presenti negli ambienti considerati ed impiegando interruttori automatici, il tutto coordinato in modo da soddisfare la condizione di cui all'art. 413.1.3.3. della norma CEI stessa.

Per quanto riguarda la protezione dei contatti indiretti sul lato corrente alternata, tutti i dispositivi elettrici connessi e quindi anche degli inverter ed i componenti del quadro di interfaccia, fanno parte dello stesso sistema elettrico classificabile come "TN".



<b>MELFI CAMARDA SOLAR PARK S.R.L.</b> C.F e P.IVA: 02367550684 Viale Francesco Restelli 3/7 20124 Milano PEC: nrgsolar6@pec.it	<b>IMPIANTO AGRIVOLTAICO  MELFI CAMARDA 15.9</b>		
<b>PROGETTO DEFINITIVO</b>	<b>MELFI, POTENZA, BASILICATA</b>	<b>IN-GE-02  Rev. 0</b>	Pag. 25 di 39

Quindi la protezione contro i contatti indiretti è assicurata dai seguenti accorgimenti:

- collegamento al conduttore di protezione PE di tutte le masse e le masse estranee dell'impianto;
- scelta e coordinamento dei dispositivi di interruzione automatici della corrente di guasto, in conformità a quanto prescritto dalla Norma CEI 64-8;
- ricerca ed eliminazione del primo guasto a terra;
- utilizzo di dispositivi di protezione a corrente differenziale tali da garantire il rispetto della seguente relazione nei tempi riportati nella tabella che segue:

$$Z_s \times I_a \leq U_0$$

dove:

$Z_s$	è l'impedenza dell'anello di guasto comprensiva dell'impedenza di linea e dell'impedenza della sorgente
$I_a$	è la corrente che provoca l'interruzione automatica del dispositivo di protezione in Ampere, secondo le prescrizioni della norma 64-8/4; quando il dispositivo di protezione è un dispositivo di protezione a corrente differenziale, la $I_a$ è la corrente differenziale $I \cdot n$ .
$U_0$	tensione nominale in c.a. (valore efficace della tensione fase – terra) in Volt

$U_0(V)$	Tempo di interruzione (s)
120	0,8
230	0,4
400	0,2
>400	0,1

*Tempi massimi di interruzione per sistemi TN*

Per ridurre il rischio di contatti pericolosi il campo fotovoltaico lato corrente continua, il sistema è gestito come IT, cioè flottante da terra, dove nessun polo viene messo a terra. Affinché un contatto accidentale sia realmente pericoloso occorre entrare in contatto contemporaneamente con entrambe le polarità del campo. Il contatto accidentale con una sola delle polarità non ha praticamente conseguenze, a meno che una delle polarità del campo non sia casualmente a contatto con la massa. Per prevenire tale eventualità gli inverter sono muniti di un opportuno dispositivo di rivelazione degli squilibri verso massa, che ne provoca l'immediato spegnimento e l'emissione di una segnalazione di allarme. Invece eventuali guasti a livello inverter, sono monitorati dai dispositivi di protezione degli stessi inverter.

<b>MELFI CAMARDA SOLAR PARK S.R.L.</b> C.F e P.IVA: 02367550684 Viale Francesco Restelli 3/7 20124 Milano PEC: <a href="mailto:nrgsolar6@pec.it">nrgsolar6@pec.it</a>	<b>IMPIANTO AGRIVOLTAICO  MELFI CAMARDA 15.9</b>		
<b>PROGETTO DEFINITIVO</b>	<b>MELFI, POTENZA, BASILICATA</b>	<b>IN-GE-02  Rev. 0</b>	Pag. 26 di 39

Si prevede inoltre l'interconnessione di tutte le strutture metalliche di fissaggio dei moduli fotovoltaici con un conduttore equipotenziale da 6mmq in modo da poter garantire una continuità elettrica di tutte le masse estranee.

### 5.3 MISURE DI PROTEZIONE DALLE SOVRACORRENTI

Protezione contro il surriscaldamento degli isolanti dei cavi e contro gli sforzi elettromeccanici prodotti nei conduttori e nelle connessioni causati da correnti di sovraccarico o di cortocircuito, realizzata mediante dispositivi unici di interruzione (interruttori magnetotermici o fusibili) installati all'origine di ciascuna conduttura ed aventi caratteristiche tali da interrompere automaticamente l'alimentazione in occasione di un sovraccarico o di un cortocircuito, secondo quanto prescritto nel Cap. 43 e nella sez.473 della Norma CEI 64-8 facendo riferimento alle tabelle CEI-UNEL relative alla portata dei Cavi in regime permanente.

Le sezioni dei cavi per i vari collegamenti sono state scelte in modo da assicurare una durata di vita soddisfacente dei conduttori e degli isolanti agli effetti termici causati dal passaggio della corrente elettrica per periodi prolungati in condizioni normali di funzionamento. Tutti gli interruttori automatici magnetotermici e magnetotermici differenziali previsti a monte di ogni conduttura, sul lato in corrente alternata, sono dimensionati in modo da proteggere i cavi sia dal sovraccarico, che dal cortocircuito. Secondo la normativa CEI 64-8 le caratteristiche di funzionamento del dispositivo di protezione delle condutture elettriche dai sovraccarichi devono rispondere alle seguenti due condizioni:

$$I_b \leq I_n \leq I_z \quad \text{ed} \quad I_f \leq 1,45 * I_z \quad \text{dove:}$$

$I_b$  è la corrente di impiego,  $I_n$  è la corrente nominale dell'interruttore,  $I_z$  è la portata del cavo e  $I_f$  è la corrente convenzionale di sicuro funzionamento.

Per la parte in corrente continua del sistema non si prevede la protezione dai sovraccarichi in quanto la massima corrente erogabile dal campo fotovoltaico nel punto di massima potenza è approssimabile, come valore, alla massima corrente che il campo è in grado di erogare (corrente di cortocircuito). È quindi condizione sufficiente alla verifica della protezione dal sovraccarico che:

$$I_b \leq I_z$$

dove:

$I_b$  corrisponde alla massima corrente erogabile dal campo fotovoltaico mentre  $I_z$  è la corrente in regime permanente della conduttura elettrica.

<b>MELFI CAMARDA SOLAR PARK S.R.L.</b> C.F e P.IVA: 02367550684 Viale Francesco Restelli 3/7 20124 Milano PEC: <a href="mailto:nrgsolar6@pec.it">nrgsolar6@pec.it</a>	<b>IMPIANTO AGRIVOLTAICO  MELFI CAMARDA 15.9</b>		
<b>PROGETTO DEFINITIVO</b>	<b>MELFI, POTENZA, BASILICATA</b>	<b>IN-GE-02  Rev. 0</b>	Pag. 27 di 39

La seconda condizione risulta verificata utilizzando interruttori magnetotermici commerciali nei quali la corrente convenzionale di intervento  $I_f = 1,45 I_n$ .

Per quanto riguarda il corto circuito nella sezione di impianto in corrente continua, come già detto, la protezione è assicurata dalla caratteristica di generazione tensione-corrente dei moduli fotovoltaici che limitano la corrente di corto-circuito ad un valore noto e di poco superiore alla corrente massima erogabile al punto di funzionamento alla massima potenza, con la quale potenza sono state dimensionate le condutture elettriche.

Per gli impianti in corrente alternata occorre proteggere le condutture elettriche dalle correnti di corto-circuito provenienti dalla rete. Si verifica in particolare la condizione che:

$$I^2 t < K^2 S^2$$

dove:

$I^2 t$  è l'integrale di Joule per la durata del corto circuito in  $A^2 \cdot s$  cioè lasciata transitare nel cavo dalla corrente di corto-circuito.

$K$  è la costante caratteristica dei cavi;

$S$  è la sezione del conduttore di protezione in  $mm^2$ .

In definitiva, analizzando le curve di intervento del dispositivo di protezione scelto, le sezioni dei cavi adottate, e le correnti di corto-circuito presunte nel punto di consegna dell'energia dovrà verificarsi che in condizioni di corto-circuito l'energia lasciata transitare dal dispositivo di protezione, prima dell'intervento, non danneggi la conduttura elettrica interessata.

#### 5.4 MISURE DI PROTEZIONE COLLEGAMENTO ALLA RETE ELETTRICA

La protezione del sistema di generazione fotovoltaico nei confronti sia della rete di autoproduzione che della rete di distribuzione pubblica è realizzata in conformità a quanto previsto dalla norma CEI 11-20 e smi con riferimento a quanto contenuto nei documenti di unificazione Enel / Terna. L'impianto dovrà essere equipaggiato con un sistema di protezione che si articola su 3 livelli:

- Dispositivo generale.
- Dispositivo di sicurezza;
- Dispositivo del generatore;

Il riconoscimento di eventuali anomalie sulla rete avviene considerando come anomali le condizioni di funzionamento che fuoriescono da un

<b>MELFI CAMARDA SOLAR PARK S.R.L.</b> C.F e P.IVA: 02367550684 Viale Francesco Restelli 3/7 20124 Milano PEC: <a href="mailto:nrgsolar6@pec.it">nrgsolar6@pec.it</a>	<b>IMPIANTO AGRIVOLTAICO  MELFI CAMARDA 15.9</b>		
<b>PROGETTO DEFINITIVO</b>	<b>MELFI, POTENZA, BASILICATA</b>	<b>IN-GE-02  Rev. 0</b>	Pag. 28 di 39

determinato range di parametri che vengono monitorati sul lato di alta tensione:

- minima e massima tensione di fase;
- minima e massima corrente di fase
- minima e massima frequenza;
- corrente direzionale di terra;
- massima tensione omopolare;

## 5.5 MISURE DI PROTEZIONE CONTRO GLI EFFETTI DELLE SCARICHE ATMOSFERICHE

L'impianto fotovoltaico non influisce sulla forma o sul volume del sito di installazione pertanto non aumenta la probabilità di fulminazione diretta delle strutture.

Per quanto riguarda la fulminazione indiretta, i moduli fotovoltaici sono in alto grado insensibili alle sovratensioni atmosferiche, che invece possono risultare pericolose per le apparecchiature elettroniche di condizionamento della potenza. L'abbattersi di scariche atmosferiche in prossimità dell'impianto può provocare il concatenamento del flusso magnetico associato alla corrente di fulmine con i circuiti dell'impianto fotovoltaico, così da provocare sovratensioni in grado di mettere fuori uso i componenti del sistema, tra cui in particolare gli inverter. I morsetti degli inverter sono protetti internamente con propri SPD ed in caso di sovratensioni i varistori collegano una od entrambe le polarità dei cavi a massa e provocano l'immediato spegnimento degli inverter.

La protezione contro le fulminazioni indirette è inoltre attuata mediante percorsi di cablaggio minimi al di fuori dei canali di protezione, privi di spire e con i conduttori di andata e ritorno mantenuti raggruppati. Sono inoltre adottate le misure di protezione del quadro elettrico in alta tensione ed in particolare:

- realizzazione dei necessari collegamenti equipotenziali;
- installazione di SPD all'ingresso.

Le strutture metalliche dell'impianto verranno collegate all'impianto di terra unico dell'impianto fotovoltaico.

<b>MELFI CAMARDA SOLAR PARK S.R.L.</b> C.F e P.IVA: 02367550684 Viale Francesco Restelli 3/7 20124 Milano PEC: nrgsolar6@pec.it	<b>IMPIANTO AGRIVOLTAICO  MELFI CAMARDA 15.9</b>		
<b>PROGETTO DEFINITIVO</b>	<b>MELFI, POTENZA, BASILICATA</b>	<b>IN-GE-02  Rev. 0</b>	Pag. 29 di 39

## 6. IMPIANTO DI MESSA A TERRA

L'impianto di terra è unico per lato di bassa e alta tensione e sarà conforme alle prescrizioni della norma CEI 99-3 e dimensionato sulla base della corrente di guasto a terra sulla rete AT di alimentazione e del tempo di eliminazione del guasto a terra da parte dei dispositivi di protezioni AT.

I conduttori di terra e di protezione avranno sezione adeguata a sopportare le eventuali sollecitazioni meccaniche alle quali potrebbero essere sottoposti in caso di guasti, calcolata e/o dimensionata secondo quanto stabilito dalle norme CEI. La sezione dei conduttori sarà tale che la massima corrente di guasto non provocherà sovratemperature inammissibili per essi.

### Rete di terra

All'interno del campo fotovoltaico sarà realizzata una rete di terra costituita da conduttori nudi di rame o in acciaio zincato del tipo per posa nel terreno e dispersori in rame in prossimità delle cabine, a cui saranno collegati, mediante conduttori e sbarre equipotenziali in rame. La rete di terra sarà interrata ad una profondità di almeno 0,5m lungo le trincee dei cavi ac. e la sezione del conduttore di protezione principale rimarrà invariata per tutta la sua lunghezza.

A tale rete saranno collegate tutte le strutture metalliche di supporto dei moduli e tutte le masse estranee (recinzione, etc) e le armature dei prefabbricati oltre che tutte le masse dei componenti elettrici di classe I. Le giunzioni fra elementi del dispersore saranno protette contro le corrosioni.

### Rete di terra cabine

L'impianto di terra delle cabine sarà costituito, conformemente alle prescrizioni della Norma CEI EN 50522 ed alle prescrizioni della Guida CEI 11-37, da una maglia di terra realizzata con conduttori nudi in rame elettrolitico di sezione non inferiori a 35 mm<sup>2</sup> o equivalenti in piattina in acciaio zincato, interrati ad una profondità di almeno 0,7 m, collegati a dispersori in rame infissi al suolo in prossimità degli angoli della rete di terra delle cabine.

### Messa a Terra di cabina

Le cabine di trasformazione avranno collegati alla rete di terra della cabina i seguenti elementi:

- il centro stella dell'avvolgimento secondario (neutro);
- le carpenterie metalliche;
- le carcasse dei trasformatori;
- le manopole dei sezionatori;
- i comandi degli interruttori automatici;

<b>MELFI CAMARDA SOLAR PARK S.R.L.</b> C.F e P.IVA: 02367550684 Viale Francesco Restelli 3/7 20124 Milano PEC: nrgsolar6@pec.it	<b>IMPIANTO AGRIVOLTAICO  MELFI CAMARDA 15.9</b>		
<b>PROGETTO DEFINITIVO</b>	<b>MELFI, POTENZA, BASILICATA</b>	<b>IN-GE-02  Rev. 0</b>	Pag. <b>30</b> di <b>39</b>

- i telai delle finestre e delle porte metalliche;
- i cassoni di contenimento delle apparecchiature.

I suddetti collegamenti faranno capo singolarmente ad un collettore di terra posizionato all'interno della cabina di trasformazione, allo scopo di eseguire le necessarie misurazioni. Saranno montate su bulloni zincati, verniciate in giallo e le connessioni fra le stesse saranno realizzate con saldatura a castolin. L'intero sistema di terra soddisferà alle corrispondenti norme C.E.I. (11-1) con particolare riguardo alle tensioni di passo e di contatto.

#### Collegamenti equipotenziali

I conduttori di protezione, per i collegamenti ai nodi di terra delle masse metalliche di tutte le apparecchiature e condutture elettriche in AC e di tutte le eventuali masse metalliche estranee accessibili, saranno costituiti da corda di rame flessibile, isolata in PVC giallo-verde, di tipo non propagante l'incendio a Norme CEI 20-22. Saranno costituiti da cavi unipolari facenti parte della stessa conduttura dei conduttori attivi e da anime di cavi multipolari.

Tutti i conduttori di protezione equipotenziale avranno colorazione giallo-verde e la loro destinazione sarà identificata, nei punti principali di connessione, mediante targhette. Detti conduttori in parte saranno contenuti all'interno dei cavi multipolari impiegati per l'alimentazione delle varie utenze, in parte costituiranno dorsali indipendenti comuni a più circuiti.

I morsetti di collegamento alle masse metalliche avranno caratteristiche tali da assicurare un contatto sicuro nel tempo.

#### Conduttori di terra – Sezioni

La sezione del conduttore di protezione principale rimarrà invariata per tutta la sua lunghezza e la sezione sarà adeguata a sopportare le eventuali sollecitazioni meccaniche alle quali potrebbero essere sottoposti in caso di guasti, calcolata e/o dimensionata secondo quanto stabilito dalle norme CEI, tale che la massima corrente di guasto non provocherà sovratemperature inammissibili per essi.

La sezione dei collegamenti equipotenziali avrà sezione variabile non inferiore a quella indicata dall'art. 543.1.1 della norma CEI 64-8 che esprime il relativo calcolo nella seguente relazione:

$$S_p = RADQ (I_2 t) / K$$

<b>MELFI CAMARDA SOLAR PARK S.R.L.</b> C.F e P.IVA: 02367550684 Viale Francesco Restelli 3/7 20124 Milano PEC: <a href="mailto:nrgsolar6@pec.it">nrgsolar6@pec.it</a>	<b>IMPIANTO AGRIVOLTAICO  MELFI CAMARDA 15.9</b>		
<b>PROGETTO DEFINITIVO</b>	<b>MELFI, POTENZA, BASILICATA</b>	<b>IN-GE-02  Rev. 0</b>	Pag. <b>31</b> di <b>39</b>

dove:

- $S_p$  sezione del conduttore di protezione (mm<sup>2</sup>),
- $I$  valore efficace della corrente di guasto che può percorrere il conduttore di protezione per un guasto di impedenza trascurabile (A);
- $t$  il tempo di intervento del dispositivo di protezione (s);
- $K$  fattore il cui valore dipende dal materiale del conduttore di protezione, dell'isolamento e di altre parti e dalle temperature iniziali e finali.

La Norma CEI EN 60439-1 definisce un metodo che permette di stabilire la sezione del conduttore di protezione in funzione della sezione dei conduttori attivi, a condizione che sia utilizzato lo stesso materiale dei conduttori attivi.

Sezione dei conduttori attivi (mmq)	Sezione minima del PE (mmq)
$S \leq 16$	$S$
$16 \leq S < 35$	16
$35 \leq S \leq 400$	$S/2$
$400 \leq S \leq 800$	200
$S \leq 800$	$S/4$

I conduttori impiegati per collegamenti equipotenziali nelle cabine avranno sezione minima pari alla metà della sez. del conduttore di protezione principale dell'impianto e per le connessioni agli armadi verranno impiegati conduttori di sezione anche superiore.

<b>MELFI CAMARDA SOLAR PARK S.R.L.</b> C.F e P.IVA: 02367550684 Viale Francesco Restelli 3/7 20124 Milano PEC: nrgsolar6@pec.it	<b>IMPIANTO AGRIVOLTAICO  MELFI CAMARDA 15.9</b>		
<b>PROGETTO DEFINITIVO</b>	<b>MELFI, POTENZA, BASILICATA</b>	<b>IN-GE-02  Rev. 0</b>	Pag. 32 di 39

## 7. VALUTAZIONE RISCHIO FULMINAZIONE

L'impianto in esame è ubicato in un'area in cui il numero di fulmini all'anno per kmq è pari a  $N_g = 3,33$  fulmine/kmq anno (CEI EN 62305 - CEI EN IEC 62858).

Per l'impianto in oggetto le strutture da proteggere sono le seguenti:

- impianto FV (FV);
- cabina di campo o di trasformazione (CP);
- cabina di consegna o di ricezione (CC).

Come si evince dagli schemi elettrici allegati, gli impianti fotovoltaici sono connessi con le cabine di campo, e tutte le cabine di campo sono collegate a mezzo cavidotto e trafo alle cabine di consegna.

Sulla base delle caratteristiche delle strutture in esame e delle modalità di collegamento tra di esse si può affermare quanto segue:

- relativamente alle cabine campo, la componente NDa che tiene conto del rischio di danno materiale causato da un fulmine che colpisce la struttura connessa a quella in esame, può ritenersi nullo, in quanto le cabine di campo sono tra loro separate da due trasformatori. Pertanto, ai fini del calcolo del rischio dovuto a fulminazione indiretta lo schema equivalente da considerare è quello dove la singola cabina di campo è connessa con la cabina di consegna;
- relativamente alla cabina di ricezione, sezionamento e controllo, poiché le linee che alimentano le cabine di campo sono caratterizzate per buona parte dallo stesso percorso, ai fini del calcolo della probabilità di fulminazione indiretta tali linee sono schematizzate come unica linea equivalente, di lunghezza non superiore a 1.000 m, ossia alla massima lunghezza da considerare ai fini del calcolo;
- ai fini del calcolo delle probabilità PU e PV, per tale linea è stata considerata cautelativamente una tensione di tenuta all'impulso  $U_m = 6$  kV, anche se, trattandosi di linee con tensione in alta tensione, la tensione di tenuta all'impulso è senz'altro maggiore;
- sempre ai fini del calcolo delle probabilità PU e PV, tale linea è caratterizzata da uno schermo avente resistenza  $R_s < 1$   $\Omega$ /km;
- per la linea di collegamento tra cabina campo e FV, trattandosi di una linea di bassa tensione, sono stati considerati i seguenti parametri:  $U_m = 1$  kV e  $1 < R_s < 5$   $\Omega$  /km;
- la resistività del suolo ove è interrata tale linea non è nota quindi si assume 500  $\Omega$  m.

Altri parametri da considerare sono legati al tipo di struttura:

### Struttura di tipo industriale

- Tipo di suolo fino a 5m di distanza dalla struttura:



<b>MELFI CAMARDA SOLAR PARK S.R.L.</b> C.F e P.IVA: 02367550684 Viale Francesco Restelli 3/7 20124 Milano PEC: nrgsolar6@pec.it	<b>IMPIANTO AGRIVOLTAICO  MELFI CAMARDA 15.9</b>		
<b>PROGETTO DEFINITIVO</b>	<b>MELFI, POTENZA, BASILICATA</b>	<b>IN-GE-02  Rev. 0</b>	Pag. 33 di 39

- Cabina di ricezione, Cabina campo: tipo prefabbricato;
- FV: vegetale;
- Rischio di incendio:
  - FV: ridotto;
  - Cabina di ricezione, Cabina campo: ordinario;
- Rischio ammissibile: 10-5 (n° morti/anno);
- Coefficiente di posizione delle strutture:
  - Cabina di consegna, Cabina utente:  $C_d = 0,5$  (struttura circondata da strutture di altezza uguale inferiore);
  - FV:  $C_d = 0,5$  (struttura circondata da strutture di altezza uguale o inferiore).

Il rischio complessivo R1 è dell'ordine di  $9E-06$  è inferiore a quello tollerato  $RT = 1E-05$  in quanto sono previsti idonei SPD a vari livelli di tensione che riducono il rischio a un livello inferiore a quello tollerato.

#### Scelta degli scaricatori SPD (Surge Protective Device)

Al fine di ridurre il rischio complessivo R1 devono essere previsti SPD su tutte le linee entranti negli edifici collegate all'impianto utilizzatore (escluse quelle provenienti dall'impianto fotovoltaico), aventi le caratteristiche in classe III. Riguardo alla protezione dagli effetti di una fulminazione indiretta sulle apparecchiature provenienti dall'impianto fotovoltaico si potrà ricorrere, a dispositivi in classe II per l'attenuazione delle sovratensioni (SPD Surge Protective Device) inseriti nei quadri di campo o dispositivi di conversione del campo.

#### Conclusioni valutazione del rischio fulminazione

Gli impianti fotovoltaici sono protetti contro il fulmine in relazione alla perdita di vite umane (rischio R1), per mezzo degli scaricatori SPD installati all'arrivo linea e dagli SPD installati in campo. Non è stato valutato, invece, il rischio di perdite economiche (rischio R4), e non sono stati adottati i provvedimenti eventualmente necessari, avendo il committente espressamente accettato tale rischio.

<b>MELFI CAMARDA SOLAR PARK S.R.L.</b> C.F e P.IVA: 02367550684 Viale Francesco Restelli 3/7 20124 Milano PEC: <a href="mailto:nrgsolar6@pec.it">nrgsolar6@pec.it</a>	<b>IMPIANTO AGRIVOLTAICO MELFI CAMARDA 15.9</b>		
<b>PROGETTO DEFINITIVO</b>	<b>MELFI, POTENZA, BASILICATA</b>	<b>IN-GE-02 Rev. 0</b>	Pag. <b>34</b> di <b>39</b>

## **8. ALLEGATI - ELENCO CALCOLO CAVI**

### **8.1 ALLEGATO 1 - ELENCO CAVI CIRCUITI DC**

Descrizione	Sigla Linea Stringa	Lunghezza del tratto	Tipo di cavo	Potenza	Tensione	Corrente impiego	Corrente impiego (IEC)	Portata effettiva del cavo	Caduta di tensione	Caduta di tensione percentuale	Perdite resistive	Perdite percentuali
[]	Tag []	L [m]	Tipo cavo []	P [kW]	V [V]	I [A]	I [A]	[A]	ΔV [V]	ΔV [%]	I²R [W]	ΔP [%]
<b>MELFI CAMARDA 15.9</b>		<b>35.456</b>	-						<b>17,3</b>	<b>1,49%</b>	<b>95.463,8</b>	<b>0,48%</b>
<b>CA-CABIN 1</b>		<b>7.555</b>	-						<b>17,3</b>	<b>1,49%</b>	<b>18.253,0</b>	<b>0,53%</b>
<b>Route String - Inverter CA-I1-1</b>			-	-	-	-	-	-	-	-	-	-
<b>CA-I1-1</b>		<b>1.104</b>	-						<b>13,4</b>	<b>1,15%</b>	<b>2.579,4</b>	<b>0,81%</b>
I1-1_1		70	AFG21M21-PV 1,8 kV 2x(1x6mm2)	20	1.164	17,0	22,5	23	11,7	1,00%	198,5	1,00%
I1-1_2		70	AFG21M21-PV 1,8 kV 2x(1x6mm2)	20	1.164	17,0	22,5	23	11,7	1,00%	198,5	1,00%
I1-1_3		115	AFG21M21-PV 1,8 kV 2x(1x10mm2)	20	1.164	17,0	22,5	32	11,4	0,98%	194,2	0,98%
I1-1_4		115	AFG21M21-PV 1,8 kV 2x(1x10mm2)	20	1.164	17,0	22,5	32	11,4	0,98%	194,2	0,98%
I1-1_5		12	AFG21M21-PV 1,8 kV 2x(1x6mm2)	20	1.164	17,0	22,5	23	2,0	0,17%	33,8	0,17%
I1-1_6		12	AFG21M21-PV 1,8 kV 2x(1x6mm2)	20	1.164	17,0	22,5	23	2,0	0,17%	33,8	0,17%
I1-1_7		36	AFG21M21-PV 1,8 kV 2x(1x6mm2)	20	1.164	17,0	22,5	23	6,0	0,51%	101,6	0,51%
I1-1_8		36	AFG21M21-PV 1,8 kV 2x(1x6mm2)	20	1.164	17,0	22,5	23	6,0	0,51%	101,6	0,51%
I1-1_9		81	AFG21M21-PV 1,8 kV 2x(1x6mm2)	20	1.164	17,0	22,5	23	13,4	1,15%	228,2	1,15%
I1-1_10		81	AFG21M21-PV 1,8 kV 2x(1x6mm2)	20	1.164	17,0	22,5	23	13,4	1,15%	228,2	1,15%
I1-1_11		35	AFG21M21-PV 1,8 kV 2x(1x6mm2)	20	1.164	17,0	22,5	23	5,8	0,49%	97,8	0,49%
I1-1_12		35	AFG21M21-PV 1,8 kV 2x(1x6mm2)	20	1.164	17,0	22,5	23	5,8	0,49%	97,8	0,49%
I1-1_13		80	AFG21M21-PV 1,8 kV 2x(1x6mm2)	20	1.164	17,0	22,5	23	13,2	1,14%	225,4	1,14%
I1-1_14		80	AFG21M21-PV 1,8 kV 2x(1x6mm2)	20	1.164	17,0	22,5	23	13,2	1,14%	225,4	1,14%
I1-1_15		124	AFG21M21-PV 1,8 kV 2x(1x10mm2)	20	1.164	17,0	22,5	32	12,4	1,06%	210,2	1,06%
I1-1_16		124	AFG21M21-PV 1,8 kV 2x(1x10mm2)	20	1.164	17,0	22,5	32	12,4	1,06%	210,2	1,06%
<b>CA-I1-2</b>		<b>889</b>	-						<b>15,5</b>	<b>1,33%</b>	<b>2.229,4</b>	<b>0,70%</b>
I1-2_1		35	AFG21M21-PV 1,8 kV 2x(1x6mm2)	20	1.164	17,0	22,5	23	5,9	0,51%	100,1	0,51%
I1-2_2		35	AFG21M21-PV 1,8 kV 2x(1x6mm2)	20	1.164	17,0	22,5	23	5,9	0,51%	100,1	0,51%
I1-2_3		80	AFG21M21-PV 1,8 kV 2x(1x6mm2)	20	1.164	17,0	22,5	23	13,4	1,15%	227,7	1,15%
I1-2_4		80	AFG21M21-PV 1,8 kV 2x(1x6mm2)	20	1.164	17,0	22,5	23	13,4	1,15%	227,7	1,15%
I1-2_5		125	AFG21M21-PV 1,8 kV 2x(1x10mm2)	20	1.164	17,0	22,5	32	12,4	1,07%	211,6	1,07%
I1-2_6		125	AFG21M21-PV 1,8 kV 2x(1x10mm2)	20	1.164	17,0	22,5	32	12,4	1,07%	211,6	1,07%
I1-2_7		24	AFG21M21-PV 1,8 kV 2x(1x6mm2)	20	1.164	17,0	22,5	23	4,1	0,35%	69,3	0,35%
I1-2_8		48	AFG21M21-PV 1,8 kV 2x(1x6mm2)	20	1.164	17,0	22,5	23	8,1	0,69%	137,1	0,69%
I1-2_9		48	AFG21M21-PV 1,8 kV 2x(1x6mm2)	20	1.164	17,0	22,5	23	8,1	0,69%	137,1	0,69%
I1-2_10		93	AFG21M21-PV 1,8 kV 2x(1x6mm2)	20	1.164	17,0	22,5	23	15,5	1,33%	263,7	1,33%
I1-2_11		93	AFG21M21-PV 1,8 kV 2x(1x6mm2)	20	1.164	17,0	22,5	23	15,5	1,33%	263,7	1,33%
I1-2_12		2	AFG21M21-PV 1,8 kV 2x(1x6mm2)	20	1.164	17,0	22,5	23	0,4	0,03%	6,1	0,03%
I1-2_13		24	AFG21M21-PV 1,8 kV 2x(1x6mm2)	20	1.164	17,0	22,5	23	4,0	0,35%	68,6	0,35%
I1-2_14		24	AFG21M21-PV 1,8 kV 2x(1x6mm2)	20	1.164	17,0	22,5	23	4,0	0,35%	68,6	0,35%
I1-2_15		24	AFG21M21-PV 1,8 kV 2x(1x6mm2)	20	1.164	17,0	22,5	23	4,0	0,34%	68,2	0,34%
I1-2_16		24	AFG21M21-PV 1,8 kV 2x(1x6mm2)	20	1.164	17,0	22,5	23	4,0	0,34%	68,2	0,34%
<b>CA-I1-3</b>		<b>511</b>	-						<b>8,9</b>	<b>0,77%</b>	<b>1.445,2</b>	<b>0,46%</b>
I1-3_1		54	AFG21M21-PV 1,8 kV 2x(1x6mm2)	20	1.164	17,0	22,5	23	8,9	0,77%	152,0	0,77%
I1-3_2		54	AFG21M21-PV 1,8 kV 2x(1x6mm2)	20	1.164	17,0	22,5	23	8,9	0,77%	152,0	0,77%
I1-3_3		44	AFG21M21-PV 1,8 kV 2x(1x6mm2)	20	1.164	17,0	22,5	23	7,2	0,62%	123,3	0,62%
I1-3_4		44	AFG21M21-PV 1,8 kV 2x(1x6mm2)	20	1.164	17,0	22,5	23	7,2	0,62%	123,3	0,62%
I1-3_5		33	AFG21M21-PV 1,8 kV 2x(1x6mm2)	20	1.164	17,0	22,5	23	5,6	0,48%	94,7	0,48%
I1-3_6		33	AFG21M21-PV 1,8 kV 2x(1x6mm2)	20	1.164	17,0	22,5	23	5,6	0,48%	94,7	0,48%
I1-3_7		23	AFG21M21-PV 1,8 kV 2x(1x6mm2)	20	1.164	17,0	22,5	23	3,9	0,33%	66,0	0,33%
I1-3_8		23	AFG21M21-PV 1,8 kV 2x(1x6mm2)	20	1.164	17,0	22,5	23	3,9	0,33%	66,0	0,33%
I1-3_9		2	AFG21M21-PV 1,8 kV 2x(1x6mm2)	20	1.164	17,0	22,5	23	0,4	0,03%	6,9	0,03%

Descrizione	Sigla Linea Stringa	Lunghezza del tratto	Tipo di cavo	Potenza	Tensione	Corrente impiego	Corrente impiego (IEC)	Portata effettiva del cavo	Caduta di tensione	Caduta di tensione percentuale	Perdite resistive	Perdite percentuali
				P [kW]	V [V]	I [A]	I [A]	[A]	$\Delta V$ [V]	$\Delta V$ [%]	I <sup>2</sup> R [W]	$\Delta P$ [%]
[]	Tag []	L [m]	Tipo cavo []									
	I1-3_10	2	AFG21M21-PV 1,8 kV 2x(1x6mm2)	20	1.164	17,0	22,5	23	0,4	0,03%	6,9	0,03%
	I1-3_11	23	AFG21M21-PV 1,8 kV 2x(1x6mm2)	20	1.164	17,0	22,5	23	3,8	0,33%	64,7	0,33%
	I1-3_12	23	AFG21M21-PV 1,8 kV 2x(1x6mm2)	20	1.164	17,0	22,5	23	3,8	0,33%	64,7	0,33%
	I1-3_13	33	AFG21M21-PV 1,8 kV 2x(1x6mm2)	20	1.164	17,0	22,5	23	5,5	0,47%	93,2	0,47%
	I1-3_14	33	AFG21M21-PV 1,8 kV 2x(1x6mm2)	20	1.164	17,0	22,5	23	5,5	0,47%	93,2	0,47%
	I1-3_15	43	AFG21M21-PV 1,8 kV 2x(1x6mm2)	20	1.164	17,0	22,5	23	7,2	0,62%	121,8	0,62%
	I1-3_16	43	AFG21M21-PV 1,8 kV 2x(1x6mm2)	20	1.164	17,0	22,5	23	7,2	0,62%	121,8	0,62%
<b>CA-I1-4</b>	-	<b>1.847</b>	-	-	-	-	-	-	<b>17,3</b>	<b>1,49%</b>	<b>2.931,8</b>	<b>0,93%</b>
	I1-4_1	236	AFG21M21-PV 1,8 kV 2x(1x16mm2)	20	1.164	17,0	22,5	41	14,2	1,22%	241,7	1,22%
	I1-4_2	236	AFG21M21-PV 1,8 kV 2x(1x16mm2)	20	1.164	17,0	22,5	41	14,2	1,22%	241,7	1,22%
	I1-4_3	205	AFG21M21-PV 1,8 kV 2x(1x16mm2)	20	1.164	17,0	22,5	41	12,4	1,06%	210,1	1,06%
	I1-4_4	195	AFG21M21-PV 1,8 kV 2x(1x16mm2)	20	1.164	17,0	22,5	41	11,7	1,01%	199,7	1,01%
	I1-4_5	185	AFG21M21-PV 1,8 kV 2x(1x16mm2)	20	1.164	17,0	22,5	41	11,1	0,96%	189,3	0,96%
	I1-4_6	175	AFG21M21-PV 1,8 kV 2x(1x10mm2)	20	1.164	17,0	22,5	32	17,3	1,49%	295,1	1,49%
	I1-4_7	164	AFG21M21-PV 1,8 kV 2x(1x10mm2)	20	1.164	17,0	22,5	32	16,3	1,40%	277,1	1,40%
	I1-4_8	3	AFG21M21-PV 1,8 kV 2x(1x6mm2)	20	1.164	17,0	22,5	23	0,5	0,04%	8,0	0,04%
	I1-4_9	44	AFG21M21-PV 1,8 kV 2x(1x6mm2)	20	1.164	17,0	22,5	23	7,4	0,63%	125,4	0,63%
	I1-4_10	44	AFG21M21-PV 1,8 kV 2x(1x6mm2)	20	1.164	17,0	22,5	23	7,4	0,63%	125,4	0,63%
	I1-4_11	48	AFG21M21-PV 1,8 kV 2x(1x6mm2)	20	1.164	17,0	22,5	23	7,9	0,68%	135,1	0,68%
	I1-4_12	48	AFG21M21-PV 1,8 kV 2x(1x6mm2)	20	1.164	17,0	22,5	23	7,9	0,68%	135,1	0,68%
	I1-4_13	65	AFG21M21-PV 1,8 kV 2x(1x6mm2)	20	1.164	17,0	22,5	23	10,7	0,92%	182,6	0,92%
	I1-4_14	65	AFG21M21-PV 1,8 kV 2x(1x6mm2)	20	1.164	17,0	22,5	23	10,7	0,92%	182,6	0,92%
	I1-4_15	68	AFG21M21-PV 1,8 kV 2x(1x6mm2)	20	1.164	17,0	22,5	23	11,3	0,97%	191,6	0,97%
	I1-4_16	68	AFG21M21-PV 1,8 kV 2x(1x6mm2)	20	1.164	17,0	22,5	23	11,3	0,97%	191,6	0,97%
<b>CA-I1-5</b>	-	<b>458</b>	-	-	-	-	-	-	<b>12,9</b>	<b>1,11%</b>	<b>1.295,7</b>	<b>0,41%</b>
	I1-5_1	78	AFG21M21-PV 1,8 kV 2x(1x6mm2)	20	1.164	17,0	22,5	23	12,9	1,11%	219,4	1,11%
	I1-5_2	67	AFG21M21-PV 1,8 kV 2x(1x6mm2)	20	1.164	17,0	22,5	23	11,2	0,96%	190,8	0,96%
	I1-5_3	23	AFG21M21-PV 1,8 kV 2x(1x6mm2)	20	1.164	17,0	22,5	23	3,9	0,33%	65,9	0,33%
	I1-5_4	23	AFG21M21-PV 1,8 kV 2x(1x6mm2)	20	1.164	17,0	22,5	23	3,9	0,33%	65,9	0,33%
	I1-5_5	23	AFG21M21-PV 1,8 kV 2x(1x6mm2)	20	1.164	17,0	22,5	23	3,9	0,33%	66,0	0,33%
	I1-5_6	23	AFG21M21-PV 1,8 kV 2x(1x6mm2)	20	1.164	17,0	22,5	23	3,9	0,33%	66,0	0,33%
	I1-5_7	48	AFG21M21-PV 1,8 kV 2x(1x6mm2)	20	1.164	17,0	22,5	23	7,9	0,68%	134,6	0,68%
	I1-5_8	3	AFG21M21-PV 1,8 kV 2x(1x6mm2)	20	1.164	17,0	22,5	23	0,5	0,05%	9,1	0,05%
	I1-5_9	3	AFG21M21-PV 1,8 kV 2x(1x6mm2)	20	1.164	17,0	22,5	23	0,5	0,05%	9,1	0,05%
	I1-5_10	3	AFG21M21-PV 1,8 kV 2x(1x6mm2)	20	1.164	17,0	22,5	23	0,5	0,04%	8,5	0,04%
	I1-5_11	3	AFG21M21-PV 1,8 kV 2x(1x6mm2)	20	1.164	17,0	22,5	23	0,5	0,04%	8,5	0,04%
	I1-5_12	67	AFG21M21-PV 1,8 kV 2x(1x6mm2)	20	1.164	17,0	22,5	23	11,2	0,96%	190,4	0,96%
	I1-5_13	23	AFG21M21-PV 1,8 kV 2x(1x6mm2)	20	1.164	17,0	22,5	23	3,8	0,33%	64,9	0,33%
	I1-5_14	23	AFG21M21-PV 1,8 kV 2x(1x6mm2)	20	1.164	17,0	22,5	23	3,8	0,33%	64,9	0,33%
	I1-5_15	23	AFG21M21-PV 1,8 kV 2x(1x6mm2)	20	1.164	17,0	22,5	23	3,9	0,33%	65,8	0,33%
	I1-5_16	23	AFG21M21-PV 1,8 kV 2x(1x6mm2)	20	1.164	17,0	22,5	23	3,9	0,33%	65,8	0,33%
<b>CA-I1-6</b>	-	<b>335</b>	-	-	-	-	-	-	<b>5,7</b>	<b>0,49%</b>	<b>948,9</b>	<b>0,30%</b>
	I1-6_1	33	AFG21M21-PV 1,8 kV 2x(1x6mm2)	20	1.164	17,0	22,5	23	5,5	0,48%	94,3	0,48%
	I1-6_2	33	AFG21M21-PV 1,8 kV 2x(1x6mm2)	20	1.164	17,0	22,5	23	5,5	0,48%	94,3	0,48%
	I1-6_3	34	AFG21M21-PV 1,8 kV 2x(1x6mm2)	20	1.164	17,0	22,5	23	5,7	0,49%	96,5	0,49%
	I1-6_4	34	AFG21M21-PV 1,8 kV 2x(1x6mm2)	20	1.164	17,0	22,5	23	5,7	0,49%	96,5	0,49%
	I1-6_5	23	AFG21M21-PV 1,8 kV 2x(1x6mm2)	20	1.164	17,0	22,5	23	3,9	0,33%	65,5	0,33%

Descrizione	Sigla Linea Stringa	Lunghezza del tratto	Tipo di cavo	Potenza	Tensione	Corrente impiego	Corrente impiego (IEC)	Portata effettiva del cavo	Caduta di tensione	Caduta di tensione percentuale	Perdite resistive	Perdite percentuali
				P [kW]	V [V]	I [A]	I [A]	[A]	$\Delta V$ [V]	$\Delta V$ [%]	I <sup>2</sup> R [W]	$\Delta P$ [%]
[]	Tag []	L [m]	Tipo cavo []									
	I1-6_6	23	AFG21M21-PV 1,8 kV 2x(1x6mm2)	20	1.164	17,0	22,5	23	3,9	0,33%	65,5	0,33%
	I1-6_7	24	AFG21M21-PV 1,8 kV 2x(1x6mm2)	20	1.164	17,0	22,5	23	4,0	0,34%	68,1	0,34%
	I1-6_8	24	AFG21M21-PV 1,8 kV 2x(1x6mm2)	20	1.164	17,0	22,5	23	4,0	0,34%	68,1	0,34%
	I1-6_9	3	AFG21M21-PV 1,8 kV 2x(1x6mm2)	20	1.164	17,0	22,5	23	0,5	0,05%	9,1	0,05%
	I1-6_10	3	AFG21M21-PV 1,8 kV 2x(1x6mm2)	20	1.164	17,0	22,5	23	0,5	0,05%	9,1	0,05%
	I1-6_11	3	AFG21M21-PV 1,8 kV 2x(1x6mm2)	20	1.164	17,0	22,5	23	0,5	0,04%	8,5	0,04%
	I1-6_12	3	AFG21M21-PV 1,8 kV 2x(1x6mm2)	20	1.164	17,0	22,5	23	0,5	0,04%	8,5	0,04%
	I1-6_13	23	AFG21M21-PV 1,8 kV 2x(1x6mm2)	20	1.164	17,0	22,5	23	3,8	0,33%	65,1	0,33%
	I1-6_14	23	AFG21M21-PV 1,8 kV 2x(1x6mm2)	20	1.164	17,0	22,5	23	3,8	0,33%	65,1	0,33%
	I1-6_15	24	AFG21M21-PV 1,8 kV 2x(1x6mm2)	20	1.164	17,0	22,5	23	4,0	0,34%	67,2	0,34%
	I1-6_16	24	AFG21M21-PV 1,8 kV 2x(1x6mm2)	20	1.164	17,0	22,5	23	4,0	0,34%	67,2	0,34%
<b>CA-I1-7</b>	-	<b>465</b>	-	-	-	-	-	-	<b>13,0</b>	<b>1,12%</b>	<b>1.314,8</b>	<b>0,42%</b>
	I1-7_1	68	AFG21M21-PV 1,8 kV 2x(1x6mm2)	20	1.164	17,0	22,5	23	11,4	0,98%	193,1	0,98%
	I1-7_2	24	AFG21M21-PV 1,8 kV 2x(1x6mm2)	20	1.164	17,0	22,5	23	4,0	0,34%	67,6	0,34%
	I1-7_3	24	AFG21M21-PV 1,8 kV 2x(1x6mm2)	20	1.164	17,0	22,5	23	4,0	0,34%	67,6	0,34%
	I1-7_4	24	AFG21M21-PV 1,8 kV 2x(1x6mm2)	20	1.164	17,0	22,5	23	3,9	0,34%	66,7	0,34%
	I1-7_5	24	AFG21M21-PV 1,8 kV 2x(1x6mm2)	20	1.164	17,0	22,5	23	3,9	0,34%	66,7	0,34%
	I1-7_6	48	AFG21M21-PV 1,8 kV 2x(1x6mm2)	20	1.164	17,0	22,5	23	8,0	0,69%	136,9	0,69%
	I1-7_7	4	AFG21M21-PV 1,8 kV 2x(1x6mm2)	20	1.164	17,0	22,5	23	0,7	0,06%	11,4	0,06%
	I1-7_8	4	AFG21M21-PV 1,8 kV 2x(1x6mm2)	20	1.164	17,0	22,5	23	0,7	0,06%	11,4	0,06%
	I1-7_9	2	AFG21M21-PV 1,8 kV 2x(1x6mm2)	20	1.164	17,0	22,5	23	0,4	0,03%	6,2	0,03%
	I1-7_10	2	AFG21M21-PV 1,8 kV 2x(1x6mm2)	20	1.164	17,0	22,5	23	0,4	0,03%	6,2	0,03%
	I1-7_11	68	AFG21M21-PV 1,8 kV 2x(1x6mm2)	20	1.164	17,0	22,5	23	11,4	0,98%	193,1	0,98%
	I1-7_12	24	AFG21M21-PV 1,8 kV 2x(1x6mm2)	20	1.164	17,0	22,5	23	4,0	0,34%	67,6	0,34%
	I1-7_13	24	AFG21M21-PV 1,8 kV 2x(1x6mm2)	20	1.164	17,0	22,5	23	4,0	0,34%	67,6	0,34%
	I1-7_14	23	AFG21M21-PV 1,8 kV 2x(1x6mm2)	20	1.164	17,0	22,5	23	3,8	0,33%	65,4	0,33%
	I1-7_15	23	AFG21M21-PV 1,8 kV 2x(1x6mm2)	20	1.164	17,0	22,5	23	3,8	0,33%	65,4	0,33%
	I1-7_16	78	AFG21M21-PV 1,8 kV 2x(1x6mm2)	20	1.164	17,0	22,5	23	13,0	1,12%	221,7	1,12%
<b>CA-I1-8</b>	-	<b>385</b>	-	-	-	-	-	-	<b>11,4</b>	<b>0,98%</b>	<b>1.088,2</b>	<b>0,34%</b>
	I1-8_1	24	AFG21M21-PV 1,8 kV 2x(1x6mm2)	20	1.164	17,0	22,5	23	4,0	0,34%	67,6	0,34%
	I1-8_2	24	AFG21M21-PV 1,8 kV 2x(1x6mm2)	20	1.164	17,0	22,5	23	4,0	0,34%	67,6	0,34%
	I1-8_3	24	AFG21M21-PV 1,8 kV 2x(1x6mm2)	20	1.164	17,0	22,5	23	3,9	0,34%	66,7	0,34%
	I1-8_4	24	AFG21M21-PV 1,8 kV 2x(1x6mm2)	20	1.164	17,0	22,5	23	3,9	0,34%	66,7	0,34%
	I1-8_5	48	AFG21M21-PV 1,8 kV 2x(1x6mm2)	20	1.164	17,0	22,5	23	8,0	0,69%	136,9	0,69%
	I1-8_6	4	AFG21M21-PV 1,8 kV 2x(1x6mm2)	20	1.164	17,0	22,5	23	0,7	0,06%	11,4	0,06%
	I1-8_7	4	AFG21M21-PV 1,8 kV 2x(1x6mm2)	20	1.164	17,0	22,5	23	0,7	0,06%	11,4	0,06%
	I1-8_8	2	AFG21M21-PV 1,8 kV 2x(1x6mm2)	20	1.164	17,0	22,5	23	0,4	0,03%	6,2	0,03%
	I1-8_9	2	AFG21M21-PV 1,8 kV 2x(1x6mm2)	20	1.164	17,0	22,5	23	0,4	0,03%	6,2	0,03%
	I1-8_10	68	AFG21M21-PV 1,8 kV 2x(1x6mm2)	20	1.164	17,0	22,5	23	11,4	0,98%	193,1	0,98%
	I1-8_11	24	AFG21M21-PV 1,8 kV 2x(1x6mm2)	20	1.164	17,0	22,5	23	4,0	0,34%	67,6	0,34%
	I1-8_12	24	AFG21M21-PV 1,8 kV 2x(1x6mm2)	20	1.164	17,0	22,5	23	4,0	0,34%	67,6	0,34%
	I1-8_13	23	AFG21M21-PV 1,8 kV 2x(1x6mm2)	20	1.164	17,0	22,5	23	3,8	0,33%	65,4	0,33%
	I1-8_14	23	AFG21M21-PV 1,8 kV 2x(1x6mm2)	20	1.164	17,0	22,5	23	3,8	0,33%	65,4	0,33%
	I1-8_15	33	AFG21M21-PV 1,8 kV 2x(1x6mm2)	20	1.164	17,0	22,5	23	5,5	0,48%	94,1	0,48%
	I1-8_16	33	AFG21M21-PV 1,8 kV 2x(1x6mm2)	20	1.164	17,0	22,5	23	5,5	0,48%	94,1	0,48%
<b>CA-I1-9</b>	-	<b>486</b>	-	-	-	-	-	-	<b>13,0</b>	<b>1,12%</b>	<b>1.374,0</b>	<b>0,43%</b>
	I1-9_1	68	AFG21M21-PV 1,8 kV 2x(1x6mm2)	20	1.164	17,0	22,5	23	11,4	0,98%	193,1	0,98%

Descrizione	Sigla Linea Stringa	Lunghezza del tratto	Tipo di cavo	Potenza	Tensione	Corrente impiego	Corrente impiego (IEC)	Portata effettiva del cavo	Caduta di tensione	Caduta di tensione percentuale	Perdite resistive	Perdite percentuali
[]	Tag []	L [m]	Tipo cavo []	P [kW]	V [V]	I [A]	I [A]	[A]	$\Delta V$ [V]	$\Delta V$ [%]	$I^2R$ [W]	$\Delta P$ [%]
	I1-9_2	24	AFG21M21-PV 1,8 kV 2x(1x6mm2)	20	1.164	17,0	22,5	23	4,0	0,34%	67,6	0,34%
	I1-9_3	24	AFG21M21-PV 1,8 kV 2x(1x6mm2)	20	1.164	17,0	22,5	23	4,0	0,34%	67,6	0,34%
	I1-9_4	48	AFG21M21-PV 1,8 kV 2x(1x6mm2)	20	1.164	17,0	22,5	23	8,0	0,69%	136,9	0,69%
	I1-9_5	4	AFG21M21-PV 1,8 kV 2x(1x6mm2)	20	1.164	17,0	22,5	23	0,7	0,06%	11,4	0,06%
	I1-9_6	4	AFG21M21-PV 1,8 kV 2x(1x6mm2)	20	1.164	17,0	22,5	23	0,7	0,06%	11,4	0,06%
	I1-9_7	2	AFG21M21-PV 1,8 kV 2x(1x6mm2)	20	1.164	17,0	22,5	23	0,4	0,03%	6,2	0,03%
	I1-9_8	2	AFG21M21-PV 1,8 kV 2x(1x6mm2)	20	1.164	17,0	22,5	23	0,4	0,03%	6,2	0,03%
	I1-9_9	68	AFG21M21-PV 1,8 kV 2x(1x6mm2)	20	1.164	17,0	22,5	23	11,4	0,98%	193,1	0,98%
	I1-9_10	24	AFG21M21-PV 1,8 kV 2x(1x6mm2)	20	1.164	17,0	22,5	23	4,0	0,34%	67,6	0,34%
	I1-9_11	24	AFG21M21-PV 1,8 kV 2x(1x6mm2)	20	1.164	17,0	22,5	23	4,0	0,34%	67,6	0,34%
	I1-9_12	23	AFG21M21-PV 1,8 kV 2x(1x6mm2)	20	1.164	17,0	22,5	23	3,8	0,33%	65,4	0,33%
	I1-9_13	23	AFG21M21-PV 1,8 kV 2x(1x6mm2)	20	1.164	17,0	22,5	23	3,8	0,33%	65,4	0,33%
	I1-9_14	78	AFG21M21-PV 1,8 kV 2x(1x6mm2)	20	1.164	17,0	22,5	23	13,0	1,12%	221,7	1,12%
	I1-9_15	34	AFG21M21-PV 1,8 kV 2x(1x6mm2)	20	1.164	17,0	22,5	23	5,7	0,49%	96,3	0,49%
	I1-9_16	34	AFG21M21-PV 1,8 kV 2x(1x6mm2)	20	1.164	17,0	22,5	23	5,7	0,49%	96,3	0,49%
<b>CA-I1-10</b>	-	<b>354</b>	-	-	-	-	-	-	<b>7,2</b>	<b>0,62%</b>	<b>1.002,2</b>	<b>0,32%</b>
	I1-10_1	34	AFG21M21-PV 1,8 kV 2x(1x6mm2)	20	1.164	17,0	22,5	23	5,6	0,48%	95,4	0,48%
	I1-10_2	34	AFG21M21-PV 1,8 kV 2x(1x6mm2)	20	1.164	17,0	22,5	23	5,6	0,48%	95,4	0,48%
	I1-10_3	24	AFG21M21-PV 1,8 kV 2x(1x6mm2)	20	1.164	17,0	22,5	23	4,0	0,34%	67,6	0,34%
	I1-10_4	24	AFG21M21-PV 1,8 kV 2x(1x6mm2)	20	1.164	17,0	22,5	23	4,0	0,34%	67,6	0,34%
	I1-10_5	24	AFG21M21-PV 1,8 kV 2x(1x6mm2)	20	1.164	17,0	22,5	23	3,9	0,34%	66,7	0,34%
	I1-10_6	24	AFG21M21-PV 1,8 kV 2x(1x6mm2)	20	1.164	17,0	22,5	23	3,9	0,34%	66,7	0,34%
	I1-10_7	4	AFG21M21-PV 1,8 kV 2x(1x6mm2)	20	1.164	17,0	22,5	23	0,7	0,06%	11,4	0,06%
	I1-10_8	4	AFG21M21-PV 1,8 kV 2x(1x6mm2)	20	1.164	17,0	22,5	23	0,7	0,06%	11,4	0,06%
	I1-10_9	2	AFG21M21-PV 1,8 kV 2x(1x6mm2)	20	1.164	17,0	22,5	23	0,4	0,03%	6,2	0,03%
	I1-10_10	2	AFG21M21-PV 1,8 kV 2x(1x6mm2)	20	1.164	17,0	22,5	23	0,4	0,03%	6,2	0,03%
	I1-10_11	23	AFG21M21-PV 1,8 kV 2x(1x6mm2)	20	1.164	17,0	22,5	23	3,9	0,33%	65,6	0,33%
	I1-10_12	23	AFG21M21-PV 1,8 kV 2x(1x6mm2)	20	1.164	17,0	22,5	23	3,8	0,33%	65,5	0,33%
	I1-10_13	23	AFG21M21-PV 1,8 kV 2x(1x6mm2)	20	1.164	17,0	22,5	23	3,8	0,33%	65,5	0,33%
	I1-10_14	33	AFG21M21-PV 1,8 kV 2x(1x6mm2)	20	1.164	17,0	22,5	23	5,5	0,48%	94,1	0,48%
	I1-10_15	33	AFG21M21-PV 1,8 kV 2x(1x6mm2)	20	1.164	17,0	22,5	23	5,5	0,48%	94,1	0,48%
	I1-10_16	43	AFG21M21-PV 1,8 kV 2x(1x6mm2)	20	1.164	17,0	22,5	23	7,2	0,62%	122,8	0,62%
<b>CA-I1-11</b>	-	<b>722</b>	-	-	-	-	-	-	<b>16,8</b>	<b>1,45%</b>	<b>2.043,6</b>	<b>0,69%</b>
	I1-11_1	58	AFG21M21-PV 1,8 kV 2x(1x6mm2)	20	1.164	17,0	22,5	23	9,7	0,83%	165,3	0,83%
	I1-11_2	44	AFG21M21-PV 1,8 kV 2x(1x6mm2)	20	1.164	17,0	22,5	23	7,3	0,63%	124,9	0,63%
	I1-11_3	29	AFG21M21-PV 1,8 kV 2x(1x6mm2)	20	1.164	17,0	22,5	23	4,8	0,41%	81,1	0,41%
	I1-11_4	29	AFG21M21-PV 1,8 kV 2x(1x6mm2)	20	1.164	17,0	22,5	23	4,8	0,41%	81,1	0,41%
	I1-11_5	3	AFG21M21-PV 1,8 kV 2x(1x6mm2)	20	1.164	17,0	22,5	23	0,4	0,04%	7,5	0,04%
	I1-11_6	3	AFG21M21-PV 1,8 kV 2x(1x6mm2)	20	1.164	17,0	22,5	23	0,4	0,04%	7,5	0,04%
	I1-11_7	73	AFG21M21-PV 1,8 kV 2x(1x6mm2)	20	1.164	17,0	22,5	23	12,2	1,05%	207,5	1,05%
	I1-11_8	29	AFG21M21-PV 1,8 kV 2x(1x6mm2)	20	1.164	17,0	22,5	23	4,9	0,42%	83,0	0,42%
	I1-11_9	29	AFG21M21-PV 1,8 kV 2x(1x6mm2)	20	1.164	17,0	22,5	23	4,9	0,42%	83,0	0,42%
	I1-11_10	90	AFG21M21-PV 1,8 kV 2x(1x6mm2)	20	1.164	17,0	22,5	23	14,9	1,28%	253,5	1,28%
	I1-11_11	46	AFG21M21-PV 1,8 kV 2x(1x6mm2)	20	1.164	17,0	22,5	23	7,6	0,65%	128,9	0,65%
	I1-11_12	46	AFG21M21-PV 1,8 kV 2x(1x6mm2)	20	1.164	17,0	22,5	23	7,6	0,65%	128,9	0,65%
	I1-11_13	72	AFG21M21-PV 1,8 kV 2x(1x6mm2)	20	1.164	17,0	22,5	23	11,9	1,02%	202,4	1,02%
	I1-11_14	72	AFG21M21-PV 1,8 kV 2x(1x6mm2)	20	1.164	17,0	22,5	23	11,9	1,02%	202,4	1,02%
	I1-11_15	101	AFG21M21-PV 1,8 kV 2x(1x6mm2)	20	1.164	17,0	22,5	23	16,8	1,45%	286,5	1,45%

Descrizione	Sigla Linea Stringa	Lunghezza del tratto	Tipo di cavo	Potenza	Tensione	Corrente impiego	Corrente impiego (IEC)	Portata effettiva del cavo	Caduta di tensione	Caduta di tensione percentuale	Perdite resistive	Perdite percentuali
[]	Tag []	L [m]	Tipo cavo []	P [kW]	V [V]	I [A]	I [A]	[A]	$\Delta V$ [V]	$\Delta V$ [%]	$I^2R$ [W]	$\Delta P$ [%]
<b>CA-CABIN 2</b>		<b>4.053</b>	-						<b>15,1</b>	<b>1,30%</b>	<b>11.470,3</b>	<b>0,40%</b>
Route String - Inverter CA-I2-1			-	-	-	-	-	-	-	-	-	-
<b>CA-I2-1</b>		<b>522</b>	-						<b>10,8</b>	<b>0,93%</b>	<b>1.477,0</b>	<b>0,47%</b>
I2-1_1		45	AFG21M21-PV 1,8 kV 2x(1x6mm2)	20	1.164	17,0	22,5	23	7,5	0,65%	128,2	0,65%
I2-1_2		33	AFG21M21-PV 1,8 kV 2x(1x6mm2)	20	1.164	17,0	22,5	23	5,4	0,46%	92,0	0,46%
I2-1_3		33	AFG21M21-PV 1,8 kV 2x(1x6mm2)	20	1.164	17,0	22,5	23	5,4	0,46%	92,0	0,46%
I2-1_4		3	AFG21M21-PV 1,8 kV 2x(1x6mm2)	20	1.164	17,0	22,5	23	0,5	0,04%	8,3	0,04%
I2-1_5		3	AFG21M21-PV 1,8 kV 2x(1x6mm2)	20	1.164	17,0	22,5	23	0,5	0,04%	8,3	0,04%
I2-1_6		6	AFG21M21-PV 1,8 kV 2x(1x6mm2)	20	1.164	17,0	22,5	23	1,1	0,09%	18,0	0,09%
I2-1_7		6	AFG21M21-PV 1,8 kV 2x(1x6mm2)	20	1.164	17,0	22,5	23	1,1	0,09%	18,0	0,09%
I2-1_8		33	AFG21M21-PV 1,8 kV 2x(1x6mm2)	20	1.164	17,0	22,5	23	5,6	0,48%	94,7	0,48%
I2-1_9		33	AFG21M21-PV 1,8 kV 2x(1x6mm2)	20	1.164	17,0	22,5	23	5,6	0,48%	94,7	0,48%
I2-1_10		32	AFG21M21-PV 1,8 kV 2x(1x6mm2)	20	1.164	17,0	22,5	23	5,4	0,46%	91,5	0,46%
I2-1_11		32	AFG21M21-PV 1,8 kV 2x(1x6mm2)	20	1.164	17,0	22,5	23	5,4	0,46%	91,5	0,46%
I2-1_12		50	AFG21M21-PV 1,8 kV 2x(1x6mm2)	20	1.164	17,0	22,5	23	8,3	0,71%	140,8	0,71%
I2-1_13		50	AFG21M21-PV 1,8 kV 2x(1x6mm2)	20	1.164	17,0	22,5	23	8,3	0,71%	140,8	0,71%
I2-1_14		49	AFG21M21-PV 1,8 kV 2x(1x6mm2)	20	1.164	17,0	22,5	23	8,1	0,69%	137,4	0,69%
I2-1_15		49	AFG21M21-PV 1,8 kV 2x(1x6mm2)	20	1.164	17,0	22,5	23	8,1	0,69%	137,4	0,69%
I2-1_16		65	AFG21M21-PV 1,8 kV 2x(1x6mm2)	20	1.164	17,0	22,5	23	10,8	0,93%	183,3	0,93%
<b>CA-I2-2</b>		<b>474</b>	-						<b>8,1</b>	<b>0,70%</b>	<b>1.342,2</b>	<b>0,42%</b>
I2-2_1		49	AFG21M21-PV 1,8 kV 2x(1x6mm2)	20	1.164	17,0	22,5	23	8,1	0,70%	138,1	0,70%
I2-2_2		49	AFG21M21-PV 1,8 kV 2x(1x6mm2)	20	1.164	17,0	22,5	23	8,1	0,70%	138,1	0,70%
I2-2_3		48	AFG21M21-PV 1,8 kV 2x(1x6mm2)	20	1.164	17,0	22,5	23	8,1	0,69%	137,0	0,69%
I2-2_4		33	AFG21M21-PV 1,8 kV 2x(1x6mm2)	20	1.164	17,0	22,5	23	5,4	0,47%	92,1	0,47%
I2-2_5		33	AFG21M21-PV 1,8 kV 2x(1x6mm2)	20	1.164	17,0	22,5	23	5,4	0,47%	92,1	0,47%
I2-2_6		32	AFG21M21-PV 1,8 kV 2x(1x6mm2)	20	1.164	17,0	22,5	23	5,4	0,46%	91,3	0,46%
I2-2_7		32	AFG21M21-PV 1,8 kV 2x(1x6mm2)	20	1.164	17,0	22,5	23	5,4	0,46%	91,3	0,46%
I2-2_8		3	AFG21M21-PV 1,8 kV 2x(1x6mm2)	20	1.164	17,0	22,5	23	0,5	0,04%	8,4	0,04%
I2-2_9		3	AFG21M21-PV 1,8 kV 2x(1x6mm2)	20	1.164	17,0	22,5	23	0,5	0,04%	8,4	0,04%
I2-2_10		6	AFG21M21-PV 1,8 kV 2x(1x6mm2)	20	1.164	17,0	22,5	23	1,1	0,09%	18,1	0,09%
I2-2_11		6	AFG21M21-PV 1,8 kV 2x(1x6mm2)	20	1.164	17,0	22,5	23	1,1	0,09%	18,1	0,09%
I2-2_12		33	AFG21M21-PV 1,8 kV 2x(1x6mm2)	20	1.164	17,0	22,5	23	5,5	0,48%	94,2	0,48%
I2-2_13		33	AFG21M21-PV 1,8 kV 2x(1x6mm2)	20	1.164	17,0	22,5	23	5,5	0,48%	94,2	0,48%
I2-2_14		32	AFG21M21-PV 1,8 kV 2x(1x6mm2)	20	1.164	17,0	22,5	23	5,4	0,46%	91,6	0,46%
I2-2_15		32	AFG21M21-PV 1,8 kV 2x(1x6mm2)	20	1.164	17,0	22,5	23	5,4	0,46%	91,6	0,46%
I2-2_16		49	AFG21M21-PV 1,8 kV 2x(1x6mm2)	20	1.164	17,0	22,5	23	8,1	0,69%	137,5	0,69%
<b>CA-I2-3</b>		<b>475</b>	-						<b>8,1</b>	<b>0,70%</b>	<b>1.343,9</b>	<b>0,42%</b>
I2-3_1		49	AFG21M21-PV 1,8 kV 2x(1x6mm2)	20	1.164	17,0	22,5	23	8,1	0,70%	138,0	0,70%
I2-3_2		49	AFG21M21-PV 1,8 kV 2x(1x6mm2)	20	1.164	17,0	22,5	23	8,1	0,70%	138,0	0,70%
I2-3_3		33	AFG21M21-PV 1,8 kV 2x(1x6mm2)	20	1.164	17,0	22,5	23	5,4	0,46%	92,1	0,46%
I2-3_4		33	AFG21M21-PV 1,8 kV 2x(1x6mm2)	20	1.164	17,0	22,5	23	5,4	0,46%	92,1	0,46%
I2-3_5		3	AFG21M21-PV 1,8 kV 2x(1x6mm2)	20	1.164	17,0	22,5	23	0,5	0,04%	8,5	0,04%
I2-3_6		3	AFG21M21-PV 1,8 kV 2x(1x6mm2)	20	1.164	17,0	22,5	23	0,5	0,04%	8,5	0,04%
I2-3_7		49	AFG21M21-PV 1,8 kV 2x(1x6mm2)	20	1.164	17,0	22,5	23	8,1	0,69%	137,6	0,69%
I2-3_8		32	AFG21M21-PV 1,8 kV 2x(1x6mm2)	20	1.164	17,0	22,5	23	5,4	0,46%	91,7	0,46%
I2-3_9		32	AFG21M21-PV 1,8 kV 2x(1x6mm2)	20	1.164	17,0	22,5	23	5,4	0,46%	91,7	0,46%
I2-3_10		6	AFG21M21-PV 1,8 kV 2x(1x6mm2)	20	1.164	17,0	22,5	23	1,1	0,09%	18,2	0,09%

Descrizione	Sigla Linea Stringa	Lunghezza del tratto	Tipo di cavo	Potenza	Tensione	Corrente impiego	Corrente impiego (IEC)	Portata effettiva del cavo	Caduta di tensione	Caduta di tensione percentuale	Perdite resistive	Perdite percentuali
[]	Tag []	L [m]	Tipo cavo []	P [kW]	V [V]	I [A]	I [A]	[A]	$\Delta V$ [V]	$\Delta V$ [%]	$I^2R$ [W]	$\Delta P$ [%]
	I2-3_11	6	AFG21M21-PV 1,8 kV 2x(1x6mm2)	20	1.164	17,0	22,5	23	1,1	0,09%	18,2	0,09%
	I2-3_12	33	AFG21M21-PV 1,8 kV 2x(1x6mm2)	20	1.164	17,0	22,5	23	5,5	0,48%	94,2	0,48%
	I2-3_13	33	AFG21M21-PV 1,8 kV 2x(1x6mm2)	20	1.164	17,0	22,5	23	5,5	0,48%	94,2	0,48%
	I2-3_14	32	AFG21M21-PV 1,8 kV 2x(1x6mm2)	20	1.164	17,0	22,5	23	5,4	0,46%	91,7	0,46%
	I2-3_15	32	AFG21M21-PV 1,8 kV 2x(1x6mm2)	20	1.164	17,0	22,5	23	5,4	0,46%	91,7	0,46%
	I2-3_16	49	AFG21M21-PV 1,8 kV 2x(1x6mm2)	20	1.164	17,0	22,5	23	8,1	0,69%	137,6	0,69%
<b>CA-I2-4</b>	-	<b>333</b>	-	-	-	-	-	-	<b>5,6</b>	<b>0,48%</b>	<b>941,1</b>	<b>0,30%</b>
	I2-4_1	34	AFG21M21-PV 1,8 kV 2x(1x6mm2)	20	1.164	17,0	22,5	23	5,6	0,48%	95,2	0,48%
	I2-4_2	34	AFG21M21-PV 1,8 kV 2x(1x6mm2)	20	1.164	17,0	22,5	23	5,6	0,48%	95,2	0,48%
	I2-4_3	33	AFG21M21-PV 1,8 kV 2x(1x6mm2)	20	1.164	17,0	22,5	23	5,5	0,48%	94,3	0,48%
	I2-4_4	23	AFG21M21-PV 1,8 kV 2x(1x6mm2)	20	1.164	17,0	22,5	23	3,9	0,33%	66,1	0,33%
	I2-4_5	23	AFG21M21-PV 1,8 kV 2x(1x6mm2)	20	1.164	17,0	22,5	23	3,9	0,33%	66,1	0,33%
	I2-4_6	23	AFG21M21-PV 1,8 kV 2x(1x6mm2)	20	1.164	17,0	22,5	23	3,8	0,33%	65,1	0,33%
	I2-4_7	23	AFG21M21-PV 1,8 kV 2x(1x6mm2)	20	1.164	17,0	22,5	23	3,8	0,33%	65,1	0,33%
	I2-4_8	3	AFG21M21-PV 1,8 kV 2x(1x6mm2)	20	1.164	17,0	22,5	23	0,5	0,05%	9,1	0,05%
	I2-4_9	3	AFG21M21-PV 1,8 kV 2x(1x6mm2)	20	1.164	17,0	22,5	23	0,5	0,05%	9,1	0,05%
	I2-4_10	3	AFG21M21-PV 1,8 kV 2x(1x6mm2)	20	1.164	17,0	22,5	23	0,5	0,04%	8,5	0,04%
	I2-4_11	3	AFG21M21-PV 1,8 kV 2x(1x6mm2)	20	1.164	17,0	22,5	23	0,5	0,04%	8,5	0,04%
	I2-4_12	24	AFG21M21-PV 1,8 kV 2x(1x6mm2)	20	1.164	17,0	22,5	23	4,0	0,34%	67,5	0,34%
	I2-4_13	24	AFG21M21-PV 1,8 kV 2x(1x6mm2)	20	1.164	17,0	22,5	23	4,0	0,34%	67,5	0,34%
	I2-4_14	23	AFG21M21-PV 1,8 kV 2x(1x6mm2)	20	1.164	17,0	22,5	23	3,8	0,33%	65,0	0,33%
	I2-4_15	23	AFG21M21-PV 1,8 kV 2x(1x6mm2)	20	1.164	17,0	22,5	23	3,8	0,33%	65,0	0,33%
	I2-4_16	33	AFG21M21-PV 1,8 kV 2x(1x6mm2)	20	1.164	17,0	22,5	23	5,5	0,47%	93,9	0,47%
<b>CA-I2-5</b>	-	<b>333</b>	-	-	-	-	-	-	<b>5,6</b>	<b>0,48%</b>	<b>941,4</b>	<b>0,30%</b>
	I2-5_1	34	AFG21M21-PV 1,8 kV 2x(1x6mm2)	20	1.164	17,0	22,5	23	5,6	0,48%	95,2	0,48%
	I2-5_2	34	AFG21M21-PV 1,8 kV 2x(1x6mm2)	20	1.164	17,0	22,5	23	5,6	0,48%	95,2	0,48%
	I2-5_3	33	AFG21M21-PV 1,8 kV 2x(1x6mm2)	20	1.164	17,0	22,5	23	5,5	0,47%	94,0	0,47%
	I2-5_4	23	AFG21M21-PV 1,8 kV 2x(1x6mm2)	20	1.164	17,0	22,5	23	3,9	0,33%	66,3	0,33%
	I2-5_5	23	AFG21M21-PV 1,8 kV 2x(1x6mm2)	20	1.164	17,0	22,5	23	3,9	0,33%	66,3	0,33%
	I2-5_6	23	AFG21M21-PV 1,8 kV 2x(1x6mm2)	20	1.164	17,0	22,5	23	3,8	0,33%	65,0	0,33%
	I2-5_7	23	AFG21M21-PV 1,8 kV 2x(1x6mm2)	20	1.164	17,0	22,5	23	3,8	0,33%	65,0	0,33%
	I2-5_8	3	AFG21M21-PV 1,8 kV 2x(1x6mm2)	20	1.164	17,0	22,5	23	0,5	0,05%	9,1	0,05%
	I2-5_9	3	AFG21M21-PV 1,8 kV 2x(1x6mm2)	20	1.164	17,0	22,5	23	0,5	0,05%	9,1	0,05%
	I2-5_10	3	AFG21M21-PV 1,8 kV 2x(1x6mm2)	20	1.164	17,0	22,5	23	0,5	0,04%	8,5	0,04%
	I2-5_11	3	AFG21M21-PV 1,8 kV 2x(1x6mm2)	20	1.164	17,0	22,5	23	0,5	0,04%	8,5	0,04%
	I2-5_12	24	AFG21M21-PV 1,8 kV 2x(1x6mm2)	20	1.164	17,0	22,5	23	4,0	0,34%	67,5	0,34%
	I2-5_13	24	AFG21M21-PV 1,8 kV 2x(1x6mm2)	20	1.164	17,0	22,5	23	4,0	0,34%	67,5	0,34%
	I2-5_14	23	AFG21M21-PV 1,8 kV 2x(1x6mm2)	20	1.164	17,0	22,5	23	3,8	0,33%	65,1	0,33%
	I2-5_15	23	AFG21M21-PV 1,8 kV 2x(1x6mm2)	20	1.164	17,0	22,5	23	3,8	0,33%	65,1	0,33%
	I2-5_16	33	AFG21M21-PV 1,8 kV 2x(1x6mm2)	20	1.164	17,0	22,5	23	5,5	0,47%	94,0	0,47%
<b>CA-I2-6</b>	-	<b>559</b>	-	-	-	-	-	-	<b>15,1</b>	<b>1,30%</b>	<b>1.580,9</b>	<b>0,50%</b>
	I2-6_1	91	AFG21M21-PV 1,8 kV 2x(1x6mm2)	20	1.164	17,0	22,5	23	15,1	1,30%	257,3	1,30%
	I2-6_2	91	AFG21M21-PV 1,8 kV 2x(1x6mm2)	20	1.164	17,0	22,5	23	15,1	1,30%	257,3	1,30%
	I2-6_3	32	AFG21M21-PV 1,8 kV 2x(1x6mm2)	20	1.164	17,0	22,5	23	5,3	0,46%	90,3	0,46%
	I2-6_4	32	AFG21M21-PV 1,8 kV 2x(1x6mm2)	20	1.164	17,0	22,5	23	5,3	0,46%	90,3	0,46%
	I2-6_5	33	AFG21M21-PV 1,8 kV 2x(1x6mm2)	20	1.164	17,0	22,5	23	5,5	0,47%	92,9	0,47%
	I2-6_6	33	AFG21M21-PV 1,8 kV 2x(1x6mm2)	20	1.164	17,0	22,5	23	5,5	0,47%	92,9	0,47%



Descrizione	Sigla Linea Stringa	Lunghezza del tratto	Tipo di cavo	Potenza	Tensione	Corrente impiego	Corrente impiego (IEC)	Portata effettiva del cavo	Caduta di tensione	Caduta di tensione percentuale	Perdite resistive	Perdite percentuali
[]	Tag []	L [m]	Tipo cavo []	P [kW]	V [V]	I [A]	I [A]	[A]	$\Delta V$ [V]	$\Delta V$ [%]	I <sup>2</sup> R [W]	$\Delta P$ [%]
	I2-6_7	3	AFG21M21-PV 1,8 kV 2x(1x6mm2)	20	1.164	17,0	22,5	23	0,5	0,04%	7,7	0,04%
	I2-6_8	3	AFG21M21-PV 1,8 kV 2x(1x6mm2)	20	1.164	17,0	22,5	23	0,5	0,04%	7,7	0,04%
	I2-6_9	6	AFG21M21-PV 1,8 kV 2x(1x6mm2)	20	1.164	17,0	22,5	23	1,0	0,09%	17,4	0,09%
	I2-6_10	6	AFG21M21-PV 1,8 kV 2x(1x6mm2)	20	1.164	17,0	22,5	23	1,0	0,09%	17,4	0,09%
	I2-6_11	33	AFG21M21-PV 1,8 kV 2x(1x6mm2)	20	1.164	17,0	22,5	23	5,5	0,48%	94,3	0,48%
	I2-6_12	33	AFG21M21-PV 1,8 kV 2x(1x6mm2)	20	1.164	17,0	22,5	23	5,5	0,48%	94,3	0,48%
	I2-6_13	49	AFG21M21-PV 1,8 kV 2x(1x6mm2)	20	1.164	17,0	22,5	23	8,2	0,71%	139,9	0,71%
	I2-6_14	49	AFG21M21-PV 1,8 kV 2x(1x6mm2)	20	1.164	17,0	22,5	23	8,2	0,71%	139,9	0,71%
	I2-6_15	32	AFG21M21-PV 1,8 kV 2x(1x6mm2)	20	1.164	17,0	22,5	23	5,3	0,46%	90,8	0,46%
	I2-6_16	32	AFG21M21-PV 1,8 kV 2x(1x6mm2)	20	1.164	17,0	22,5	23	5,3	0,46%	90,8	0,46%
<b>CA-I2-7</b>	-	<b>467</b>	-	-	-	-	-	-	<b>8,1</b>	<b>0,70%</b>	<b>1.320,3</b>	<b>0,42%</b>
	I2-7_1	48	AFG21M21-PV 1,8 kV 2x(1x6mm2)	20	1.164	17,0	22,5	23	8,0	0,68%	135,4	0,68%
	I2-7_2	48	AFG21M21-PV 1,8 kV 2x(1x6mm2)	20	1.164	17,0	22,5	23	8,0	0,68%	135,4	0,68%
	I2-7_3	32	AFG21M21-PV 1,8 kV 2x(1x6mm2)	20	1.164	17,0	22,5	23	5,3	0,46%	90,6	0,46%
	I2-7_4	32	AFG21M21-PV 1,8 kV 2x(1x6mm2)	20	1.164	17,0	22,5	23	5,3	0,46%	90,6	0,46%
	I2-7_5	32	AFG21M21-PV 1,8 kV 2x(1x6mm2)	20	1.164	17,0	22,5	23	5,3	0,45%	89,8	0,45%
	I2-7_6	32	AFG21M21-PV 1,8 kV 2x(1x6mm2)	20	1.164	17,0	22,5	23	5,3	0,45%	89,8	0,45%
	I2-7_7	2	AFG21M21-PV 1,8 kV 2x(1x6mm2)	20	1.164	17,0	22,5	23	0,4	0,03%	6,8	0,03%
	I2-7_8	2	AFG21M21-PV 1,8 kV 2x(1x6mm2)	20	1.164	17,0	22,5	23	0,4	0,03%	6,8	0,03%
	I2-7_9	6	AFG21M21-PV 1,8 kV 2x(1x6mm2)	20	1.164	17,0	22,5	23	1,0	0,08%	16,6	0,08%
	I2-7_10	6	AFG21M21-PV 1,8 kV 2x(1x6mm2)	20	1.164	17,0	22,5	23	1,0	0,08%	16,6	0,08%
	I2-7_11	33	AFG21M21-PV 1,8 kV 2x(1x6mm2)	20	1.164	17,0	22,5	23	5,4	0,47%	92,7	0,47%
	I2-7_12	33	AFG21M21-PV 1,8 kV 2x(1x6mm2)	20	1.164	17,0	22,5	23	5,4	0,47%	92,7	0,47%
	I2-7_13	32	AFG21M21-PV 1,8 kV 2x(1x6mm2)	20	1.164	17,0	22,5	23	5,3	0,45%	90,0	0,45%
	I2-7_14	32	AFG21M21-PV 1,8 kV 2x(1x6mm2)	20	1.164	17,0	22,5	23	5,3	0,45%	90,0	0,45%
	I2-7_15	49	AFG21M21-PV 1,8 kV 2x(1x6mm2)	20	1.164	17,0	22,5	23	8,1	0,70%	138,3	0,70%
	I2-7_16	49	AFG21M21-PV 1,8 kV 2x(1x6mm2)	20	1.164	17,0	22,5	23	8,1	0,70%	138,3	0,70%
<b>CA-I2-8</b>	-	<b>525</b>	-	-	-	-	-	-	<b>8,2</b>	<b>0,71%</b>	<b>1.486,0</b>	<b>0,44%</b>
	I2-8_1	49	AFG21M21-PV 1,8 kV 2x(1x6mm2)	20	1.164	17,0	22,5	23	8,1	0,69%	137,6	0,69%
	I2-8_2	49	AFG21M21-PV 1,8 kV 2x(1x6mm2)	20	1.164	17,0	22,5	23	8,1	0,69%	137,6	0,69%
	I2-8_3	33	AFG21M21-PV 1,8 kV 2x(1x6mm2)	20	1.164	17,0	22,5	23	5,4	0,46%	92,0	0,46%
	I2-8_4	33	AFG21M21-PV 1,8 kV 2x(1x6mm2)	20	1.164	17,0	22,5	23	5,4	0,46%	92,0	0,46%
	I2-8_5	32	AFG21M21-PV 1,8 kV 2x(1x6mm2)	20	1.164	17,0	22,5	23	5,4	0,46%	91,7	0,46%
	I2-8_6	32	AFG21M21-PV 1,8 kV 2x(1x6mm2)	20	1.164	17,0	22,5	23	5,4	0,46%	91,7	0,46%
	I2-8_7	3	AFG21M21-PV 1,8 kV 2x(1x6mm2)	20	1.164	17,0	22,5	23	0,5	0,04%	8,5	0,04%
	I2-8_8	3	AFG21M21-PV 1,8 kV 2x(1x6mm2)	20	1.164	17,0	22,5	23	0,5	0,04%	8,5	0,04%
	I2-8_9	6	AFG21M21-PV 1,8 kV 2x(1x6mm2)	20	1.164	17,0	22,5	23	1,1	0,09%	18,3	0,09%
	I2-8_10	6	AFG21M21-PV 1,8 kV 2x(1x6mm2)	20	1.164	17,0	22,5	23	1,1	0,09%	18,3	0,09%
	I2-8_11	33	AFG21M21-PV 1,8 kV 2x(1x6mm2)	20	1.164	17,0	22,5	23	5,5	0,48%	94,2	0,48%
	I2-8_12	33	AFG21M21-PV 1,8 kV 2x(1x6mm2)	20	1.164	17,0	22,5	23	5,5	0,48%	94,2	0,48%
	I2-8_13	32	AFG21M21-PV 1,8 kV 2x(1x6mm2)	20	1.164	17,0	22,5	23	5,4	0,46%	91,7	0,46%
	I2-8_14	32	AFG21M21-PV 1,8 kV 2x(1x6mm2)	20	1.164	17,0	22,5	23	5,4	0,46%	91,7	0,46%
	I2-8_15	50	AFG21M21-PV 1,8 kV 2x(1x6mm2)	20	1.164	17,0	22,5	23	8,2	0,71%	140,2	0,71%
	I2-8_16	50	AFG21M21-PV 1,8 kV 2x(1x6mm2)	20	1.164	17,0	22,5	23	8,2	0,71%	140,2	0,71%
	I2-8_17	49	AFG21M21-PV 1,8 kV 2x(1x6mm2)	20	1.164	17,0	22,5	23	8,1	0,69%	137,6	0,69%
<b>CA-I2-9</b>	-	<b>367</b>	-	-	-	-	-	-	<b>5,7</b>	<b>0,49%</b>	<b>1.037,5</b>	<b>0,31%</b>
	I2-9_1	33	AFG21M21-PV 1,8 kV 2x(1x6mm2)	20	1.164	17,0	22,5	23	5,5	0,48%	94,3	0,48%

Descrizione	Sigla Linea Stringa	Lunghezza del tratto	Tipo di cavo	Potenza	Tensione	Corrente impiego	Corrente impiego (IEC)	Portata effettiva del cavo	Caduta di tensione	Caduta di tensione percentuale	Perdite resistive	Perdite percentuali
[]	Tag []	L [m]	Tipo cavo []	P [kW]	V [V]	I [A]	I [A]	[A]	$\Delta V$ [V]	$\Delta V$ [%]	I <sup>2</sup> R [W]	$\Delta P$ [%]
	I2-9_2	23	AFG21M21-PV 1,8 kV 2x(1x6mm2)	20	1.164	17,0	22,5	23	3,9	0,33%	66,1	0,33%
	I2-9_3	23	AFG21M21-PV 1,8 kV 2x(1x6mm2)	20	1.164	17,0	22,5	23	3,9	0,33%	66,1	0,33%
	I2-9_4	23	AFG21M21-PV 1,8 kV 2x(1x6mm2)	20	1.164	17,0	22,5	23	3,8	0,33%	65,1	0,33%
	I2-9_5	23	AFG21M21-PV 1,8 kV 2x(1x6mm2)	20	1.164	17,0	22,5	23	3,8	0,33%	65,1	0,33%
	I2-9_6	3	AFG21M21-PV 1,8 kV 2x(1x6mm2)	20	1.164	17,0	22,5	23	0,5	0,05%	9,1	0,05%
	I2-9_7	3	AFG21M21-PV 1,8 kV 2x(1x6mm2)	20	1.164	17,0	22,5	23	0,5	0,05%	9,1	0,05%
	I2-9_8	3	AFG21M21-PV 1,8 kV 2x(1x6mm2)	20	1.164	17,0	22,5	23	0,5	0,04%	8,5	0,04%
	I2-9_9	3	AFG21M21-PV 1,8 kV 2x(1x6mm2)	20	1.164	17,0	22,5	23	0,5	0,04%	8,5	0,04%
	I2-9_10	24	AFG21M21-PV 1,8 kV 2x(1x6mm2)	20	1.164	17,0	22,5	23	4,0	0,34%	67,4	0,34%
	I2-9_11	24	AFG21M21-PV 1,8 kV 2x(1x6mm2)	20	1.164	17,0	22,5	23	4,0	0,34%	67,4	0,34%
	I2-9_12	23	AFG21M21-PV 1,8 kV 2x(1x6mm2)	20	1.164	17,0	22,5	23	3,8	0,33%	65,0	0,33%
	I2-9_13	23	AFG21M21-PV 1,8 kV 2x(1x6mm2)	20	1.164	17,0	22,5	23	3,8	0,33%	65,0	0,33%
	I2-9_14	34	AFG21M21-PV 1,8 kV 2x(1x6mm2)	20	1.164	17,0	22,5	23	5,7	0,49%	96,4	0,49%
	I2-9_15	34	AFG21M21-PV 1,8 kV 2x(1x6mm2)	20	1.164	17,0	22,5	23	5,7	0,49%	96,4	0,49%
	I2-9_16	33	AFG21M21-PV 1,8 kV 2x(1x6mm2)	20	1.164	17,0	22,5	23	5,5	0,47%	93,9	0,47%
	I2-9_17	33	AFG21M21-PV 1,8 kV 2x(1x6mm2)	20	1.164	17,0	22,5	23	5,5	0,47%	93,9	0,47%
<b>CA-CABIN 3</b>		<b>4.411</b>	-	-	-	-	-	-	<b>13,1</b>	<b>1,12%</b>	<b>12.481,4</b>	<b>0,43%</b>
<b>Route String - Inverter CA-I3-1</b>			-	-	-	-	-	-	-	-	-	-
<b>CA-I3-1</b>		<b>674</b>	-	-	-	-	-	-	<b>13,1</b>	<b>1,12%</b>	<b>1.906,9</b>	<b>0,60%</b>
	I3-1_1	79	AFG21M21-PV 1,8 kV 2x(1x6mm2)	20	1.164	17,0	22,5	23	13,1	1,12%	222,7	1,12%
	I3-1_2	62	AFG21M21-PV 1,8 kV 2x(1x6mm2)	20	1.164	17,0	22,5	23	10,4	0,89%	176,4	0,89%
	I3-1_3	30	AFG21M21-PV 1,8 kV 2x(1x6mm2)	20	1.164	17,0	22,5	23	4,9	0,42%	83,9	0,42%
	I3-1_4	30	AFG21M21-PV 1,8 kV 2x(1x6mm2)	20	1.164	17,0	22,5	23	4,9	0,42%	83,9	0,42%
	I3-1_5	2	AFG21M21-PV 1,8 kV 2x(1x6mm2)	20	1.164	17,0	22,5	23	0,4	0,03%	6,9	0,03%
	I3-1_6	2	AFG21M21-PV 1,8 kV 2x(1x6mm2)	20	1.164	17,0	22,5	23	0,4	0,03%	6,9	0,03%
	I3-1_7	29	AFG21M21-PV 1,8 kV 2x(1x6mm2)	20	1.164	17,0	22,5	23	4,8	0,41%	82,1	0,41%
	I3-1_8	29	AFG21M21-PV 1,8 kV 2x(1x6mm2)	20	1.164	17,0	22,5	23	4,8	0,41%	81,4	0,41%
	I3-1_9	29	AFG21M21-PV 1,8 kV 2x(1x6mm2)	20	1.164	17,0	22,5	23	4,8	0,41%	81,4	0,41%
	I3-1_10	45	AFG21M21-PV 1,8 kV 2x(1x6mm2)	20	1.164	17,0	22,5	23	7,5	0,65%	127,9	0,65%
	I3-1_11	45	AFG21M21-PV 1,8 kV 2x(1x6mm2)	20	1.164	17,0	22,5	23	7,5	0,64%	127,4	0,64%
	I3-1_12	45	AFG21M21-PV 1,8 kV 2x(1x6mm2)	20	1.164	17,0	22,5	23	7,5	0,64%	127,4	0,64%
	I3-1_13	62	AFG21M21-PV 1,8 kV 2x(1x6mm2)	20	1.164	17,0	22,5	23	10,4	0,89%	176,1	0,89%
	I3-1_14	62	AFG21M21-PV 1,8 kV 2x(1x6mm2)	20	1.164	17,0	22,5	23	10,4	0,89%	176,1	0,89%
	I3-1_15	61	AFG21M21-PV 1,8 kV 2x(1x6mm2)	20	1.164	17,0	22,5	23	10,2	0,87%	173,2	0,87%
	I3-1_16	61	AFG21M21-PV 1,8 kV 2x(1x6mm2)	20	1.164	17,0	22,5	23	10,2	0,87%	173,2	0,87%
<b>CA-I3-2</b>		<b>522</b>	-	-	-	-	-	-	<b>11,7</b>	<b>1,00%</b>	<b>1.478,6</b>	<b>0,47%</b>
	I3-2_1	49	AFG21M21-PV 1,8 kV 2x(1x6mm2)	20	1.164	17,0	22,5	23	8,1	0,70%	138,1	0,70%
	I3-2_2	49	AFG21M21-PV 1,8 kV 2x(1x6mm2)	20	1.164	17,0	22,5	23	8,1	0,70%	138,1	0,70%
	I3-2_3	49	AFG21M21-PV 1,8 kV 2x(1x6mm2)	20	1.164	17,0	22,5	23	8,1	0,69%	137,5	0,69%
	I3-2_4	49	AFG21M21-PV 1,8 kV 2x(1x6mm2)	20	1.164	17,0	22,5	23	8,1	0,69%	137,5	0,69%
	I3-2_5	70	AFG21M21-PV 1,8 kV 2x(1x6mm2)	20	1.164	17,0	22,5	23	11,7	1,00%	198,4	1,00%
	I3-2_6	33	AFG21M21-PV 1,8 kV 2x(1x6mm2)	20	1.164	17,0	22,5	23	5,4	0,47%	92,2	0,47%
	I3-2_7	33	AFG21M21-PV 1,8 kV 2x(1x6mm2)	20	1.164	17,0	22,5	23	5,4	0,47%	92,2	0,47%
	I3-2_8	32	AFG21M21-PV 1,8 kV 2x(1x6mm2)	20	1.164	17,0	22,5	23	5,4	0,46%	91,6	0,46%
	I3-2_9	32	AFG21M21-PV 1,8 kV 2x(1x6mm2)	20	1.164	17,0	22,5	23	5,4	0,46%	91,6	0,46%
	I3-2_10	44	AFG21M21-PV 1,8 kV 2x(1x6mm2)	20	1.164	17,0	22,5	23	7,3	0,63%	124,9	0,63%
	I3-2_11	3	AFG21M21-PV 1,8 kV 2x(1x6mm2)	20	1.164	17,0	22,5	23	0,5	0,04%	8,4	0,04%
	I3-2_12	3	AFG21M21-PV 1,8 kV 2x(1x6mm2)	20	1.164	17,0	22,5	23	0,5	0,04%	8,4	0,04%

Descrizione	Sigla Linea	Lunghezza del tratto	Tipo di cavo	Potenza	Tensione	Corrente impiego	Corrente impiego (IEC)	Portata effettiva del cavo	Caduta di tensione	Caduta di tensione percentuale	Perdite resistive	Perdite percentuali
[]	Tag []	L [m]	Tipo cavo []	P [kW]	V [V]	I [A]	I [A]	[A]	$\Delta V$ [V]	$\Delta V$ [%]	I <sup>2</sup> R [W]	$\Delta P$ [%]
	I3-2_13	6	AFG21M21-PV 1,8 kV 2x(1x6mm2)	20	1.164	17,0	22,5	23	1,1	0,09%	18,2	0,09%
	I3-2_14	6	AFG21M21-PV 1,8 kV 2x(1x6mm2)	20	1.164	17,0	22,5	23	1,1	0,09%	18,2	0,09%
	I3-2_15	32	AFG21M21-PV 1,8 kV 2x(1x6mm2)	20	1.164	17,0	22,5	23	5,4	0,46%	91,7	0,46%
	I3-2_16	32	AFG21M21-PV 1,8 kV 2x(1x6mm2)	20	1.164	17,0	22,5	23	5,4	0,46%	91,7	0,46%
<b>CA-I3-3</b>	-	<b>553</b>	-	-	-	-	-	-	<b>11,8</b>	<b>1,01%</b>	<b>1.564,0</b>	<b>0,49%</b>
	I3-3_1	71	AFG21M21-PV 1,8 kV 2x(1x6mm2)	20	1.164	17,0	22,5	23	11,8	1,01%	200,5	1,01%
	I3-3_2	71	AFG21M21-PV 1,8 kV 2x(1x6mm2)	20	1.164	17,0	22,5	23	11,8	1,01%	200,5	1,01%
	I3-3_3	33	AFG21M21-PV 1,8 kV 2x(1x6mm2)	20	1.164	17,0	22,5	23	5,4	0,47%	92,2	0,47%
	I3-3_4	33	AFG21M21-PV 1,8 kV 2x(1x6mm2)	20	1.164	17,0	22,5	23	5,4	0,47%	92,2	0,47%
	I3-3_5	45	AFG21M21-PV 1,8 kV 2x(1x6mm2)	20	1.164	17,0	22,5	23	7,5	0,64%	127,0	0,64%
	I3-3_6	45	AFG21M21-PV 1,8 kV 2x(1x6mm2)	20	1.164	17,0	22,5	23	7,5	0,64%	127,0	0,64%
	I3-3_7	3	AFG21M21-PV 1,8 kV 2x(1x6mm2)	20	1.164	17,0	22,5	23	0,5	0,04%	8,4	0,04%
	I3-3_8	3	AFG21M21-PV 1,8 kV 2x(1x6mm2)	20	1.164	17,0	22,5	23	0,5	0,04%	8,4	0,04%
	I3-3_9	6	AFG21M21-PV 1,8 kV 2x(1x6mm2)	20	1.164	17,0	22,5	23	1,1	0,09%	18,1	0,09%
	I3-3_10	6	AFG21M21-PV 1,8 kV 2x(1x6mm2)	20	1.164	17,0	22,5	23	1,1	0,09%	18,1	0,09%
	I3-3_11	65	AFG21M21-PV 1,8 kV 2x(1x6mm2)	20	1.164	17,0	22,5	23	10,8	0,93%	183,7	0,93%
	I3-3_12	65	AFG21M21-PV 1,8 kV 2x(1x6mm2)	20	1.164	17,0	22,5	23	10,8	0,93%	183,7	0,93%
	I3-3_13	27	AFG21M21-PV 1,8 kV 2x(1x6mm2)	20	1.164	17,0	22,5	23	4,5	0,39%	77,1	0,39%
	I3-3_14	27	AFG21M21-PV 1,8 kV 2x(1x6mm2)	20	1.164	17,0	22,5	23	4,5	0,39%	77,1	0,39%
	I3-3_15	26	AFG21M21-PV 1,8 kV 2x(1x6mm2)	20	1.164	17,0	22,5	23	4,4	0,38%	74,9	0,38%
	I3-3_16	26	AFG21M21-PV 1,8 kV 2x(1x6mm2)	20	1.164	17,0	22,5	23	4,4	0,38%	74,9	0,38%
<b>CA-I3-4</b>	-	<b>432</b>	-	-	-	-	-	-	<b>11,4</b>	<b>0,98%</b>	<b>1.222,0</b>	<b>0,39%</b>
	I3-4_1	68	AFG21M21-PV 1,8 kV 2x(1x6mm2)	20	1.164	17,0	22,5	23	11,4	0,98%	193,2	0,98%
	I3-4_2	68	AFG21M21-PV 1,8 kV 2x(1x6mm2)	20	1.164	17,0	22,5	23	11,4	0,98%	193,2	0,98%
	I3-4_3	23	AFG21M21-PV 1,8 kV 2x(1x6mm2)	20	1.164	17,0	22,5	23	3,9	0,33%	66,1	0,33%
	I3-4_4	23	AFG21M21-PV 1,8 kV 2x(1x6mm2)	20	1.164	17,0	22,5	23	3,9	0,33%	66,1	0,33%
	I3-4_5	23	AFG21M21-PV 1,8 kV 2x(1x6mm2)	20	1.164	17,0	22,5	23	3,8	0,33%	65,1	0,33%
	I3-4_6	23	AFG21M21-PV 1,8 kV 2x(1x6mm2)	20	1.164	17,0	22,5	23	3,8	0,33%	65,1	0,33%
	I3-4_7	48	AFG21M21-PV 1,8 kV 2x(1x6mm2)	20	1.164	17,0	22,5	23	8,0	0,69%	136,6	0,69%
	I3-4_8	48	AFG21M21-PV 1,8 kV 2x(1x6mm2)	20	1.164	17,0	22,5	23	8,0	0,69%	136,6	0,69%
	I3-4_9	3	AFG21M21-PV 1,8 kV 2x(1x6mm2)	20	1.164	17,0	22,5	23	0,5	0,05%	9,1	0,05%
	I3-4_10	3	AFG21M21-PV 1,8 kV 2x(1x6mm2)	20	1.164	17,0	22,5	23	0,5	0,05%	9,1	0,05%
	I3-4_11	3	AFG21M21-PV 1,8 kV 2x(1x6mm2)	20	1.164	17,0	22,5	23	0,5	0,04%	8,5	0,04%
	I3-4_12	3	AFG21M21-PV 1,8 kV 2x(1x6mm2)	20	1.164	17,0	22,5	23	0,5	0,04%	8,5	0,04%
	I3-4_13	24	AFG21M21-PV 1,8 kV 2x(1x6mm2)	20	1.164	17,0	22,5	23	4,0	0,34%	67,4	0,34%
	I3-4_14	24	AFG21M21-PV 1,8 kV 2x(1x6mm2)	20	1.164	17,0	22,5	23	4,0	0,34%	67,4	0,34%
	I3-4_15	23	AFG21M21-PV 1,8 kV 2x(1x6mm2)	20	1.164	17,0	22,5	23	3,8	0,33%	65,0	0,33%
	I3-4_16	23	AFG21M21-PV 1,8 kV 2x(1x6mm2)	20	1.164	17,0	22,5	23	3,8	0,33%	65,0	0,33%
<b>CA-I3-5</b>	-	<b>542</b>	-	-	-	-	-	-	<b>11,4</b>	<b>0,98%</b>	<b>1.534,2</b>	<b>0,48%</b>
	I3-5_1	68	AFG21M21-PV 1,8 kV 2x(1x6mm2)	20	1.164	17,0	22,5	23	11,4	0,98%	193,2	0,98%
	I3-5_2	68	AFG21M21-PV 1,8 kV 2x(1x6mm2)	20	1.164	17,0	22,5	23	11,4	0,98%	193,2	0,98%
	I3-5_3	48	AFG21M21-PV 1,8 kV 2x(1x6mm2)	20	1.164	17,0	22,5	23	8,0	0,69%	136,6	0,69%
	I3-5_4	48	AFG21M21-PV 1,8 kV 2x(1x6mm2)	20	1.164	17,0	22,5	23	8,0	0,69%	136,6	0,69%
	I3-5_5	3	AFG21M21-PV 1,8 kV 2x(1x6mm2)	20	1.164	17,0	22,5	23	0,5	0,05%	9,1	0,05%
	I3-5_6	3	AFG21M21-PV 1,8 kV 2x(1x6mm2)	20	1.164	17,0	22,5	23	0,5	0,05%	9,1	0,05%
	I3-5_7	3	AFG21M21-PV 1,8 kV 2x(1x6mm2)	20	1.164	17,0	22,5	23	0,5	0,04%	8,5	0,04%
	I3-5_8	3	AFG21M21-PV 1,8 kV 2x(1x6mm2)	20	1.164	17,0	22,5	23	0,5	0,04%	8,5	0,04%

Descrizione	Sigla Linea Stringa	Lunghezza del tratto	Tipo di cavo	Potenza	Tensione	Corrente impiego	Corrente impiego (IEC)	Portata effettiva del cavo	Caduta di tensione	Caduta di tensione percentuale	Perdite resistive	Perdite percentuali
				P [kW]	V [V]	I [A]	I [A]	[A]	$\Delta V$ [V]	$\Delta V$ [%]	I <sup>2</sup> R [W]	$\Delta P$ [%]
[]	Tag []	L [m]	Tipo cavo []									
	I3-5_9	68	AFG21M21-PV 1,8 kV 2x(1x6mm2)	20	1.164	17,0	22,5	23	11,4	0,98%	193,2	0,98%
	I3-5_10	68	AFG21M21-PV 1,8 kV 2x(1x6mm2)	20	1.164	17,0	22,5	23	11,4	0,98%	193,2	0,98%
	I3-5_11	24	AFG21M21-PV 1,8 kV 2x(1x6mm2)	20	1.164	17,0	22,5	23	4,0	0,34%	67,5	0,34%
	I3-5_12	24	AFG21M21-PV 1,8 kV 2x(1x6mm2)	20	1.164	17,0	22,5	23	4,0	0,34%	67,5	0,34%
	I3-5_13	23	AFG21M21-PV 1,8 kV 2x(1x6mm2)	20	1.164	17,0	22,5	23	3,8	0,33%	65,0	0,33%
	I3-5_14	23	AFG21M21-PV 1,8 kV 2x(1x6mm2)	20	1.164	17,0	22,5	23	3,8	0,33%	65,0	0,33%
	I3-5_15	33	AFG21M21-PV 1,8 kV 2x(1x6mm2)	20	1.164	17,0	22,5	23	5,5	0,47%	94,0	0,47%
	I3-5_16	33	AFG21M21-PV 1,8 kV 2x(1x6mm2)	20	1.164	17,0	22,5	23	5,5	0,47%	94,0	0,47%
<b>CA-I3-6</b>	-	<b>523</b>	-	-	-	-	-	-	<b>11,4</b>	<b>0,98%</b>	<b>1.478,7</b>	<b>0,47%</b>
	I3-6_1	68	AFG21M21-PV 1,8 kV 2x(1x6mm2)	20	1.164	17,0	22,5	23	11,4	0,98%	193,2	0,98%
	I3-6_2	68	AFG21M21-PV 1,8 kV 2x(1x6mm2)	20	1.164	17,0	22,5	23	11,4	0,98%	193,2	0,98%
	I3-6_3	23	AFG21M21-PV 1,8 kV 2x(1x6mm2)	20	1.164	17,0	22,5	23	3,9	0,33%	66,2	0,33%
	I3-6_4	23	AFG21M21-PV 1,8 kV 2x(1x6mm2)	20	1.164	17,0	22,5	23	3,9	0,33%	66,2	0,33%
	I3-6_5	48	AFG21M21-PV 1,8 kV 2x(1x6mm2)	20	1.164	17,0	22,5	23	8,0	0,69%	136,6	0,69%
	I3-6_6	48	AFG21M21-PV 1,8 kV 2x(1x6mm2)	20	1.164	17,0	22,5	23	8,0	0,69%	136,6	0,69%
	I3-6_7	3	AFG21M21-PV 1,8 kV 2x(1x6mm2)	20	1.164	17,0	22,5	23	0,5	0,05%	9,1	0,05%
	I3-6_8	3	AFG21M21-PV 1,8 kV 2x(1x6mm2)	20	1.164	17,0	22,5	23	0,5	0,05%	9,1	0,05%
	I3-6_9	3	AFG21M21-PV 1,8 kV 2x(1x6mm2)	20	1.164	17,0	22,5	23	0,5	0,04%	8,5	0,04%
	I3-6_10	3	AFG21M21-PV 1,8 kV 2x(1x6mm2)	20	1.164	17,0	22,5	23	0,5	0,04%	8,5	0,04%
	I3-6_11	68	AFG21M21-PV 1,8 kV 2x(1x6mm2)	20	1.164	17,0	22,5	23	11,4	0,98%	193,2	0,98%
	I3-6_12	68	AFG21M21-PV 1,8 kV 2x(1x6mm2)	20	1.164	17,0	22,5	23	11,4	0,98%	193,2	0,98%
	I3-6_13	24	AFG21M21-PV 1,8 kV 2x(1x6mm2)	20	1.164	17,0	22,5	23	4,0	0,34%	67,4	0,34%
	I3-6_14	24	AFG21M21-PV 1,8 kV 2x(1x6mm2)	20	1.164	17,0	22,5	23	4,0	0,34%	67,4	0,34%
	I3-6_15	23	AFG21M21-PV 1,8 kV 2x(1x6mm2)	20	1.164	17,0	22,5	23	3,8	0,33%	65,0	0,33%
	I3-6_16	23	AFG21M21-PV 1,8 kV 2x(1x6mm2)	20	1.164	17,0	22,5	23	3,8	0,33%	65,0	0,33%
<b>CA-I3-7</b>	-	<b>432</b>	-	-	-	-	-	-	<b>11,4</b>	<b>0,98%</b>	<b>1.222,2</b>	<b>0,39%</b>
	I3-7_1	68	AFG21M21-PV 1,8 kV 2x(1x6mm2)	20	1.164	17,0	22,5	23	11,4	0,98%	193,2	0,98%
	I3-7_2	68	AFG21M21-PV 1,8 kV 2x(1x6mm2)	20	1.164	17,0	22,5	23	11,4	0,98%	193,2	0,98%
	I3-7_3	23	AFG21M21-PV 1,8 kV 2x(1x6mm2)	20	1.164	17,0	22,5	23	3,9	0,33%	66,2	0,33%
	I3-7_4	23	AFG21M21-PV 1,8 kV 2x(1x6mm2)	20	1.164	17,0	22,5	23	3,9	0,33%	66,2	0,33%
	I3-7_5	23	AFG21M21-PV 1,8 kV 2x(1x6mm2)	20	1.164	17,0	22,5	23	3,8	0,33%	65,0	0,33%
	I3-7_6	23	AFG21M21-PV 1,8 kV 2x(1x6mm2)	20	1.164	17,0	22,5	23	3,8	0,33%	65,0	0,33%
	I3-7_7	48	AFG21M21-PV 1,8 kV 2x(1x6mm2)	20	1.164	17,0	22,5	23	8,0	0,69%	136,6	0,69%
	I3-7_8	48	AFG21M21-PV 1,8 kV 2x(1x6mm2)	20	1.164	17,0	22,5	23	8,0	0,69%	136,6	0,69%
	I3-7_9	3	AFG21M21-PV 1,8 kV 2x(1x6mm2)	20	1.164	17,0	22,5	23	0,5	0,05%	9,1	0,05%
	I3-7_10	3	AFG21M21-PV 1,8 kV 2x(1x6mm2)	20	1.164	17,0	22,5	23	0,5	0,05%	9,1	0,05%
	I3-7_11	3	AFG21M21-PV 1,8 kV 2x(1x6mm2)	20	1.164	17,0	22,5	23	0,5	0,04%	8,5	0,04%
	I3-7_12	3	AFG21M21-PV 1,8 kV 2x(1x6mm2)	20	1.164	17,0	22,5	23	0,5	0,04%	8,5	0,04%
	I3-7_13	24	AFG21M21-PV 1,8 kV 2x(1x6mm2)	20	1.164	17,0	22,5	23	4,0	0,34%	67,4	0,34%
	I3-7_14	24	AFG21M21-PV 1,8 kV 2x(1x6mm2)	20	1.164	17,0	22,5	23	4,0	0,34%	67,4	0,34%
	I3-7_15	23	AFG21M21-PV 1,8 kV 2x(1x6mm2)	20	1.164	17,0	22,5	23	3,8	0,33%	65,0	0,33%
	I3-7_16	23	AFG21M21-PV 1,8 kV 2x(1x6mm2)	20	1.164	17,0	22,5	23	3,8	0,33%	65,0	0,33%
<b>CA-I3-8</b>	-	<b>367</b>	-	-	-	-	-	-	<b>5,7</b>	<b>0,49%</b>	<b>1.037,3</b>	<b>0,31%</b>
	I3-8_1	34	AFG21M21-PV 1,8 kV 2x(1x6mm2)	20	1.164	17,0	22,5	23	5,6	0,48%	95,2	0,48%
	I3-8_2	34	AFG21M21-PV 1,8 kV 2x(1x6mm2)	20	1.164	17,0	22,5	23	5,6	0,48%	95,2	0,48%
	I3-8_3	33	AFG21M21-PV 1,8 kV 2x(1x6mm2)	20	1.164	17,0	22,5	23	5,5	0,47%	94,0	0,47%
	I3-8_4	33	AFG21M21-PV 1,8 kV 2x(1x6mm2)	20	1.164	17,0	22,5	23	5,5	0,47%	94,0	0,47%

Descrizione	Sigla Linea Stringa	Lunghezza del tratto	Tipo di cavo	Potenza	Tensione	Corrente impiego	Corrente impiego (IEC)	Portata effettiva del cavo	Caduta di tensione	Caduta di tensione percentuale	Perdite resistive	Perdite percentuali
[]	Tag []	L [m]	Tipo cavo []	P [kW]	V [V]	I [A]	I [A]	[A]	$\Delta V$ [V]	$\Delta V$ [%]	I <sup>2</sup> R [W]	$\Delta P$ [%]
	I3-8_5	23	AFG21M21-PV 1,8 kV 2x(1x6mm2)	20	1.164	17,0	22,5	23	3,9	0,33%	66,2	0,33%
	I3-8_6	23	AFG21M21-PV 1,8 kV 2x(1x6mm2)	20	1.164	17,0	22,5	23	3,9	0,33%	66,2	0,33%
	I3-8_7	23	AFG21M21-PV 1,8 kV 2x(1x6mm2)	20	1.164	17,0	22,5	23	3,8	0,33%	65,0	0,33%
	I3-8_8	23	AFG21M21-PV 1,8 kV 2x(1x6mm2)	20	1.164	17,0	22,5	23	3,8	0,33%	65,0	0,33%
	I3-8_9	3	AFG21M21-PV 1,8 kV 2x(1x6mm2)	20	1.164	17,0	22,5	23	0,5	0,05%	9,1	0,05%
	I3-8_10	3	AFG21M21-PV 1,8 kV 2x(1x6mm2)	20	1.164	17,0	22,5	23	0,5	0,05%	9,1	0,05%
	I3-8_11	3	AFG21M21-PV 1,8 kV 2x(1x6mm2)	20	1.164	17,0	22,5	23	0,5	0,04%	8,5	0,04%
	I3-8_12	3	AFG21M21-PV 1,8 kV 2x(1x6mm2)	20	1.164	17,0	22,5	23	0,5	0,04%	8,5	0,04%
	I3-8_13	24	AFG21M21-PV 1,8 kV 2x(1x6mm2)	20	1.164	17,0	22,5	23	4,0	0,34%	67,4	0,34%
	I3-8_14	24	AFG21M21-PV 1,8 kV 2x(1x6mm2)	20	1.164	17,0	22,5	23	4,0	0,34%	67,4	0,34%
	I3-8_15	23	AFG21M21-PV 1,8 kV 2x(1x6mm2)	20	1.164	17,0	22,5	23	3,8	0,33%	65,1	0,33%
	I3-8_16	23	AFG21M21-PV 1,8 kV 2x(1x6mm2)	20	1.164	17,0	22,5	23	3,8	0,33%	65,1	0,33%
	I3-8_17	34	AFG21M21-PV 1,8 kV 2x(1x6mm2)	20	1.164	17,0	22,5	23	5,7	0,49%	96,4	0,49%
<b>CA-I3-9</b>	-	<b>367</b>	-	-	-	-	-	-	<b>5,7</b>	<b>0,49%</b>	<b>1.037,5</b>	<b>0,31%</b>
	I3-9_1	34	AFG21M21-PV 1,8 kV 2x(1x6mm2)	20	1.164	17,0	22,5	23	5,6	0,48%	95,0	0,48%
	I3-9_2	33	AFG21M21-PV 1,8 kV 2x(1x6mm2)	20	1.164	17,0	22,5	23	5,5	0,47%	94,0	0,47%
	I3-9_3	33	AFG21M21-PV 1,8 kV 2x(1x6mm2)	20	1.164	17,0	22,5	23	5,5	0,47%	94,0	0,47%
	I3-9_4	23	AFG21M21-PV 1,8 kV 2x(1x6mm2)	20	1.164	17,0	22,5	23	3,9	0,33%	66,1	0,33%
	I3-9_5	23	AFG21M21-PV 1,8 kV 2x(1x6mm2)	20	1.164	17,0	22,5	23	3,9	0,33%	66,1	0,33%
	I3-9_6	23	AFG21M21-PV 1,8 kV 2x(1x6mm2)	20	1.164	17,0	22,5	23	3,8	0,33%	65,0	0,33%
	I3-9_7	23	AFG21M21-PV 1,8 kV 2x(1x6mm2)	20	1.164	17,0	22,5	23	3,8	0,33%	65,0	0,33%
	I3-9_8	3	AFG21M21-PV 1,8 kV 2x(1x6mm2)	20	1.164	17,0	22,5	23	0,5	0,05%	9,1	0,05%
	I3-9_9	3	AFG21M21-PV 1,8 kV 2x(1x6mm2)	20	1.164	17,0	22,5	23	0,5	0,05%	9,1	0,05%
	I3-9_10	3	AFG21M21-PV 1,8 kV 2x(1x6mm2)	20	1.164	17,0	22,5	23	0,5	0,04%	8,5	0,04%
	I3-9_11	3	AFG21M21-PV 1,8 kV 2x(1x6mm2)	20	1.164	17,0	22,5	23	0,5	0,04%	8,5	0,04%
	I3-9_12	24	AFG21M21-PV 1,8 kV 2x(1x6mm2)	20	1.164	17,0	22,5	23	4,0	0,34%	67,3	0,34%
	I3-9_13	24	AFG21M21-PV 1,8 kV 2x(1x6mm2)	20	1.164	17,0	22,5	23	4,0	0,34%	67,3	0,34%
	I3-9_14	23	AFG21M21-PV 1,8 kV 2x(1x6mm2)	20	1.164	17,0	22,5	23	3,8	0,33%	65,0	0,33%
	I3-9_15	23	AFG21M21-PV 1,8 kV 2x(1x6mm2)	20	1.164	17,0	22,5	23	3,8	0,33%	65,0	0,33%
	I3-9_16	34	AFG21M21-PV 1,8 kV 2x(1x6mm2)	20	1.164	17,0	22,5	23	5,7	0,49%	96,2	0,49%
	I3-9_17	34	AFG21M21-PV 1,8 kV 2x(1x6mm2)	20	1.164	17,0	22,5	23	5,7	0,49%	96,2	0,49%
<b>CA-CABIN 4</b>		<b>3.830</b>	-						<b>14,8</b>	<b>1,27%</b>	<b>10.837,4</b>	<b>0,37%</b>
<b>Route String - Inverter CA-I4-1</b>			-						-	-	-	-
<b>CA-I4-1</b>		<b>541</b>	-						<b>13,1</b>	<b>1,12%</b>	<b>1.531,5</b>	<b>0,48%</b>
	I4-1_1	78	AFG21M21-PV 1,8 kV 2x(1x6mm2)	20	1.164	17,0	22,5	23	13,1	1,12%	222,1	1,12%
	I4-1_2	78	AFG21M21-PV 1,8 kV 2x(1x6mm2)	20	1.164	17,0	22,5	23	13,1	1,12%	222,1	1,12%
	I4-1_3	68	AFG21M21-PV 1,8 kV 2x(1x6mm2)	20	1.164	17,0	22,5	23	11,4	0,98%	193,2	0,98%
	I4-1_4	68	AFG21M21-PV 1,8 kV 2x(1x6mm2)	20	1.164	17,0	22,5	23	11,4	0,98%	193,2	0,98%
	I4-1_5	23	AFG21M21-PV 1,8 kV 2x(1x6mm2)	20	1.164	17,0	22,5	23	3,9	0,33%	66,1	0,33%
	I4-1_6	23	AFG21M21-PV 1,8 kV 2x(1x6mm2)	20	1.164	17,0	22,5	23	3,9	0,33%	66,1	0,33%
	I4-1_7	23	AFG21M21-PV 1,8 kV 2x(1x6mm2)	20	1.164	17,0	22,5	23	3,8	0,33%	65,0	0,33%
	I4-1_8	23	AFG21M21-PV 1,8 kV 2x(1x6mm2)	20	1.164	17,0	22,5	23	3,8	0,33%	65,0	0,33%
	I4-1_9	48	AFG21M21-PV 1,8 kV 2x(1x6mm2)	20	1.164	17,0	22,5	23	8,0	0,69%	136,6	0,69%
	I4-1_10	48	AFG21M21-PV 1,8 kV 2x(1x6mm2)	20	1.164	17,0	22,5	23	8,0	0,69%	136,6	0,69%
	I4-1_11	3	AFG21M21-PV 1,8 kV 2x(1x6mm2)	20	1.164	17,0	22,5	23	0,5	0,05%	9,1	0,05%
	I4-1_12	3	AFG21M21-PV 1,8 kV 2x(1x6mm2)	20	1.164	17,0	22,5	23	0,5	0,05%	9,1	0,05%
	I4-1_13	3	AFG21M21-PV 1,8 kV 2x(1x6mm2)	20	1.164	17,0	22,5	23	0,5	0,04%	8,5	0,04%
	I4-1_14	3	AFG21M21-PV 1,8 kV 2x(1x6mm2)	20	1.164	17,0	22,5	23	0,5	0,04%	8,5	0,04%

Descrizione	Sigla Linea Stringa	Lunghezza del tratto	Tipo di cavo	Potenza	Tensione	Corrente impiego	Corrente impiego (IEC)	Portata effettiva del cavo	Caduta di tensione	Caduta di tensione percentuale	Perdite resistive	Perdite percentuali
[]	Tag []	L [m]	Tipo cavo []	P [kW]	V [V]	I [A]	I [A]	[A]	$\Delta V$ [V]	$\Delta V$ [%]	I <sup>2</sup> R [W]	$\Delta P$ [%]
	I4-1_15	23	AFG21M21-PV 1,8 kV 2x(1x6mm2)	20	1.164	17,0	22,5	23	3,8	0,33%	65,0	0,33%
	I4-1_16	23	AFG21M21-PV 1,8 kV 2x(1x6mm2)	20	1.164	17,0	22,5	23	3,8	0,33%	65,0	0,33%
<b>CA-I4-2</b>	-	<b>522</b>	-	-	-	-	-	-	<b>11,4</b>	<b>0,98%</b>	<b>1.478,1</b>	<b>0,47%</b>
	I4-2_1	68	AFG21M21-PV 1,8 kV 2x(1x6mm2)	20	1.164	17,0	22,5	23	11,4	0,98%	193,2	0,98%
	I4-2_2	68	AFG21M21-PV 1,8 kV 2x(1x6mm2)	20	1.164	17,0	22,5	23	11,4	0,98%	193,2	0,98%
	I4-2_3	23	AFG21M21-PV 1,8 kV 2x(1x6mm2)	20	1.164	17,0	22,5	23	3,9	0,33%	66,1	0,33%
	I4-2_4	23	AFG21M21-PV 1,8 kV 2x(1x6mm2)	20	1.164	17,0	22,5	23	3,9	0,33%	66,1	0,33%
	I4-2_5	48	AFG21M21-PV 1,8 kV 2x(1x6mm2)	20	1.164	17,0	22,5	23	8,0	0,69%	136,6	0,69%
	I4-2_6	48	AFG21M21-PV 1,8 kV 2x(1x6mm2)	20	1.164	17,0	22,5	23	8,0	0,69%	136,6	0,69%
	I4-2_7	3	AFG21M21-PV 1,8 kV 2x(1x6mm2)	20	1.164	17,0	22,5	23	0,5	0,05%	9,1	0,05%
	I4-2_8	3	AFG21M21-PV 1,8 kV 2x(1x6mm2)	20	1.164	17,0	22,5	23	0,5	0,05%	9,1	0,05%
	I4-2_9	3	AFG21M21-PV 1,8 kV 2x(1x6mm2)	20	1.164	17,0	22,5	23	0,5	0,04%	8,5	0,04%
	I4-2_10	3	AFG21M21-PV 1,8 kV 2x(1x6mm2)	20	1.164	17,0	22,5	23	0,5	0,04%	8,5	0,04%
	I4-2_11	68	AFG21M21-PV 1,8 kV 2x(1x6mm2)	20	1.164	17,0	22,5	23	11,4	0,98%	193,2	0,98%
	I4-2_12	68	AFG21M21-PV 1,8 kV 2x(1x6mm2)	20	1.164	17,0	22,5	23	11,4	0,98%	193,2	0,98%
	I4-2_13	24	AFG21M21-PV 1,8 kV 2x(1x6mm2)	20	1.164	17,0	22,5	23	4,0	0,34%	67,3	0,34%
	I4-2_14	24	AFG21M21-PV 1,8 kV 2x(1x6mm2)	20	1.164	17,0	22,5	23	4,0	0,34%	67,3	0,34%
	I4-2_15	23	AFG21M21-PV 1,8 kV 2x(1x6mm2)	20	1.164	17,0	22,5	23	3,8	0,33%	65,0	0,33%
	I4-2_16	23	AFG21M21-PV 1,8 kV 2x(1x6mm2)	20	1.164	17,0	22,5	23	3,8	0,33%	65,0	0,33%
<b>CA-I4-3</b>	-	<b>459</b>	-	-	-	-	-	-	<b>12,9</b>	<b>1,11%</b>	<b>1.299,0</b>	<b>0,41%</b>
	I4-3_1	68	AFG21M21-PV 1,8 kV 2x(1x6mm2)	20	1.164	17,0	22,5	23	11,2	0,97%	191,1	0,97%
	I4-3_2	23	AFG21M21-PV 1,8 kV 2x(1x6mm2)	20	1.164	17,0	22,5	23	3,9	0,33%	66,1	0,33%
	I4-3_3	23	AFG21M21-PV 1,8 kV 2x(1x6mm2)	20	1.164	17,0	22,5	23	3,9	0,33%	66,1	0,33%
	I4-3_4	23	AFG21M21-PV 1,8 kV 2x(1x6mm2)	20	1.164	17,0	22,5	23	3,8	0,33%	65,0	0,33%
	I4-3_5	23	AFG21M21-PV 1,8 kV 2x(1x6mm2)	20	1.164	17,0	22,5	23	3,8	0,33%	65,0	0,33%
	I4-3_6	48	AFG21M21-PV 1,8 kV 2x(1x6mm2)	20	1.164	17,0	22,5	23	7,9	0,68%	134,6	0,68%
	I4-3_7	3	AFG21M21-PV 1,8 kV 2x(1x6mm2)	20	1.164	17,0	22,5	23	0,5	0,05%	9,1	0,05%
	I4-3_8	3	AFG21M21-PV 1,8 kV 2x(1x6mm2)	20	1.164	17,0	22,5	23	0,5	0,05%	9,1	0,05%
	I4-3_9	3	AFG21M21-PV 1,8 kV 2x(1x6mm2)	20	1.164	17,0	22,5	23	0,5	0,04%	8,5	0,04%
	I4-3_10	3	AFG21M21-PV 1,8 kV 2x(1x6mm2)	20	1.164	17,0	22,5	23	0,5	0,04%	8,5	0,04%
	I4-3_11	68	AFG21M21-PV 1,8 kV 2x(1x6mm2)	20	1.164	17,0	22,5	23	11,2	0,97%	191,1	0,97%
	I4-3_12	24	AFG21M21-PV 1,8 kV 2x(1x6mm2)	20	1.164	17,0	22,5	23	4,0	0,34%	67,3	0,34%
	I4-3_13	24	AFG21M21-PV 1,8 kV 2x(1x6mm2)	20	1.164	17,0	22,5	23	4,0	0,34%	67,3	0,34%
	I4-3_14	23	AFG21M21-PV 1,8 kV 2x(1x6mm2)	20	1.164	17,0	22,5	23	3,8	0,33%	65,0	0,33%
	I4-3_15	23	AFG21M21-PV 1,8 kV 2x(1x6mm2)	20	1.164	17,0	22,5	23	3,8	0,33%	65,0	0,33%
	I4-3_16	78	AFG21M21-PV 1,8 kV 2x(1x6mm2)	20	1.164	17,0	22,5	23	12,9	1,11%	220,1	1,11%
<b>CA-I4-4</b>	-	<b>380</b>	-	-	-	-	-	-	<b>11,2</b>	<b>0,97%</b>	<b>1.075,6</b>	<b>0,34%</b>
	I4-4_1	23	AFG21M21-PV 1,8 kV 2x(1x6mm2)	20	1.164	17,0	22,5	23	3,9	0,33%	66,0	0,33%
	I4-4_2	23	AFG21M21-PV 1,8 kV 2x(1x6mm2)	20	1.164	17,0	22,5	23	3,9	0,33%	66,0	0,33%
	I4-4_3	23	AFG21M21-PV 1,8 kV 2x(1x6mm2)	20	1.164	17,0	22,5	23	3,8	0,33%	65,0	0,33%
	I4-4_4	23	AFG21M21-PV 1,8 kV 2x(1x6mm2)	20	1.164	17,0	22,5	23	3,8	0,33%	65,0	0,33%
	I4-4_5	48	AFG21M21-PV 1,8 kV 2x(1x6mm2)	20	1.164	17,0	22,5	23	7,9	0,68%	134,6	0,68%
	I4-4_6	3	AFG21M21-PV 1,8 kV 2x(1x6mm2)	20	1.164	17,0	22,5	23	0,5	0,05%	9,1	0,05%
	I4-4_7	3	AFG21M21-PV 1,8 kV 2x(1x6mm2)	20	1.164	17,0	22,5	23	0,5	0,05%	9,1	0,05%
	I4-4_8	3	AFG21M21-PV 1,8 kV 2x(1x6mm2)	20	1.164	17,0	22,5	23	0,5	0,04%	8,5	0,04%
	I4-4_9	3	AFG21M21-PV 1,8 kV 2x(1x6mm2)	20	1.164	17,0	22,5	23	0,5	0,04%	8,5	0,04%
	I4-4_10	68	AFG21M21-PV 1,8 kV 2x(1x6mm2)	20	1.164	17,0	22,5	23	11,2	0,97%	191,1	0,97%

Descrizione	Sigla Linea Stringa	Lunghezza del tratto	Tipo di cavo	Potenza	Tensione	Corrente impiego	Corrente impiego (IEC)	Portata effettiva del cavo	Caduta di tensione	Caduta di tensione percentuale	Perdite resistive	Perdite percentuali
[]	Tag []	L [m]	Tipo cavo []	P [kW]	V [V]	I [A]	I [A]	[A]	$\Delta V$ [V]	$\Delta V$ [%]	$I^2R$ [W]	$\Delta P$ [%]
	I4-4_11	24	AFG21M21-PV 1,8 kV 2x(1x6mm2)	20	1.164	17,0	22,5	23	4,0	0,34%	67,3	0,34%
	I4-4_12	24	AFG21M21-PV 1,8 kV 2x(1x6mm2)	20	1.164	17,0	22,5	23	4,0	0,34%	67,3	0,34%
	I4-4_13	23	AFG21M21-PV 1,8 kV 2x(1x6mm2)	20	1.164	17,0	22,5	23	3,8	0,33%	65,0	0,33%
	I4-4_14	23	AFG21M21-PV 1,8 kV 2x(1x6mm2)	20	1.164	17,0	22,5	23	3,8	0,33%	65,0	0,33%
	I4-4_15	33	AFG21M21-PV 1,8 kV 2x(1x6mm2)	20	1.164	17,0	22,5	23	5,5	0,47%	94,0	0,47%
	I4-4_16	33	AFG21M21-PV 1,8 kV 2x(1x6mm2)	20	1.164	17,0	22,5	23	5,5	0,47%	94,0	0,47%
<b>CA-I4-5</b>	-	<b>436</b>	-	-	-	-	-	-	<b>11,2</b>	<b>0,97%</b>	<b>1.234,7</b>	<b>0,39%</b>
	I4-5_1	68	AFG21M21-PV 1,8 kV 2x(1x6mm2)	20	1.164	17,0	22,5	23	11,2	0,97%	191,1	0,97%
	I4-5_2	23	AFG21M21-PV 1,8 kV 2x(1x6mm2)	20	1.164	17,0	22,5	23	3,9	0,33%	66,0	0,33%
	I4-5_3	23	AFG21M21-PV 1,8 kV 2x(1x6mm2)	20	1.164	17,0	22,5	23	3,9	0,33%	66,0	0,33%
	I4-5_4	48	AFG21M21-PV 1,8 kV 2x(1x6mm2)	20	1.164	17,0	22,5	23	7,9	0,68%	134,6	0,68%
	I4-5_5	3	AFG21M21-PV 1,8 kV 2x(1x6mm2)	20	1.164	17,0	22,5	23	0,5	0,05%	9,1	0,05%
	I4-5_6	3	AFG21M21-PV 1,8 kV 2x(1x6mm2)	20	1.164	17,0	22,5	23	0,5	0,05%	9,1	0,05%
	I4-5_7	3	AFG21M21-PV 1,8 kV 2x(1x6mm2)	20	1.164	17,0	22,5	23	0,5	0,04%	8,5	0,04%
	I4-5_8	3	AFG21M21-PV 1,8 kV 2x(1x6mm2)	20	1.164	17,0	22,5	23	0,5	0,04%	8,5	0,04%
	I4-5_9	68	AFG21M21-PV 1,8 kV 2x(1x6mm2)	20	1.164	17,0	22,5	23	11,2	0,97%	191,1	0,97%
	I4-5_10	24	AFG21M21-PV 1,8 kV 2x(1x6mm2)	20	1.164	17,0	22,5	23	3,9	0,34%	67,2	0,34%
	I4-5_11	24	AFG21M21-PV 1,8 kV 2x(1x6mm2)	20	1.164	17,0	22,5	23	3,9	0,34%	67,2	0,34%
	I4-5_12	23	AFG21M21-PV 1,8 kV 2x(1x6mm2)	20	1.164	17,0	22,5	23	3,8	0,33%	65,1	0,33%
	I4-5_13	23	AFG21M21-PV 1,8 kV 2x(1x6mm2)	20	1.164	17,0	22,5	23	3,8	0,33%	65,1	0,33%
	I4-5_14	34	AFG21M21-PV 1,8 kV 2x(1x6mm2)	20	1.164	17,0	22,5	23	5,7	0,49%	96,1	0,49%
	I4-5_15	34	AFG21M21-PV 1,8 kV 2x(1x6mm2)	20	1.164	17,0	22,5	23	5,7	0,49%	96,1	0,49%
	I4-5_16	33	AFG21M21-PV 1,8 kV 2x(1x6mm2)	20	1.164	17,0	22,5	23	5,5	0,47%	94,0	0,47%
<b>CA-I4-6</b>	-	<b>331</b>	-	-	-	-	-	-	<b>5,5</b>	<b>0,47%</b>	<b>937,5</b>	<b>0,30%</b>
	I4-6_1	33	AFG21M21-PV 1,8 kV 2x(1x6mm2)	20	1.164	17,0	22,5	23	5,5	0,47%	94,0	0,47%
	I4-6_2	33	AFG21M21-PV 1,8 kV 2x(1x6mm2)	20	1.164	17,0	22,5	23	5,5	0,47%	94,0	0,47%
	I4-6_3	23	AFG21M21-PV 1,8 kV 2x(1x6mm2)	20	1.164	17,0	22,5	23	3,9	0,33%	66,0	0,33%
	I4-6_4	23	AFG21M21-PV 1,8 kV 2x(1x6mm2)	20	1.164	17,0	22,5	23	3,9	0,33%	66,0	0,33%
	I4-6_5	23	AFG21M21-PV 1,8 kV 2x(1x6mm2)	20	1.164	17,0	22,5	23	3,8	0,33%	65,0	0,33%
	I4-6_6	23	AFG21M21-PV 1,8 kV 2x(1x6mm2)	20	1.164	17,0	22,5	23	3,8	0,33%	65,0	0,33%
	I4-6_7	3	AFG21M21-PV 1,8 kV 2x(1x6mm2)	20	1.164	17,0	22,5	23	0,5	0,05%	9,1	0,05%
	I4-6_8	3	AFG21M21-PV 1,8 kV 2x(1x6mm2)	20	1.164	17,0	22,5	23	0,5	0,05%	9,1	0,05%
	I4-6_9	3	AFG21M21-PV 1,8 kV 2x(1x6mm2)	20	1.164	17,0	22,5	23	0,5	0,04%	8,5	0,04%
	I4-6_10	3	AFG21M21-PV 1,8 kV 2x(1x6mm2)	20	1.164	17,0	22,5	23	0,5	0,04%	8,5	0,04%
	I4-6_11	24	AFG21M21-PV 1,8 kV 2x(1x6mm2)	20	1.164	17,0	22,5	23	3,9	0,34%	67,2	0,34%
	I4-6_12	24	AFG21M21-PV 1,8 kV 2x(1x6mm2)	20	1.164	17,0	22,5	23	3,9	0,34%	67,2	0,34%
	I4-6_13	23	AFG21M21-PV 1,8 kV 2x(1x6mm2)	20	1.164	17,0	22,5	23	3,8	0,33%	65,0	0,33%
	I4-6_14	23	AFG21M21-PV 1,8 kV 2x(1x6mm2)	20	1.164	17,0	22,5	23	3,8	0,33%	65,0	0,33%
	I4-6_15	33	AFG21M21-PV 1,8 kV 2x(1x6mm2)	20	1.164	17,0	22,5	23	5,5	0,47%	94,0	0,47%
	I4-6_16	33	AFG21M21-PV 1,8 kV 2x(1x6mm2)	20	1.164	17,0	22,5	23	5,5	0,47%	94,0	0,47%
<b>CA-I4-7</b>	-	<b>366</b>	-	-	-	-	-	-	<b>5,6</b>	<b>0,49%</b>	<b>1.035,2</b>	<b>0,31%</b>
	I4-7_1	34	AFG21M21-PV 1,8 kV 2x(1x6mm2)	20	1.164	17,0	22,5	23	5,6	0,48%	94,8	0,48%
	I4-7_2	34	AFG21M21-PV 1,8 kV 2x(1x6mm2)	20	1.164	17,0	22,5	23	5,6	0,48%	94,8	0,48%
	I4-7_3	23	AFG21M21-PV 1,8 kV 2x(1x6mm2)	20	1.164	17,0	22,5	23	3,9	0,33%	65,9	0,33%
	I4-7_4	23	AFG21M21-PV 1,8 kV 2x(1x6mm2)	20	1.164	17,0	22,5	23	3,9	0,33%	65,9	0,33%
	I4-7_5	23	AFG21M21-PV 1,8 kV 2x(1x6mm2)	20	1.164	17,0	22,5	23	3,8	0,33%	65,0	0,33%
	I4-7_6	23	AFG21M21-PV 1,8 kV 2x(1x6mm2)	20	1.164	17,0	22,5	23	3,8	0,33%	65,0	0,33%

Descrizione	Sigla Linea Stringa	Lunghezza del tratto	Tipo di cavo	Potenza	Tensione	Corrente impiego	Corrente impiego (IEC)	Portata effettiva del cavo	Caduta di tensione	Caduta di tensione percentuale	Perdite resistive	Perdite percentuali
[]	Tag []	L [m]	Tipo cavo []	P [kW]	V [V]	I [A]	I [A]	[A]	$\Delta V$ [V]	$\Delta V$ [%]	I <sup>2</sup> R [W]	$\Delta P$ [%]
	I4-7_7	3	AFG21M21-PV 1,8 kV 2x(1x6mm2)	20	1.164	17,0	22,5	23	0,5	0,05%	9,1	0,05%
	I4-7_8	3	AFG21M21-PV 1,8 kV 2x(1x6mm2)	20	1.164	17,0	22,5	23	0,5	0,05%	9,1	0,05%
	I4-7_9	3	AFG21M21-PV 1,8 kV 2x(1x6mm2)	20	1.164	17,0	22,5	23	0,5	0,04%	8,5	0,04%
	I4-7_10	3	AFG21M21-PV 1,8 kV 2x(1x6mm2)	20	1.164	17,0	22,5	23	0,5	0,04%	8,5	0,04%
	I4-7_11	24	AFG21M21-PV 1,8 kV 2x(1x6mm2)	20	1.164	17,0	22,5	23	3,9	0,34%	67,1	0,34%
	I4-7_12	24	AFG21M21-PV 1,8 kV 2x(1x6mm2)	20	1.164	17,0	22,5	23	3,9	0,34%	67,1	0,34%
	I4-7_13	23	AFG21M21-PV 1,8 kV 2x(1x6mm2)	20	1.164	17,0	22,5	23	3,8	0,33%	65,0	0,33%
	I4-7_14	23	AFG21M21-PV 1,8 kV 2x(1x6mm2)	20	1.164	17,0	22,5	23	3,8	0,33%	65,0	0,33%
	I4-7_15	34	AFG21M21-PV 1,8 kV 2x(1x6mm2)	20	1.164	17,0	22,5	23	5,6	0,49%	96,1	0,49%
	I4-7_16	33	AFG21M21-PV 1,8 kV 2x(1x6mm2)	20	1.164	17,0	22,5	23	5,5	0,47%	94,0	0,47%
	I4-7_17	33	AFG21M21-PV 1,8 kV 2x(1x6mm2)	20	1.164	17,0	22,5	23	5,5	0,47%	94,0	0,47%
<b>CA-14-8</b>	-	<b>366</b>	-	-	-	-	-	-	<b>5,6</b>	<b>0,48%</b>	<b>1.035,6</b>	<b>0,31%</b>
	I4-8_1	33	AFG21M21-PV 1,8 kV 2x(1x6mm2)	20	1.164	17,0	22,5	23	5,6	0,48%	94,8	0,48%
	I4-8_2	23	AFG21M21-PV 1,8 kV 2x(1x6mm2)	20	1.164	17,0	22,5	23	3,9	0,33%	65,8	0,33%
	I4-8_3	23	AFG21M21-PV 1,8 kV 2x(1x6mm2)	20	1.164	17,0	22,5	23	3,9	0,33%	65,8	0,33%
	I4-8_4	23	AFG21M21-PV 1,8 kV 2x(1x6mm2)	20	1.164	17,0	22,5	23	3,8	0,33%	65,0	0,33%
	I4-8_5	23	AFG21M21-PV 1,8 kV 2x(1x6mm2)	20	1.164	17,0	22,5	23	3,8	0,33%	65,0	0,33%
	I4-8_6	3	AFG21M21-PV 1,8 kV 2x(1x6mm2)	20	1.164	17,0	22,5	23	0,5	0,05%	9,1	0,05%
	I4-8_7	3	AFG21M21-PV 1,8 kV 2x(1x6mm2)	20	1.164	17,0	22,5	23	0,5	0,05%	9,1	0,05%
	I4-8_8	3	AFG21M21-PV 1,8 kV 2x(1x6mm2)	20	1.164	17,0	22,5	23	0,5	0,04%	8,5	0,04%
	I4-8_9	3	AFG21M21-PV 1,8 kV 2x(1x6mm2)	20	1.164	17,0	22,5	23	0,5	0,04%	8,5	0,04%
	I4-8_10	24	AFG21M21-PV 1,8 kV 2x(1x6mm2)	20	1.164	17,0	22,5	23	3,9	0,34%	67,0	0,34%
	I4-8_11	24	AFG21M21-PV 1,8 kV 2x(1x6mm2)	20	1.164	17,0	22,5	23	3,9	0,34%	67,0	0,34%
	I4-8_12	23	AFG21M21-PV 1,8 kV 2x(1x6mm2)	20	1.164	17,0	22,5	23	3,8	0,33%	65,1	0,33%
	I4-8_13	23	AFG21M21-PV 1,8 kV 2x(1x6mm2)	20	1.164	17,0	22,5	23	3,8	0,33%	65,1	0,33%
	I4-8_14	34	AFG21M21-PV 1,8 kV 2x(1x6mm2)	20	1.164	17,0	22,5	23	5,6	0,48%	95,9	0,48%
	I4-8_15	34	AFG21M21-PV 1,8 kV 2x(1x6mm2)	20	1.164	17,0	22,5	23	5,6	0,48%	95,9	0,48%
	I4-8_16	33	AFG21M21-PV 1,8 kV 2x(1x6mm2)	20	1.164	17,0	22,5	23	5,5	0,47%	94,0	0,47%
	I4-8_17	33	AFG21M21-PV 1,8 kV 2x(1x6mm2)	20	1.164	17,0	22,5	23	5,5	0,47%	94,0	0,47%
<b>CA-14-9</b>	-	<b>428</b>	-	-	-	-	-	-	<b>14,8</b>	<b>1,27%</b>	<b>1.210,1</b>	<b>0,36%</b>
	I4-9_1	89	AFG21M21-PV 1,8 kV 2x(1x6mm2)	20	1.164	17,0	22,5	23	14,8	1,27%	251,0	1,27%
	I4-9_2	24	AFG21M21-PV 1,8 kV 2x(1x6mm2)	20	1.164	17,0	22,5	23	4,0	0,34%	67,2	0,34%
	I4-9_3	24	AFG21M21-PV 1,8 kV 2x(1x6mm2)	20	1.164	17,0	22,5	23	4,0	0,34%	67,2	0,34%
	I4-9_4	24	AFG21M21-PV 1,8 kV 2x(1x6mm2)	20	1.164	17,0	22,5	23	3,9	0,34%	66,6	0,34%
	I4-9_5	24	AFG21M21-PV 1,8 kV 2x(1x6mm2)	20	1.164	17,0	22,5	23	3,9	0,34%	66,6	0,34%
	I4-9_6	3	AFG21M21-PV 1,8 kV 2x(1x6mm2)	20	1.164	17,0	22,5	23	0,4	0,04%	7,5	0,04%
	I4-9_7	3	AFG21M21-PV 1,8 kV 2x(1x6mm2)	20	1.164	17,0	22,5	23	0,4	0,04%	7,5	0,04%
	I4-9_8	4	AFG21M21-PV 1,8 kV 2x(1x6mm2)	20	1.164	17,0	22,5	23	0,6	0,05%	10,0	0,05%
	I4-9_9	4	AFG21M21-PV 1,8 kV 2x(1x6mm2)	20	1.164	17,0	22,5	23	0,6	0,05%	10,0	0,05%
	I4-9_10	24	AFG21M21-PV 1,8 kV 2x(1x6mm2)	20	1.164	17,0	22,5	23	4,0	0,35%	68,5	0,35%
	I4-9_11	24	AFG21M21-PV 1,8 kV 2x(1x6mm2)	20	1.164	17,0	22,5	23	4,0	0,35%	68,5	0,35%
	I4-9_12	24	AFG21M21-PV 1,8 kV 2x(1x6mm2)	20	1.164	17,0	22,5	23	3,9	0,34%	66,6	0,34%
	I4-9_13	24	AFG21M21-PV 1,8 kV 2x(1x6mm2)	20	1.164	17,0	22,5	23	3,9	0,34%	66,6	0,34%
	I4-9_14	34	AFG21M21-PV 1,8 kV 2x(1x6mm2)	20	1.164	17,0	22,5	23	5,7	0,49%	97,4	0,49%
	I4-9_15	34	AFG21M21-PV 1,8 kV 2x(1x6mm2)	20	1.164	17,0	22,5	23	5,7	0,49%	97,4	0,49%
	I4-9_16	34	AFG21M21-PV 1,8 kV 2x(1x6mm2)	20	1.164	17,0	22,5	23	5,6	0,48%	95,6	0,48%
	I4-9_17	34	AFG21M21-PV 1,8 kV 2x(1x6mm2)	20	1.164	17,0	22,5	23	5,6	0,48%	95,6	0,48%



Descrizione	Sigla Linea Stringa	Lunghezza del tratto	Tipo di cavo	Potenza	Tensione	Corrente impiego	Corrente impiego (IEC)	Portata effettiva del cavo	Caduta di tensione	Caduta di tensione percentuale	Perdite resistive	Perdite percentuali
[]	Tag []	L [m]	Tipo cavo []	P [kW]	V [V]	I [A]	I [A]	[A]	$\Delta V$ [V]	$\Delta V$ [%]	$I^2R$ [W]	$\Delta P$ [%]
<b>CA-CABIN 5</b>		<b>5.390</b>	-						<b>15,9</b>	<b>1,37%</b>	<b>14.192,7</b>	<b>0,49%</b>
Route String - Inverter CA-15-1			-	-	-	-	-	-	-	-	-	-
<b>CA-15-1</b>		<b>332</b>	-						<b>5,6</b>	<b>0,48%</b>	<b>940,5</b>	<b>0,30%</b>
I5-1_1	34	AFG21M21-PV 1,8 kV 2x(1x6mm2)	20	1.164	17,0	22,5	23	5,6	0,48%	95,1	0,48%	
I5-1_2	34	AFG21M21-PV 1,8 kV 2x(1x6mm2)	20	1.164	17,0	22,5	23	5,6	0,48%	95,1	0,48%	
I5-1_3	33	AFG21M21-PV 1,8 kV 2x(1x6mm2)	20	1.164	17,0	22,5	23	5,5	0,47%	94,0	0,47%	
I5-1_4	23	AFG21M21-PV 1,8 kV 2x(1x6mm2)	20	1.164	17,0	22,5	23	3,9	0,33%	66,1	0,33%	
I5-1_5	23	AFG21M21-PV 1,8 kV 2x(1x6mm2)	20	1.164	17,0	22,5	23	3,9	0,33%	66,1	0,33%	
I5-1_6	23	AFG21M21-PV 1,8 kV 2x(1x6mm2)	20	1.164	17,0	22,5	23	3,8	0,33%	65,0	0,33%	
I5-1_7	23	AFG21M21-PV 1,8 kV 2x(1x6mm2)	20	1.164	17,0	22,5	23	3,8	0,33%	65,0	0,33%	
I5-1_8	3	AFG21M21-PV 1,8 kV 2x(1x6mm2)	20	1.164	17,0	22,5	23	0,5	0,05%	9,1	0,05%	
I5-1_9	3	AFG21M21-PV 1,8 kV 2x(1x6mm2)	20	1.164	17,0	22,5	23	0,5	0,05%	9,1	0,05%	
I5-1_10	3	AFG21M21-PV 1,8 kV 2x(1x6mm2)	20	1.164	17,0	22,5	23	0,5	0,04%	8,5	0,04%	
I5-1_11	3	AFG21M21-PV 1,8 kV 2x(1x6mm2)	20	1.164	17,0	22,5	23	0,5	0,04%	8,5	0,04%	
I5-1_12	24	AFG21M21-PV 1,8 kV 2x(1x6mm2)	20	1.164	17,0	22,5	23	4,0	0,34%	67,4	0,34%	
I5-1_13	24	AFG21M21-PV 1,8 kV 2x(1x6mm2)	20	1.164	17,0	22,5	23	4,0	0,34%	67,4	0,34%	
I5-1_14	23	AFG21M21-PV 1,8 kV 2x(1x6mm2)	20	1.164	17,0	22,5	23	3,8	0,33%	65,0	0,33%	
I5-1_15	23	AFG21M21-PV 1,8 kV 2x(1x6mm2)	20	1.164	17,0	22,5	23	3,8	0,33%	65,0	0,33%	
I5-1_16	33	AFG21M21-PV 1,8 kV 2x(1x6mm2)	20	1.164	17,0	22,5	23	5,5	0,47%	94,0	0,47%	
<b>CA-15-2</b>		<b>332</b>	-						<b>5,6</b>	<b>0,48%</b>	<b>939,7</b>	<b>0,30%</b>
I5-2_1	34	AFG21M21-PV 1,8 kV 2x(1x6mm2)	20	1.164	17,0	22,5	23	5,6	0,48%	95,0	0,48%	
I5-2_2	34	AFG21M21-PV 1,8 kV 2x(1x6mm2)	20	1.164	17,0	22,5	23	5,6	0,48%	95,0	0,48%	
I5-2_3	33	AFG21M21-PV 1,8 kV 2x(1x6mm2)	20	1.164	17,0	22,5	23	5,5	0,47%	94,0	0,47%	
I5-2_4	23	AFG21M21-PV 1,8 kV 2x(1x6mm2)	20	1.164	17,0	22,5	23	3,9	0,33%	66,0	0,33%	
I5-2_5	23	AFG21M21-PV 1,8 kV 2x(1x6mm2)	20	1.164	17,0	22,5	23	3,9	0,33%	66,0	0,33%	
I5-2_6	23	AFG21M21-PV 1,8 kV 2x(1x6mm2)	20	1.164	17,0	22,5	23	3,8	0,33%	65,0	0,33%	
I5-2_7	23	AFG21M21-PV 1,8 kV 2x(1x6mm2)	20	1.164	17,0	22,5	23	3,8	0,33%	65,0	0,33%	
I5-2_8	3	AFG21M21-PV 1,8 kV 2x(1x6mm2)	20	1.164	17,0	22,5	23	0,5	0,05%	9,1	0,05%	
I5-2_9	3	AFG21M21-PV 1,8 kV 2x(1x6mm2)	20	1.164	17,0	22,5	23	0,5	0,05%	9,1	0,05%	
I5-2_10	3	AFG21M21-PV 1,8 kV 2x(1x6mm2)	20	1.164	17,0	22,5	23	0,5	0,04%	8,5	0,04%	
I5-2_11	3	AFG21M21-PV 1,8 kV 2x(1x6mm2)	20	1.164	17,0	22,5	23	0,5	0,04%	8,5	0,04%	
I5-2_12	24	AFG21M21-PV 1,8 kV 2x(1x6mm2)	20	1.164	17,0	22,5	23	4,0	0,34%	67,2	0,34%	
I5-2_13	24	AFG21M21-PV 1,8 kV 2x(1x6mm2)	20	1.164	17,0	22,5	23	4,0	0,34%	67,2	0,34%	
I5-2_14	23	AFG21M21-PV 1,8 kV 2x(1x6mm2)	20	1.164	17,0	22,5	23	3,8	0,33%	65,1	0,33%	
I5-2_15	23	AFG21M21-PV 1,8 kV 2x(1x6mm2)	20	1.164	17,0	22,5	23	3,8	0,33%	65,1	0,33%	
I5-2_16	33	AFG21M21-PV 1,8 kV 2x(1x6mm2)	20	1.164	17,0	22,5	23	5,5	0,47%	94,0	0,47%	
<b>CA-15-3</b>		<b>332</b>	-						<b>5,6</b>	<b>0,48%</b>	<b>939,2</b>	<b>0,30%</b>
I5-3_1	34	AFG21M21-PV 1,8 kV 2x(1x6mm2)	20	1.164	17,0	22,5	23	5,6	0,48%	94,9	0,48%	
I5-3_2	34	AFG21M21-PV 1,8 kV 2x(1x6mm2)	20	1.164	17,0	22,5	23	5,6	0,48%	94,9	0,48%	
I5-3_3	33	AFG21M21-PV 1,8 kV 2x(1x6mm2)	20	1.164	17,0	22,5	23	5,5	0,47%	94,0	0,47%	
I5-3_4	23	AFG21M21-PV 1,8 kV 2x(1x6mm2)	20	1.164	17,0	22,5	23	3,9	0,33%	65,9	0,33%	
I5-3_5	23	AFG21M21-PV 1,8 kV 2x(1x6mm2)	20	1.164	17,0	22,5	23	3,9	0,33%	65,9	0,33%	
I5-3_6	23	AFG21M21-PV 1,8 kV 2x(1x6mm2)	20	1.164	17,0	22,5	23	3,8	0,33%	65,0	0,33%	
I5-3_7	23	AFG21M21-PV 1,8 kV 2x(1x6mm2)	20	1.164	17,0	22,5	23	3,8	0,33%	65,0	0,33%	
I5-3_8	3	AFG21M21-PV 1,8 kV 2x(1x6mm2)	20	1.164	17,0	22,5	23	0,5	0,05%	9,1	0,05%	
I5-3_9	3	AFG21M21-PV 1,8 kV 2x(1x6mm2)	20	1.164	17,0	22,5	23	0,5	0,05%	9,1	0,05%	
I5-3_10	3	AFG21M21-PV 1,8 kV 2x(1x6mm2)	20	1.164	17,0	22,5	23	0,5	0,04%	8,5	0,04%	
I5-3_11	3	AFG21M21-PV 1,8 kV 2x(1x6mm2)	20	1.164	17,0	22,5	23	0,5	0,04%	8,5	0,04%	

Descrizione	Sigla Linea Stringa	Lunghezza del tratto	Tipo di cavo	Potenza	Tensione	Corrente impiego	Corrente impiego (IEC)	Portata effettiva del cavo	Caduta di tensione	Caduta di tensione percentuale	Perdite resistive	Perdite percentuali
[]	Tag []	L [m]	Tipo cavo []	P [kW]	V [V]	I [A]	I [A]	[A]	$\Delta V$ [V]	$\Delta V$ [%]	I <sup>2</sup> R [W]	$\Delta P$ [%]
	15-3_12	24	AFG21M21-PV 1,8 kV 2x(1x6mm2)	20	1.164	17,0	22,5	23	3,9	0,34%	67,2	0,34%
	15-3_13	24	AFG21M21-PV 1,8 kV 2x(1x6mm2)	20	1.164	17,0	22,5	23	3,9	0,34%	67,2	0,34%
	15-3_14	23	AFG21M21-PV 1,8 kV 2x(1x6mm2)	20	1.164	17,0	22,5	23	3,8	0,33%	65,1	0,33%
	15-3_15	23	AFG21M21-PV 1,8 kV 2x(1x6mm2)	20	1.164	17,0	22,5	23	3,8	0,33%	65,1	0,33%
	15-3_16	33	AFG21M21-PV 1,8 kV 2x(1x6mm2)	20	1.164	17,0	22,5	23	5,5	0,47%	94,0	0,47%
<b>CA-15-4</b>	-	<b>332</b>	-	-	-	-	-	-	<b>5,6</b>	<b>0,48%</b>	<b>938,5</b>	<b>0,30%</b>
	15-4_1	33	AFG21M21-PV 1,8 kV 2x(1x6mm2)	20	1.164	17,0	22,5	23	5,6	0,48%	94,8	0,48%
	15-4_2	33	AFG21M21-PV 1,8 kV 2x(1x6mm2)	20	1.164	17,0	22,5	23	5,6	0,48%	94,8	0,48%
	15-4_3	33	AFG21M21-PV 1,8 kV 2x(1x6mm2)	20	1.164	17,0	22,5	23	5,5	0,47%	94,0	0,47%
	15-4_4	23	AFG21M21-PV 1,8 kV 2x(1x6mm2)	20	1.164	17,0	22,5	23	3,9	0,33%	65,8	0,33%
	15-4_5	23	AFG21M21-PV 1,8 kV 2x(1x6mm2)	20	1.164	17,0	22,5	23	3,9	0,33%	65,8	0,33%
	15-4_6	23	AFG21M21-PV 1,8 kV 2x(1x6mm2)	20	1.164	17,0	22,5	23	3,8	0,33%	65,0	0,33%
	15-4_7	23	AFG21M21-PV 1,8 kV 2x(1x6mm2)	20	1.164	17,0	22,5	23	3,8	0,33%	65,0	0,33%
	15-4_8	3	AFG21M21-PV 1,8 kV 2x(1x6mm2)	20	1.164	17,0	22,5	23	0,5	0,05%	9,1	0,05%
	15-4_9	3	AFG21M21-PV 1,8 kV 2x(1x6mm2)	20	1.164	17,0	22,5	23	0,5	0,05%	9,1	0,05%
	15-4_10	3	AFG21M21-PV 1,8 kV 2x(1x6mm2)	20	1.164	17,0	22,5	23	0,5	0,04%	8,5	0,04%
	15-4_11	3	AFG21M21-PV 1,8 kV 2x(1x6mm2)	20	1.164	17,0	22,5	23	0,5	0,04%	8,5	0,04%
	15-4_12	24	AFG21M21-PV 1,8 kV 2x(1x6mm2)	20	1.164	17,0	22,5	23	3,9	0,34%	67,0	0,34%
	15-4_13	24	AFG21M21-PV 1,8 kV 2x(1x6mm2)	20	1.164	17,0	22,5	23	3,9	0,34%	67,0	0,34%
	15-4_14	23	AFG21M21-PV 1,8 kV 2x(1x6mm2)	20	1.164	17,0	22,5	23	3,8	0,33%	65,1	0,33%
	15-4_15	23	AFG21M21-PV 1,8 kV 2x(1x6mm2)	20	1.164	17,0	22,5	23	3,8	0,33%	65,1	0,33%
	15-4_16	33	AFG21M21-PV 1,8 kV 2x(1x6mm2)	20	1.164	17,0	22,5	23	5,5	0,47%	94,0	0,47%
<b>CA-15-5</b>	-	<b>338</b>	-	-	-	-	-	-	<b>5,7</b>	<b>0,49%</b>	<b>956,4</b>	<b>0,30%</b>
	15-5_1	34	AFG21M21-PV 1,8 kV 2x(1x6mm2)	20	1.164	17,0	22,5	23	5,7	0,49%	96,2	0,49%
	15-5_2	34	AFG21M21-PV 1,8 kV 2x(1x6mm2)	20	1.164	17,0	22,5	23	5,7	0,49%	96,2	0,49%
	15-5_3	34	AFG21M21-PV 1,8 kV 2x(1x6mm2)	20	1.164	17,0	22,5	23	5,6	0,48%	95,5	0,48%
	15-5_4	24	AFG21M21-PV 1,8 kV 2x(1x6mm2)	20	1.164	17,0	22,5	23	4,0	0,34%	67,2	0,34%
	15-5_5	24	AFG21M21-PV 1,8 kV 2x(1x6mm2)	20	1.164	17,0	22,5	23	4,0	0,34%	67,2	0,34%
	15-5_6	24	AFG21M21-PV 1,8 kV 2x(1x6mm2)	20	1.164	17,0	22,5	23	3,9	0,34%	66,6	0,34%
	15-5_7	24	AFG21M21-PV 1,8 kV 2x(1x6mm2)	20	1.164	17,0	22,5	23	3,9	0,34%	66,6	0,34%
	15-5_8	3	AFG21M21-PV 1,8 kV 2x(1x6mm2)	20	1.164	17,0	22,5	23	0,4	0,04%	7,5	0,04%
	15-5_9	3	AFG21M21-PV 1,8 kV 2x(1x6mm2)	20	1.164	17,0	22,5	23	0,4	0,04%	7,5	0,04%
	15-5_10	4	AFG21M21-PV 1,8 kV 2x(1x6mm2)	20	1.164	17,0	22,5	23	0,6	0,05%	10,0	0,05%
	15-5_11	4	AFG21M21-PV 1,8 kV 2x(1x6mm2)	20	1.164	17,0	22,5	23	0,6	0,05%	10,0	0,05%
	15-5_12	24	AFG21M21-PV 1,8 kV 2x(1x6mm2)	20	1.164	17,0	22,5	23	4,0	0,35%	68,5	0,35%
	15-5_13	24	AFG21M21-PV 1,8 kV 2x(1x6mm2)	20	1.164	17,0	22,5	23	4,0	0,35%	68,5	0,35%
	15-5_14	24	AFG21M21-PV 1,8 kV 2x(1x6mm2)	20	1.164	17,0	22,5	23	3,9	0,34%	66,6	0,34%
	15-5_15	24	AFG21M21-PV 1,8 kV 2x(1x6mm2)	20	1.164	17,0	22,5	23	3,9	0,34%	66,6	0,34%
	15-5_16	34	AFG21M21-PV 1,8 kV 2x(1x6mm2)	20	1.164	17,0	22,5	23	5,6	0,48%	95,6	0,48%
<b>CA-15-6</b>	-	<b>505</b>	-	-	-	-	-	-	<b>8,0</b>	<b>0,69%</b>	<b>1.428,9</b>	<b>0,45%</b>
	15-6_1	48	AFG21M21-PV 1,8 kV 2x(1x6mm2)	20	1.164	17,0	22,5	23	8,0	0,69%	136,5	0,69%
	15-6_2	48	AFG21M21-PV 1,8 kV 2x(1x6mm2)	20	1.164	17,0	22,5	23	8,0	0,69%	136,5	0,69%
	15-6_3	48	AFG21M21-PV 1,8 kV 2x(1x6mm2)	20	1.164	17,0	22,5	23	8,0	0,69%	135,9	0,69%
	15-6_4	38	AFG21M21-PV 1,8 kV 2x(1x6mm2)	20	1.164	17,0	22,5	23	6,3	0,54%	106,8	0,54%
	15-6_5	38	AFG21M21-PV 1,8 kV 2x(1x6mm2)	20	1.164	17,0	22,5	23	6,3	0,54%	106,8	0,54%
	15-6_6	38	AFG21M21-PV 1,8 kV 2x(1x6mm2)	20	1.164	17,0	22,5	23	6,3	0,54%	107,1	0,54%
	15-6_7	38	AFG21M21-PV 1,8 kV 2x(1x6mm2)	20	1.164	17,0	22,5	23	6,3	0,54%	107,1	0,54%

Descrizione	Sigla Linea Stringa	Lunghezza del tratto	Tipo di cavo	Potenza	Tensione	Corrente impiego	Corrente impiego (IEC)	Portata effettiva del cavo	Caduta di tensione	Caduta di tensione percentuale	Perdite resistive	Perdite percentuali
				P [kW]	V [V]	I [A]	I [A]		$\Delta V$ [V]	$\Delta V$ [%]		
[]	Tag []	L [m]	Tipo cavo []					[A]				
	15-6_8	3	AFG21M21-PV 1,8 kV 2x(1x6mm2)	20	1.164	17,0	22,5	23	0,4	0,04%	7,5	0,04%
	15-6_9	3	AFG21M21-PV 1,8 kV 2x(1x6mm2)	20	1.164	17,0	22,5	23	0,4	0,04%	7,5	0,04%
	15-6_10	4	AFG21M21-PV 1,8 kV 2x(1x6mm2)	20	1.164	17,0	22,5	23	0,6	0,05%	10,0	0,05%
	15-6_11	4	AFG21M21-PV 1,8 kV 2x(1x6mm2)	20	1.164	17,0	22,5	23	0,6	0,05%	10,0	0,05%
	15-6_12	37	AFG21M21-PV 1,8 kV 2x(1x6mm2)	20	1.164	17,0	22,5	23	6,2	0,53%	105,4	0,53%
	15-6_13	37	AFG21M21-PV 1,8 kV 2x(1x6mm2)	20	1.164	17,0	22,5	23	6,2	0,53%	105,4	0,53%
	15-6_14	37	AFG21M21-PV 1,8 kV 2x(1x6mm2)	20	1.164	17,0	22,5	23	6,2	0,53%	105,5	0,53%
	15-6_15	37	AFG21M21-PV 1,8 kV 2x(1x6mm2)	20	1.164	17,0	22,5	23	6,2	0,53%	105,5	0,53%
	15-6_16	48	AFG21M21-PV 1,8 kV 2x(1x6mm2)	20	1.164	17,0	22,5	23	7,9	0,68%	135,1	0,68%
<b>CA-15-7</b>	-	<b>999</b>	-	-	-	-	-	-	<b>15,8</b>	<b>1,35%</b>	<b>2.825,6</b>	<b>0,84%</b>
	15-7_1	95	AFG21M21-PV 1,8 kV 2x(1x6mm2)	20	1.164	17,0	22,5	23	15,8	1,35%	268,0	1,35%
	15-7_2	95	AFG21M21-PV 1,8 kV 2x(1x6mm2)	20	1.164	17,0	22,5	23	15,8	1,35%	268,0	1,35%
	15-7_3	55	AFG21M21-PV 1,8 kV 2x(1x6mm2)	20	1.164	17,0	22,5	23	9,2	0,79%	156,3	0,79%
	15-7_4	55	AFG21M21-PV 1,8 kV 2x(1x6mm2)	20	1.164	17,0	22,5	23	9,2	0,79%	156,3	0,79%
	15-7_5	84	AFG21M21-PV 1,8 kV 2x(1x6mm2)	20	1.164	17,0	22,5	23	14,1	1,21%	239,1	1,21%
	15-7_6	84	AFG21M21-PV 1,8 kV 2x(1x6mm2)	20	1.164	17,0	22,5	23	14,1	1,21%	239,1	1,21%
	15-7_7	45	AFG21M21-PV 1,8 kV 2x(1x6mm2)	20	1.164	17,0	22,5	23	7,5	0,64%	127,2	0,64%
	15-7_8	45	AFG21M21-PV 1,8 kV 2x(1x6mm2)	20	1.164	17,0	22,5	23	7,5	0,64%	127,2	0,64%
	15-7_9	85	AFG21M21-PV 1,8 kV 2x(1x6mm2)	20	1.164	17,0	22,5	23	14,2	1,22%	241,8	1,22%
	15-7_10	41	AFG21M21-PV 1,8 kV 2x(1x6mm2)	20	1.164	17,0	22,5	23	6,9	0,59%	117,3	0,59%
	15-7_11	41	AFG21M21-PV 1,8 kV 2x(1x6mm2)	20	1.164	17,0	22,5	23	6,9	0,59%	117,3	0,59%
	15-7_12	6	AFG21M21-PV 1,8 kV 2x(1x6mm2)	20	1.164	17,0	22,5	23	1,0	0,09%	17,2	0,09%
	15-7_13	6	AFG21M21-PV 1,8 kV 2x(1x6mm2)	20	1.164	17,0	22,5	23	1,0	0,09%	17,2	0,09%
	15-7_14	85	AFG21M21-PV 1,8 kV 2x(1x6mm2)	20	1.164	17,0	22,5	23	14,1	1,21%	239,1	1,21%
	15-7_15	85	AFG21M21-PV 1,8 kV 2x(1x6mm2)	20	1.164	17,0	22,5	23	14,1	1,21%	239,1	1,21%
	15-7_16	45	AFG21M21-PV 1,8 kV 2x(1x6mm2)	20	1.164	17,0	22,5	23	7,5	0,64%	127,6	0,64%
	15-7_17	45	AFG21M21-PV 1,8 kV 2x(1x6mm2)	20	1.164	17,0	22,5	23	7,5	0,64%	127,6	0,64%
<b>CA-15-8</b>	-	<b>1.133</b>	-	-	-	-	-	-	<b>15,9</b>	<b>1,37%</b>	<b>2.784,8</b>	<b>0,83%</b>
	15-8_1	96	AFG21M21-PV 1,8 kV 2x(1x6mm2)	20	1.164	17,0	22,5	23	15,9	1,37%	270,6	1,37%
	15-8_2	72	AFG21M21-PV 1,8 kV 2x(1x6mm2)	20	1.164	17,0	22,5	23	11,9	1,02%	202,9	1,02%
	15-8_3	72	AFG21M21-PV 1,8 kV 2x(1x6mm2)	20	1.164	17,0	22,5	23	11,9	1,02%	202,9	1,02%
	15-8_4	136	AFG21M21-PV 1,8 kV 2x(1x10mm2)	20	1.164	17,0	22,5	32	13,6	1,16%	230,6	1,16%
	15-8_5	92	AFG21M21-PV 1,8 kV 2x(1x6mm2)	20	1.164	17,0	22,5	23	15,4	1,32%	261,7	1,32%
	15-8_6	92	AFG21M21-PV 1,8 kV 2x(1x6mm2)	20	1.164	17,0	22,5	23	15,4	1,32%	261,7	1,32%
	15-8_7	47	AFG21M21-PV 1,8 kV 2x(1x6mm2)	20	1.164	17,0	22,5	23	7,9	0,68%	134,1	0,68%
	15-8_8	47	AFG21M21-PV 1,8 kV 2x(1x6mm2)	20	1.164	17,0	22,5	23	7,9	0,68%	134,1	0,68%
	15-8_9	3	AFG21M21-PV 1,8 kV 2x(1x6mm2)	20	1.164	17,0	22,5	23	0,4	0,04%	7,5	0,04%
	15-8_10	3	AFG21M21-PV 1,8 kV 2x(1x6mm2)	20	1.164	17,0	22,5	23	0,4	0,04%	7,5	0,04%
	15-8_11	117	AFG21M21-PV 1,8 kV 2x(1x10mm2)	20	1.164	17,0	22,5	32	11,6	1,00%	198,0	1,00%
	15-8_12	117	AFG21M21-PV 1,8 kV 2x(1x10mm2)	20	1.164	17,0	22,5	32	11,6	1,00%	198,0	1,00%
	15-8_13	72	AFG21M21-PV 1,8 kV 2x(1x6mm2)	20	1.164	17,0	22,5	23	12,0	1,03%	204,4	1,03%
	15-8_14	72	AFG21M21-PV 1,8 kV 2x(1x6mm2)	20	1.164	17,0	22,5	23	12,0	1,03%	204,4	1,03%
	15-8_15	28	AFG21M21-PV 1,8 kV 2x(1x6mm2)	20	1.164	17,0	22,5	23	4,7	0,40%	79,2	0,40%
	15-8_16	28	AFG21M21-PV 1,8 kV 2x(1x6mm2)	20	1.164	17,0	22,5	23	4,7	0,40%	79,2	0,40%
	15-8_17	38	AFG21M21-PV 1,8 kV 2x(1x6mm2)	20	1.164	17,0	22,5	23	6,3	0,54%	107,8	0,54%
<b>CA-15-9</b>	-	<b>1.087</b>	-	-	-	-	-	-	<b>12,4</b>	<b>1,07%</b>	<b>2.439,0</b>	<b>0,72%</b>
	15-9_1	110	AFG21M21-PV 1,8 kV 2x(1x10mm2)	20	1.164	17,0	22,5	32	11,0	0,94%	186,5	0,94%

Descrizione	Sigla Linea Stringa	Lunghezza del tratto	Tipo di cavo	Potenza	Tensione	Corrente impiego	Corrente impiego (IEC)	Portata effettiva del cavo	Caduta di tensione	Caduta di tensione percentuale	Perdite resistive	Perdite percentuali
				P [kW]	V [V]	I [A]	I [A]	[A]	$\Delta V$ [V]	$\Delta V$ [%]	I <sup>2</sup> R [W]	$\Delta P$ [%]
[]	Tag []	L [m]	Tipo cavo []									
	I5-9_2	110	AFG21M21-PV 1,8 kV 2x(1x10mm2)	20	1.164	17,0	22,5	32	11,0	0,94%	186,5	0,94%
	I5-9_3	110	AFG21M21-PV 1,8 kV 2x(1x10mm2)	20	1.164	17,0	22,5	32	10,9	0,94%	185,8	0,94%
	I5-9_4	110	AFG21M21-PV 1,8 kV 2x(1x10mm2)	20	1.164	17,0	22,5	32	10,9	0,94%	185,8	0,94%
	I5-9_5	61	AFG21M21-PV 1,8 kV 2x(1x6mm2)	20	1.164	17,0	22,5	23	10,2	0,87%	173,2	0,87%
	I5-9_6	119	AFG21M21-PV 1,8 kV 2x(1x10mm2)	20	1.164	17,0	22,5	32	11,8	1,02%	201,3	1,02%
	I5-9_7	75	AFG21M21-PV 1,8 kV 2x(1x6mm2)	20	1.164	17,0	22,5	23	12,4	1,07%	211,7	1,07%
	I5-9_8	75	AFG21M21-PV 1,8 kV 2x(1x6mm2)	20	1.164	17,0	22,5	23	12,4	1,07%	211,7	1,07%
	I5-9_9	37	AFG21M21-PV 1,8 kV 2x(1x6mm2)	20	1.164	17,0	22,5	23	6,1	0,53%	104,1	0,53%
	I5-9_10	37	AFG21M21-PV 1,8 kV 2x(1x6mm2)	20	1.164	17,0	22,5	23	6,1	0,53%	104,1	0,53%
	I5-9_11	47	AFG21M21-PV 1,8 kV 2x(1x6mm2)	20	1.164	17,0	22,5	23	7,9	0,68%	134,1	0,68%
	I5-9_12	47	AFG21M21-PV 1,8 kV 2x(1x6mm2)	20	1.164	17,0	22,5	23	7,9	0,68%	134,1	0,68%
	I5-9_13	3	AFG21M21-PV 1,8 kV 2x(1x6mm2)	20	1.164	17,0	22,5	23	0,4	0,04%	7,5	0,04%
	I5-9_14	3	AFG21M21-PV 1,8 kV 2x(1x6mm2)	20	1.164	17,0	22,5	23	0,4	0,04%	7,5	0,04%
	I5-9_15	40	AFG21M21-PV 1,8 kV 2x(1x6mm2)	20	1.164	17,0	22,5	23	6,6	0,57%	112,6	0,57%
	I5-9_16	40	AFG21M21-PV 1,8 kV 2x(1x6mm2)	20	1.164	17,0	22,5	23	6,6	0,57%	112,6	0,57%
	I5-9_17	64	AFG21M21-PV 1,8 kV 2x(1x6mm2)	20	1.164	17,0	22,5	23	10,6	0,91%	179,9	0,91%
<b>CA-CABIN 6</b>		<b>5.352</b>	-	-	-	-	-	-	<b>16,1</b>	<b>1,38%</b>	<b>14.459,5</b>	<b>0,59%</b>
<b>Route String - Inverter CA-I6-1</b>			-	-	-	-	-	-	-	-	-	-
<b>CA-I6-1</b>		<b>721</b>	-	-	-	-	-	-	<b>13,4</b>	<b>1,15%</b>	<b>2.041,0</b>	<b>0,64%</b>
	I6-1_1	81	AFG21M21-PV 1,8 kV 2x(1x6mm2)	20	1.164	17,0	22,5	23	13,4	1,15%	228,0	1,15%
	I6-1_2	57	AFG21M21-PV 1,8 kV 2x(1x6mm2)	20	1.164	17,0	22,5	23	9,5	0,81%	161,1	0,81%
	I6-1_3	57	AFG21M21-PV 1,8 kV 2x(1x6mm2)	20	1.164	17,0	22,5	23	9,5	0,81%	161,1	0,81%
	I6-1_4	52	AFG21M21-PV 1,8 kV 2x(1x6mm2)	20	1.164	17,0	22,5	23	8,7	0,75%	147,7	0,75%
	I6-1_5	55	AFG21M21-PV 1,8 kV 2x(1x6mm2)	20	1.164	17,0	22,5	23	9,1	0,78%	155,4	0,78%
	I6-1_6	55	AFG21M21-PV 1,8 kV 2x(1x6mm2)	20	1.164	17,0	22,5	23	9,1	0,78%	155,4	0,78%
	I6-1_7	3	AFG21M21-PV 1,8 kV 2x(1x6mm2)	20	1.164	17,0	22,5	23	0,5	0,04%	8,5	0,04%
	I6-1_8	3	AFG21M21-PV 1,8 kV 2x(1x6mm2)	20	1.164	17,0	22,5	23	0,5	0,04%	8,5	0,04%
	I6-1_9	48	AFG21M21-PV 1,8 kV 2x(1x6mm2)	20	1.164	17,0	22,5	23	7,9	0,68%	135,1	0,68%
	I6-1_10	48	AFG21M21-PV 1,8 kV 2x(1x6mm2)	20	1.164	17,0	22,5	23	7,9	0,68%	135,1	0,68%
	I6-1_11	26	AFG21M21-PV 1,8 kV 2x(1x6mm2)	20	1.164	17,0	22,5	23	4,3	0,37%	72,4	0,37%
	I6-1_12	26	AFG21M21-PV 1,8 kV 2x(1x6mm2)	20	1.164	17,0	22,5	23	4,3	0,37%	72,4	0,37%
	I6-1_13	70	AFG21M21-PV 1,8 kV 2x(1x6mm2)	20	1.164	17,0	22,5	23	11,7	1,01%	199,1	1,01%
	I6-1_14	70	AFG21M21-PV 1,8 kV 2x(1x6mm2)	20	1.164	17,0	22,5	23	11,7	1,01%	199,1	1,01%
	I6-1_15	36	AFG21M21-PV 1,8 kV 2x(1x6mm2)	20	1.164	17,0	22,5	23	5,9	0,51%	101,0	0,51%
	I6-1_16	36	AFG21M21-PV 1,8 kV 2x(1x6mm2)	20	1.164	17,0	22,5	23	5,9	0,51%	101,0	0,51%
<b>CA-I6-2</b>		<b>535</b>	-	-	-	-	-	-	<b>11,8</b>	<b>1,01%</b>	<b>1.514,7</b>	<b>0,48%</b>
	I6-2_1	25	AFG21M21-PV 1,8 kV 2x(1x6mm2)	20	1.164	17,0	22,5	23	4,2	0,36%	70,8	0,36%
	I6-2_2	25	AFG21M21-PV 1,8 kV 2x(1x6mm2)	20	1.164	17,0	22,5	23	4,2	0,36%	70,8	0,36%
	I6-2_3	71	AFG21M21-PV 1,8 kV 2x(1x6mm2)	20	1.164	17,0	22,5	23	11,8	1,01%	200,6	1,01%
	I6-2_4	71	AFG21M21-PV 1,8 kV 2x(1x6mm2)	20	1.164	17,0	22,5	23	11,8	1,01%	200,6	1,01%
	I6-2_5	3	AFG21M21-PV 1,8 kV 2x(1x6mm2)	20	1.164	17,0	22,5	23	0,5	0,05%	9,1	0,05%
	I6-2_6	3	AFG21M21-PV 1,8 kV 2x(1x6mm2)	20	1.164	17,0	22,5	23	0,5	0,05%	9,1	0,05%
	I6-2_7	3	AFG21M21-PV 1,8 kV 2x(1x6mm2)	20	1.164	17,0	22,5	23	0,5	0,04%	8,5	0,04%
	I6-2_8	3	AFG21M21-PV 1,8 kV 2x(1x6mm2)	20	1.164	17,0	22,5	23	0,5	0,04%	8,5	0,04%
	I6-2_9	48	AFG21M21-PV 1,8 kV 2x(1x6mm2)	20	1.164	17,0	22,5	23	8,0	0,69%	136,0	0,69%
	I6-2_10	48	AFG21M21-PV 1,8 kV 2x(1x6mm2)	20	1.164	17,0	22,5	23	8,0	0,69%	136,0	0,69%
	I6-2_11	25	AFG21M21-PV 1,8 kV 2x(1x6mm2)	20	1.164	17,0	22,5	23	4,1	0,35%	70,0	0,35%
	I6-2_12	25	AFG21M21-PV 1,8 kV 2x(1x6mm2)	20	1.164	17,0	22,5	23	4,1	0,35%	70,0	0,35%

Descrizione	Sigla Linea Stringa	Lunghezza del tratto	Tipo di cavo	Potenza	Tensione	Corrente impiego	Corrente impiego (IEC)	Portata effettiva del cavo	Caduta di tensione	Caduta di tensione percentuale	Perdite resistive	Perdite percentuali
[]	Tag []	L [m]	Tipo cavo []	P [kW]	V [V]	I [A]	I [A]	[A]	$\Delta V$ [V]	$\Delta V$ [%]	I <sup>2</sup> R [W]	$\Delta P$ [%]
	16-2_13	24	AFG21M21-PV 1,8 kV 2x(1x6mm2)	20	1.164	17,0	22,5	23	4,0	0,34%	67,7	0,34%
	16-2_14	24	AFG21M21-PV 1,8 kV 2x(1x6mm2)	20	1.164	17,0	22,5	23	4,0	0,34%	67,7	0,34%
	16-2_15	69	AFG21M21-PV 1,8 kV 2x(1x6mm2)	20	1.164	17,0	22,5	23	11,4	0,98%	194,7	0,98%
	16-2_16	69	AFG21M21-PV 1,8 kV 2x(1x6mm2)	20	1.164	17,0	22,5	23	11,4	0,98%	194,7	0,98%
<b>CA-16-3</b>	-	<b>856</b>	-	-	-	-	-	-	<b>15,3</b>	<b>1,32%</b>	<b>2.144,1</b>	<b>0,68%</b>
	16-3_1	122	AFG21M21-PV 1,8 kV 2x(1x10mm2)	20	1.164	17,0	22,5	32	12,1	1,04%	206,6	1,04%
	16-3_2	122	AFG21M21-PV 1,8 kV 2x(1x10mm2)	20	1.164	17,0	22,5	32	12,1	1,04%	206,6	1,04%
	16-3_3	91	AFG21M21-PV 1,8 kV 2x(1x6mm2)	20	1.164	17,0	22,5	23	15,2	1,31%	258,7	1,31%
	16-3_4	47	AFG21M21-PV 1,8 kV 2x(1x6mm2)	20	1.164	17,0	22,5	23	7,9	0,68%	134,1	0,68%
	16-3_5	47	AFG21M21-PV 1,8 kV 2x(1x6mm2)	20	1.164	17,0	22,5	23	7,9	0,68%	134,1	0,68%
	16-3_6	82	AFG21M21-PV 1,8 kV 2x(1x6mm2)	20	1.164	17,0	22,5	23	13,7	1,18%	232,7	1,18%
	16-3_7	82	AFG21M21-PV 1,8 kV 2x(1x6mm2)	20	1.164	17,0	22,5	23	13,7	1,18%	232,7	1,18%
	16-3_8	3	AFG21M21-PV 1,8 kV 2x(1x6mm2)	20	1.164	17,0	22,5	23	0,4	0,04%	7,5	0,04%
	16-3_9	3	AFG21M21-PV 1,8 kV 2x(1x6mm2)	20	1.164	17,0	22,5	23	0,4	0,04%	7,5	0,04%
	16-3_10	39	AFG21M21-PV 1,8 kV 2x(1x6mm2)	20	1.164	17,0	22,5	23	6,5	0,56%	111,1	0,56%
	16-3_11	39	AFG21M21-PV 1,8 kV 2x(1x6mm2)	20	1.164	17,0	22,5	23	6,5	0,56%	111,1	0,56%
	16-3_12	92	AFG21M21-PV 1,8 kV 2x(1x6mm2)	20	1.164	17,0	22,5	23	15,3	1,32%	260,6	1,32%
	16-3_13	4	AFG21M21-PV 1,8 kV 2x(1x6mm2)	20	1.164	17,0	22,5	23	0,6	0,06%	11,0	0,06%
	16-3_14	4	AFG21M21-PV 1,8 kV 2x(1x6mm2)	20	1.164	17,0	22,5	23	0,6	0,06%	11,0	0,06%
	16-3_15	39	AFG21M21-PV 1,8 kV 2x(1x6mm2)	20	1.164	17,0	22,5	23	6,4	0,55%	109,5	0,55%
	16-3_16	39	AFG21M21-PV 1,8 kV 2x(1x6mm2)	20	1.164	17,0	22,5	23	6,4	0,55%	109,5	0,55%
<b>CA-16-4</b>	-	<b>820</b>	-	-	-	-	-	-	<b>15,6</b>	<b>1,34%</b>	<b>2.319,8</b>	<b>0,73%</b>
	16-4_1	44	AFG21M21-PV 1,8 kV 2x(1x6mm2)	20	1.164	17,0	22,5	23	7,3	0,63%	124,1	0,63%
	16-4_2	44	AFG21M21-PV 1,8 kV 2x(1x6mm2)	20	1.164	17,0	22,5	23	7,3	0,63%	124,1	0,63%
	16-4_3	33	AFG21M21-PV 1,8 kV 2x(1x6mm2)	20	1.164	17,0	22,5	23	5,5	0,47%	93,3	0,47%
	16-4_4	33	AFG21M21-PV 1,8 kV 2x(1x6mm2)	20	1.164	17,0	22,5	23	5,5	0,47%	93,3	0,47%
	16-4_5	3	AFG21M21-PV 1,8 kV 2x(1x6mm2)	20	1.164	17,0	22,5	23	0,5	0,04%	8,5	0,04%
	16-4_6	3	AFG21M21-PV 1,8 kV 2x(1x6mm2)	20	1.164	17,0	22,5	23	0,5	0,04%	8,5	0,04%
	16-4_7	38	AFG21M21-PV 1,8 kV 2x(1x6mm2)	20	1.164	17,0	22,5	23	6,3	0,54%	107,1	0,54%
	16-4_8	38	AFG21M21-PV 1,8 kV 2x(1x6mm2)	20	1.164	17,0	22,5	23	6,3	0,54%	107,1	0,54%
	16-4_9	94	AFG21M21-PV 1,8 kV 2x(1x6mm2)	20	1.164	17,0	22,5	23	15,6	1,34%	265,2	1,34%
	16-4_10	94	AFG21M21-PV 1,8 kV 2x(1x6mm2)	20	1.164	17,0	22,5	23	15,6	1,34%	265,2	1,34%
	16-4_11	90	AFG21M21-PV 1,8 kV 2x(1x6mm2)	20	1.164	17,0	22,5	23	15,0	1,29%	254,6	1,29%
	16-4_12	90	AFG21M21-PV 1,8 kV 2x(1x6mm2)	20	1.164	17,0	22,5	23	15,0	1,29%	254,6	1,29%
	16-4_13	49	AFG21M21-PV 1,8 kV 2x(1x6mm2)	20	1.164	17,0	22,5	23	8,1	0,70%	137,9	0,70%
	16-4_14	49	AFG21M21-PV 1,8 kV 2x(1x6mm2)	20	1.164	17,0	22,5	23	8,1	0,70%	137,9	0,70%
	16-4_15	60	AFG21M21-PV 1,8 kV 2x(1x6mm2)	20	1.164	17,0	22,5	23	9,9	0,85%	169,1	0,85%
	16-4_16	60	AFG21M21-PV 1,8 kV 2x(1x6mm2)	20	1.164	17,0	22,5	23	9,9	0,85%	169,1	0,85%
<b>CA-16-5</b>	-	<b>385</b>	-	-	-	-	-	-	<b>11,5</b>	<b>0,99%</b>	<b>1.088,4</b>	<b>0,37%</b>
	16-5_1	69	AFG21M21-PV 1,8 kV 2x(1x6mm2)	20	1.164	17,0	22,5	23	11,5	0,99%	195,7	0,99%
	16-5_2	25	AFG21M21-PV 1,8 kV 2x(1x6mm2)	20	1.164	17,0	22,5	23	4,2	0,36%	71,2	0,36%
	16-5_3	25	AFG21M21-PV 1,8 kV 2x(1x6mm2)	20	1.164	17,0	22,5	23	4,2	0,36%	71,2	0,36%
	16-5_4	25	AFG21M21-PV 1,8 kV 2x(1x6mm2)	20	1.164	17,0	22,5	23	4,2	0,36%	71,9	0,36%
	16-5_5	25	AFG21M21-PV 1,8 kV 2x(1x6mm2)	20	1.164	17,0	22,5	23	4,2	0,36%	71,9	0,36%
	16-5_6	2	AFG21M21-PV 1,8 kV 2x(1x6mm2)	20	1.164	17,0	22,5	23	0,4	0,03%	6,0	0,03%
	16-5_7	2	AFG21M21-PV 1,8 kV 2x(1x6mm2)	20	1.164	17,0	22,5	23	0,4	0,03%	6,0	0,03%
	16-5_8	5	AFG21M21-PV 1,8 kV 2x(1x6mm2)	20	1.164	17,0	22,5	23	0,8	0,07%	13,1	0,07%

Descrizione	Sigla Linea Stringa	Lunghezza del tratto	Tipo di cavo	Potenza	Tensione	Corrente impiego	Corrente impiego (IEC)	Portata effettiva del cavo	Caduta di tensione	Caduta di tensione percentuale	Perdite resistive	Perdite percentuali
				P [kW]	V [V]	I [A]	I [A]		$\Delta V$ [V]	$\Delta V$ [%]		
[]	Tag []	L [m]	Tipo cavo []					[A]				
	16-5_9	5	AFG21M21-PV 1,8 kV 2x(1x6mm2)	20	1.164	17,0	22,5	23	0,8	0,07%	13,1	0,07%
	16-5_10	26	AFG21M21-PV 1,8 kV 2x(1x6mm2)	20	1.164	17,0	22,5	23	4,3	0,37%	72,6	0,37%
	16-5_11	26	AFG21M21-PV 1,8 kV 2x(1x6mm2)	20	1.164	17,0	22,5	23	4,3	0,37%	72,6	0,37%
	16-5_12	25	AFG21M21-PV 1,8 kV 2x(1x6mm2)	20	1.164	17,0	22,5	23	4,2	0,36%	71,9	0,36%
	16-5_13	25	AFG21M21-PV 1,8 kV 2x(1x6mm2)	20	1.164	17,0	22,5	23	4,2	0,36%	71,9	0,36%
	16-5_14	49	AFG21M21-PV 1,8 kV 2x(1x6mm2)	20	1.164	17,0	22,5	23	8,2	0,71%	139,7	0,71%
	16-5_15	49	AFG21M21-PV 1,8 kV 2x(1x6mm2)	20	1.164	17,0	22,5	23	8,2	0,71%	139,7	0,71%
<b>CA-16-6</b>	-	<b>823</b>	-	-	-	-	-	-	<b>12,0</b>	<b>1,03%</b>	<b>1.921,7</b>	<b>0,65%</b>
	16-6_1	70	AFG21M21-PV 1,8 kV 2x(1x6mm2)	20	1.164	17,0	22,5	23	11,7	1,00%	198,6	1,00%
	16-6_2	70	AFG21M21-PV 1,8 kV 2x(1x6mm2)	20	1.164	17,0	22,5	23	11,7	1,00%	198,6	1,00%
	16-6_3	2	AFG21M21-PV 1,8 kV 2x(1x6mm2)	20	1.164	17,0	22,5	23	0,3	0,02%	4,6	0,02%
	16-6_4	5	AFG21M21-PV 1,8 kV 2x(1x6mm2)	20	1.164	17,0	22,5	23	0,8	0,07%	13,2	0,07%
	16-6_5	5	AFG21M21-PV 1,8 kV 2x(1x6mm2)	20	1.164	17,0	22,5	23	0,8	0,07%	13,2	0,07%
	16-6_6	49	AFG21M21-PV 1,8 kV 2x(1x6mm2)	20	1.164	17,0	22,5	23	8,2	0,71%	139,8	0,71%
	16-6_7	49	AFG21M21-PV 1,8 kV 2x(1x6mm2)	20	1.164	17,0	22,5	23	8,2	0,71%	139,8	0,71%
	16-6_8	25	AFG21M21-PV 1,8 kV 2x(1x6mm2)	20	1.164	17,0	22,5	23	4,1	0,36%	70,5	0,36%
	16-6_9	25	AFG21M21-PV 1,8 kV 2x(1x6mm2)	20	1.164	17,0	22,5	23	4,2	0,36%	71,9	0,36%
	16-6_10	25	AFG21M21-PV 1,8 kV 2x(1x6mm2)	20	1.164	17,0	22,5	23	4,2	0,36%	71,9	0,36%
	16-6_11	70	AFG21M21-PV 1,8 kV 2x(1x6mm2)	20	1.164	17,0	22,5	23	11,7	1,00%	198,5	1,00%
	16-6_12	70	AFG21M21-PV 1,8 kV 2x(1x6mm2)	20	1.164	17,0	22,5	23	11,7	1,00%	198,5	1,00%
	16-6_13	121	AFG21M21-PV 1,8 kV 2x(1x10mm2)	20	1.164	17,0	22,5	32	12,0	1,03%	204,0	1,03%
	16-6_14	118	AFG21M21-PV 1,8 kV 2x(1x10mm2)	20	1.164	17,0	22,5	32	11,7	1,01%	199,4	1,01%
	16-6_15	118	AFG21M21-PV 1,8 kV 2x(1x10mm2)	20	1.164	17,0	22,5	32	11,7	1,01%	199,4	1,01%
<b>CA-16-7</b>	-	<b>594</b>	-	-	-	-	-	-	<b>16,1</b>	<b>1,38%</b>	<b>1.681,8</b>	<b>0,57%</b>
	16-7_1	24	AFG21M21-PV 1,8 kV 2x(1x6mm2)	20	1.164	17,0	22,5	23	4,0	0,35%	68,6	0,35%
	16-7_2	24	AFG21M21-PV 1,8 kV 2x(1x6mm2)	20	1.164	17,0	22,5	23	4,0	0,35%	68,6	0,35%
	16-7_3	44	AFG21M21-PV 1,8 kV 2x(1x6mm2)	20	1.164	17,0	22,5	23	7,3	0,63%	124,4	0,63%
	16-7_4	44	AFG21M21-PV 1,8 kV 2x(1x6mm2)	20	1.164	17,0	22,5	23	7,3	0,63%	124,4	0,63%
	16-7_5	4	AFG21M21-PV 1,8 kV 2x(1x6mm2)	20	1.164	17,0	22,5	23	0,6	0,06%	11,0	0,06%
	16-7_6	4	AFG21M21-PV 1,8 kV 2x(1x6mm2)	20	1.164	17,0	22,5	23	0,6	0,06%	11,0	0,06%
	16-7_7	24	AFG21M21-PV 1,8 kV 2x(1x6mm2)	20	1.164	17,0	22,5	23	4,0	0,35%	68,3	0,35%
	16-7_8	25	AFG21M21-PV 1,8 kV 2x(1x6mm2)	20	1.164	17,0	22,5	23	4,1	0,35%	69,7	0,35%
	16-7_9	25	AFG21M21-PV 1,8 kV 2x(1x6mm2)	20	1.164	17,0	22,5	23	4,1	0,35%	69,7	0,35%
	16-7_10	97	AFG21M21-PV 1,8 kV 2x(1x6mm2)	20	1.164	17,0	22,5	23	16,1	1,38%	273,5	1,38%
	16-7_11	49	AFG21M21-PV 1,8 kV 2x(1x6mm2)	20	1.164	17,0	22,5	23	8,1	0,69%	137,6	0,69%
	16-7_12	49	AFG21M21-PV 1,8 kV 2x(1x6mm2)	20	1.164	17,0	22,5	23	8,1	0,69%	137,6	0,69%
	16-7_13	74	AFG21M21-PV 1,8 kV 2x(1x6mm2)	20	1.164	17,0	22,5	23	12,4	1,06%	210,1	1,06%
	16-7_14	74	AFG21M21-PV 1,8 kV 2x(1x6mm2)	20	1.164	17,0	22,5	23	12,4	1,06%	210,1	1,06%
	16-7_15	34	AFG21M21-PV 1,8 kV 2x(1x6mm2)	20	1.164	17,0	22,5	23	5,7	0,49%	97,2	0,49%
<b>CA-16-8</b>	-	<b>618</b>	-	-	-	-	-	-	<b>13,1</b>	<b>1,12%</b>	<b>1.748,0</b>	<b>0,59%</b>
	16-8_1	25	AFG21M21-PV 1,8 kV 2x(1x6mm2)	20	1.164	17,0	22,5	23	4,1	0,36%	70,4	0,36%
	16-8_2	25	AFG21M21-PV 1,8 kV 2x(1x6mm2)	20	1.164	17,0	22,5	23	4,1	0,36%	70,4	0,36%
	16-8_3	68	AFG21M21-PV 1,8 kV 2x(1x6mm2)	20	1.164	17,0	22,5	23	11,3	0,97%	191,7	0,97%
	16-8_4	68	AFG21M21-PV 1,8 kV 2x(1x6mm2)	20	1.164	17,0	22,5	23	11,3	0,97%	191,7	0,97%
	16-8_5	2	AFG21M21-PV 1,8 kV 2x(1x6mm2)	20	1.164	17,0	22,5	23	0,4	0,03%	6,9	0,03%
	16-8_6	2	AFG21M21-PV 1,8 kV 2x(1x6mm2)	20	1.164	17,0	22,5	23	0,4	0,03%	6,9	0,03%
	16-8_7	47	AFG21M21-PV 1,8 kV 2x(1x6mm2)	20	1.164	17,0	22,5	23	7,8	0,67%	133,5	0,67%

Descrizione	Sigla Linea Stringa	Lunghezza del tratto	Tipo di cavo	Potenza	Tensione	Corrente impiego	Corrente impiego (IEC)	Portata effettiva del cavo	Caduta di tensione	Caduta di tensione percentuale	Perdite resistive	Perdite percentuali
				P [kW]	V [V]	I [A]	I [A]		$\Delta V$ [V]	$\Delta V$ [%]		
[]	Tag []	L [m]	Tipo cavo []									
	I6-8_8	47	AFG21M21-PV 1,8 kV 2x(1x6mm2)	20	1.164	17,0	22,5	23	7,8	0,67%	133,5	0,67%
	I6-8_9	24	AFG21M21-PV 1,8 kV 2x(1x6mm2)	20	1.164	17,0	22,5	23	4,1	0,35%	69,1	0,35%
	I6-8_10	24	AFG21M21-PV 1,8 kV 2x(1x6mm2)	20	1.164	17,0	22,5	23	4,1	0,35%	69,1	0,35%
	I6-8_11	68	AFG21M21-PV 1,8 kV 2x(1x6mm2)	20	1.164	17,0	22,5	23	11,3	0,97%	191,7	0,97%
	I6-8_12	68	AFG21M21-PV 1,8 kV 2x(1x6mm2)	20	1.164	17,0	22,5	23	11,3	0,97%	191,7	0,97%
	I6-8_13	35	AFG21M21-PV 1,8 kV 2x(1x6mm2)	20	1.164	17,0	22,5	23	5,9	0,50%	99,6	0,50%
	I6-8_14	35	AFG21M21-PV 1,8 kV 2x(1x6mm2)	20	1.164	17,0	22,5	23	5,9	0,50%	99,6	0,50%
	I6-8_15	79	AFG21M21-PV 1,8 kV 2x(1x6mm2)	20	1.164	17,0	22,5	23	13,1	1,12%	222,2	1,12%
<b>CA-CABIN 7</b>		<b>4.866</b>	-						<b>13,7</b>	<b>1,17%</b>	<b>13.769,5</b>	<b>0,56%</b>
<b>Route String - Inverter CA-I7-1</b>			-						-	-	-	-
<b>CA-I7-1</b>		<b>553</b>	-						<b>11,6</b>	<b>0,99%</b>	<b>1.564,2</b>	<b>0,49%</b>
	I7-1_1	42	AFG21M21-PV 1,8 kV 2x(1x6mm2)	20	1.164	17,0	22,5	23	7,1	0,61%	120,2	0,61%
	I7-1_2	42	AFG21M21-PV 1,8 kV 2x(1x6mm2)	20	1.164	17,0	22,5	23	7,1	0,61%	120,2	0,61%
	I7-1_3	42	AFG21M21-PV 1,8 kV 2x(1x6mm2)	20	1.164	17,0	22,5	23	7,0	0,60%	119,5	0,60%
	I7-1_4	42	AFG21M21-PV 1,8 kV 2x(1x6mm2)	20	1.164	17,0	22,5	23	7,0	0,60%	119,5	0,60%
	I7-1_5	69	AFG21M21-PV 1,8 kV 2x(1x6mm2)	20	1.164	17,0	22,5	23	11,6	0,99%	196,5	0,99%
	I7-1_6	69	AFG21M21-PV 1,8 kV 2x(1x6mm2)	20	1.164	17,0	22,5	23	11,6	0,99%	196,5	0,99%
	I7-1_7	29	AFG21M21-PV 1,8 kV 2x(1x6mm2)	20	1.164	17,0	22,5	23	4,8	0,41%	81,1	0,41%
	I7-1_8	29	AFG21M21-PV 1,8 kV 2x(1x6mm2)	20	1.164	17,0	22,5	23	4,8	0,41%	81,1	0,41%
	I7-1_9	29	AFG21M21-PV 1,8 kV 2x(1x6mm2)	20	1.164	17,0	22,5	23	4,9	0,42%	82,9	0,42%
	I7-1_10	29	AFG21M21-PV 1,8 kV 2x(1x6mm2)	20	1.164	17,0	22,5	23	4,9	0,42%	82,9	0,42%
	I7-1_11	3	AFG21M21-PV 1,8 kV 2x(1x6mm2)	20	1.164	17,0	22,5	23	0,5	0,04%	8,8	0,04%
	I7-1_12	6	AFG21M21-PV 1,8 kV 2x(1x6mm2)	20	1.164	17,0	22,5	23	1,0	0,08%	16,5	0,08%
	I7-1_13	6	AFG21M21-PV 1,8 kV 2x(1x6mm2)	20	1.164	17,0	22,5	23	1,0	0,08%	16,5	0,08%
	I7-1_14	35	AFG21M21-PV 1,8 kV 2x(1x6mm2)	20	1.164	17,0	22,5	23	5,8	0,50%	98,7	0,50%
	I7-1_15	35	AFG21M21-PV 1,8 kV 2x(1x6mm2)	20	1.164	17,0	22,5	23	5,8	0,50%	98,7	0,50%
	I7-1_16	44	AFG21M21-PV 1,8 kV 2x(1x6mm2)	20	1.164	17,0	22,5	23	7,3	0,63%	124,9	0,63%
<b>CA-I7-2</b>		<b>624</b>	-						<b>13,7</b>	<b>1,17%</b>	<b>1.765,4</b>	<b>0,56%</b>
	I7-2_1	24	AFG21M21-PV 1,8 kV 2x(1x6mm2)	20	1.164	17,0	22,5	23	4,0	0,35%	68,4	0,35%
	I7-2_2	1	AFG21M21-PV 1,8 kV 2x(1x6mm2)	20	1.164	17,0	22,5	23	0,2	0,02%	4,2	0,02%
	I7-2_3	5	AFG21M21-PV 1,8 kV 2x(1x6mm2)	20	1.164	17,0	22,5	23	0,8	0,06%	12,8	0,06%
	I7-2_4	5	AFG21M21-PV 1,8 kV 2x(1x6mm2)	20	1.164	17,0	22,5	23	0,8	0,06%	12,8	0,06%
	I7-2_5	49	AFG21M21-PV 1,8 kV 2x(1x6mm2)	20	1.164	17,0	22,5	23	8,2	0,70%	139,4	0,70%
	I7-2_6	49	AFG21M21-PV 1,8 kV 2x(1x6mm2)	20	1.164	17,0	22,5	23	8,2	0,70%	139,4	0,70%
	I7-2_7	25	AFG21M21-PV 1,8 kV 2x(1x6mm2)	20	1.164	17,0	22,5	23	4,1	0,35%	69,9	0,35%
	I7-2_8	25	AFG21M21-PV 1,8 kV 2x(1x6mm2)	20	1.164	17,0	22,5	23	4,2	0,36%	71,3	0,36%
	I7-2_9	25	AFG21M21-PV 1,8 kV 2x(1x6mm2)	20	1.164	17,0	22,5	23	4,2	0,36%	71,3	0,36%
	I7-2_10	70	AFG21M21-PV 1,8 kV 2x(1x6mm2)	20	1.164	17,0	22,5	23	11,6	1,00%	197,9	1,00%
	I7-2_11	70	AFG21M21-PV 1,8 kV 2x(1x6mm2)	20	1.164	17,0	22,5	23	11,6	1,00%	197,9	1,00%
	I7-2_12	37	AFG21M21-PV 1,8 kV 2x(1x6mm2)	20	1.164	17,0	22,5	23	6,1	0,53%	104,3	0,53%
	I7-2_13	37	AFG21M21-PV 1,8 kV 2x(1x6mm2)	20	1.164	17,0	22,5	23	6,2	0,53%	105,6	0,53%
	I7-2_14	37	AFG21M21-PV 1,8 kV 2x(1x6mm2)	20	1.164	17,0	22,5	23	6,2	0,53%	105,6	0,53%
	I7-2_15	82	AFG21M21-PV 1,8 kV 2x(1x6mm2)	20	1.164	17,0	22,5	23	13,7	1,17%	232,3	1,17%
	I7-2_16	82	AFG21M21-PV 1,8 kV 2x(1x6mm2)	20	1.164	17,0	22,5	23	13,7	1,17%	232,3	1,17%
<b>CA-I7-3</b>		<b>697</b>	-						<b>13,4</b>	<b>1,15%</b>	<b>1.971,8</b>	<b>0,62%</b>
	I7-3_1	1	AFG21M21-PV 1,8 kV 2x(1x6mm2)	20	1.164	17,0	22,5	23	0,2	0,02%	4,2	0,02%
	I7-3_2	5	AFG21M21-PV 1,8 kV 2x(1x6mm2)	20	1.164	17,0	22,5	23	0,8	0,06%	12,8	0,06%

Descrizione	Sigla Linea Stringa	Lunghezza del tratto	Tipo di cavo	Potenza	Tensione	Corrente impiego	Corrente impiego (IEC)	Portata effettiva del cavo	Caduta di tensione	Caduta di tensione percentuale	Perdite resistive	Perdite percentuali
[]	Tag []	L [m]	Tipo cavo []	P [kW]	V [V]	I [A]	I [A]	[A]	$\Delta V$ [V]	$\Delta V$ [%]	I <sup>2</sup> R [W]	$\Delta P$ [%]
	17-3_3	5	AFG21M21-PV 1,8 kV 2x(1x6mm2)	20	1.164	17,0	22,5	23	0,8	0,06%	12,8	0,06%
	17-3_4	49	AFG21M21-PV 1,8 kV 2x(1x6mm2)	20	1.164	17,0	22,5	23	8,2	0,70%	139,4	0,70%
	17-3_5	49	AFG21M21-PV 1,8 kV 2x(1x6mm2)	20	1.164	17,0	22,5	23	8,2	0,70%	139,4	0,70%
	17-3_6	25	AFG21M21-PV 1,8 kV 2x(1x6mm2)	20	1.164	17,0	22,5	23	4,1	0,35%	69,7	0,35%
	17-3_7	25	AFG21M21-PV 1,8 kV 2x(1x6mm2)	20	1.164	17,0	22,5	23	4,2	0,36%	71,1	0,36%
	17-3_8	25	AFG21M21-PV 1,8 kV 2x(1x6mm2)	20	1.164	17,0	22,5	23	4,2	0,36%	71,1	0,36%
	17-3_9	70	AFG21M21-PV 1,8 kV 2x(1x6mm2)	20	1.164	17,0	22,5	23	11,6	1,00%	197,7	1,00%
	17-3_10	70	AFG21M21-PV 1,8 kV 2x(1x6mm2)	20	1.164	17,0	22,5	23	11,6	1,00%	197,7	1,00%
	17-3_11	36	AFG21M21-PV 1,8 kV 2x(1x6mm2)	20	1.164	17,0	22,5	23	6,0	0,51%	101,8	0,51%
	17-3_12	36	AFG21M21-PV 1,8 kV 2x(1x6mm2)	20	1.164	17,0	22,5	23	6,0	0,51%	101,8	0,51%
	17-3_13	81	AFG21M21-PV 1,8 kV 2x(1x6mm2)	20	1.164	17,0	22,5	23	13,4	1,15%	228,4	1,15%
	17-3_14	81	AFG21M21-PV 1,8 kV 2x(1x6mm2)	20	1.164	17,0	22,5	23	13,4	1,15%	228,4	1,15%
	17-3_15	70	AFG21M21-PV 1,8 kV 2x(1x6mm2)	20	1.164	17,0	22,5	23	11,6	1,00%	197,7	1,00%
	17-3_16	70	AFG21M21-PV 1,8 kV 2x(1x6mm2)	20	1.164	17,0	22,5	23	11,6	1,00%	197,7	1,00%
<b>CA-17-4</b>	-	<b>505</b>	-	-	-	-	-	-	<b>11,6</b>	<b>1,00%</b>	<b>1.429,4</b>	<b>0,45%</b>
	17-4_1	1	AFG21M21-PV 1,8 kV 2x(1x6mm2)	20	1.164	17,0	22,5	23	0,2	0,02%	4,2	0,02%
	17-4_2	5	AFG21M21-PV 1,8 kV 2x(1x6mm2)	20	1.164	17,0	22,5	23	0,8	0,06%	12,8	0,06%
	17-4_3	5	AFG21M21-PV 1,8 kV 2x(1x6mm2)	20	1.164	17,0	22,5	23	0,8	0,06%	12,8	0,06%
	17-4_4	49	AFG21M21-PV 1,8 kV 2x(1x6mm2)	20	1.164	17,0	22,5	23	8,2	0,70%	139,4	0,70%
	17-4_5	49	AFG21M21-PV 1,8 kV 2x(1x6mm2)	20	1.164	17,0	22,5	23	8,2	0,70%	139,4	0,70%
	17-4_6	25	AFG21M21-PV 1,8 kV 2x(1x6mm2)	20	1.164	17,0	22,5	23	4,1	0,35%	69,6	0,35%
	17-4_7	25	AFG21M21-PV 1,8 kV 2x(1x6mm2)	20	1.164	17,0	22,5	23	4,2	0,36%	71,0	0,36%
	17-4_8	25	AFG21M21-PV 1,8 kV 2x(1x6mm2)	20	1.164	17,0	22,5	23	4,2	0,36%	71,0	0,36%
	17-4_9	70	AFG21M21-PV 1,8 kV 2x(1x6mm2)	20	1.164	17,0	22,5	23	11,6	1,00%	197,6	1,00%
	17-4_10	70	AFG21M21-PV 1,8 kV 2x(1x6mm2)	20	1.164	17,0	22,5	23	11,6	1,00%	197,6	1,00%
	17-4_11	35	AFG21M21-PV 1,8 kV 2x(1x6mm2)	20	1.164	17,0	22,5	23	5,9	0,51%	100,3	0,51%
	17-4_12	36	AFG21M21-PV 1,8 kV 2x(1x6mm2)	20	1.164	17,0	22,5	23	6,0	0,51%	101,7	0,51%
	17-4_13	36	AFG21M21-PV 1,8 kV 2x(1x6mm2)	20	1.164	17,0	22,5	23	6,0	0,51%	101,7	0,51%
	17-4_14	24	AFG21M21-PV 1,8 kV 2x(1x6mm2)	20	1.164	17,0	22,5	23	4,0	0,34%	68,3	0,34%
	17-4_15	25	AFG21M21-PV 1,8 kV 2x(1x6mm2)	20	1.164	17,0	22,5	23	4,2	0,36%	71,0	0,36%
	17-4_16	25	AFG21M21-PV 1,8 kV 2x(1x6mm2)	20	1.164	17,0	22,5	23	4,2	0,36%	71,0	0,36%
<b>CA-17-5</b>	-	<b>559</b>	-	-	-	-	-	-	<b>13,4</b>	<b>1,15%</b>	<b>1.582,2</b>	<b>0,53%</b>
	17-5_1	1	AFG21M21-PV 1,8 kV 2x(1x6mm2)	20	1.164	17,0	22,5	23	0,2	0,02%	4,2	0,02%
	17-5_2	5	AFG21M21-PV 1,8 kV 2x(1x6mm2)	20	1.164	17,0	22,5	23	0,8	0,06%	12,8	0,06%
	17-5_3	5	AFG21M21-PV 1,8 kV 2x(1x6mm2)	20	1.164	17,0	22,5	23	0,8	0,06%	12,8	0,06%
	17-5_4	49	AFG21M21-PV 1,8 kV 2x(1x6mm2)	20	1.164	17,0	22,5	23	8,2	0,70%	139,4	0,70%
	17-5_5	49	AFG21M21-PV 1,8 kV 2x(1x6mm2)	20	1.164	17,0	22,5	23	8,2	0,70%	139,4	0,70%
	17-5_6	25	AFG21M21-PV 1,8 kV 2x(1x6mm2)	20	1.164	17,0	22,5	23	4,1	0,35%	69,6	0,35%
	17-5_7	25	AFG21M21-PV 1,8 kV 2x(1x6mm2)	20	1.164	17,0	22,5	23	4,2	0,36%	71,0	0,36%
	17-5_8	25	AFG21M21-PV 1,8 kV 2x(1x6mm2)	20	1.164	17,0	22,5	23	4,2	0,36%	71,0	0,36%
	17-5_9	70	AFG21M21-PV 1,8 kV 2x(1x6mm2)	20	1.164	17,0	22,5	23	11,6	1,00%	197,6	1,00%
	17-5_10	70	AFG21M21-PV 1,8 kV 2x(1x6mm2)	20	1.164	17,0	22,5	23	11,6	1,00%	197,6	1,00%
	17-5_11	81	AFG21M21-PV 1,8 kV 2x(1x6mm2)	20	1.164	17,0	22,5	23	13,4	1,15%	228,3	1,15%
	17-5_12	81	AFG21M21-PV 1,8 kV 2x(1x6mm2)	20	1.164	17,0	22,5	23	13,4	1,15%	228,3	1,15%
	17-5_13	24	AFG21M21-PV 1,8 kV 2x(1x6mm2)	20	1.164	17,0	22,5	23	4,0	0,34%	68,3	0,34%
	17-5_14	25	AFG21M21-PV 1,8 kV 2x(1x6mm2)	20	1.164	17,0	22,5	23	4,2	0,36%	71,0	0,36%
	17-5_15	25	AFG21M21-PV 1,8 kV 2x(1x6mm2)	20	1.164	17,0	22,5	23	4,2	0,36%	71,0	0,36%



Descrizione	Sigla Linea Stringa	Lunghezza del tratto	Tipo di cavo	Potenza	Tensione	Corrente impiego	Corrente impiego (IEC)	Portata effettiva del cavo	Caduta di tensione	Caduta di tensione percentuale	Perdite resistive	Perdite percentuali
[]	Tag []	L [m]	Tipo cavo []	P [kW]	V [V]	I [A]	I [A]	[A]	$\Delta V$ [V]	$\Delta V$ [%]	I <sup>2</sup> R [W]	$\Delta P$ [%]
<b>CA-17-6</b>	-	<b>650</b>	-	-	-	-	-	-	<b>13,4</b>	<b>1,15%</b>	<b>1.838,1</b>	<b>0,62%</b>
17-6_1		25	AFG21M21-PV 1,8 kV 2x(1x6mm2)	20	1.164	17,0	22,5	23	4,1	0,35%	69,6	0,35%
17-6_2		25	AFG21M21-PV 1,8 kV 2x(1x6mm2)	20	1.164	17,0	22,5	23	4,2	0,36%	71,0	0,36%
17-6_3		25	AFG21M21-PV 1,8 kV 2x(1x6mm2)	20	1.164	17,0	22,5	23	4,2	0,36%	71,0	0,36%
17-6_4		70	AFG21M21-PV 1,8 kV 2x(1x6mm2)	20	1.164	17,0	22,5	23	11,6	1,00%	197,6	1,00%
17-6_5		70	AFG21M21-PV 1,8 kV 2x(1x6mm2)	20	1.164	17,0	22,5	23	11,6	1,00%	197,6	1,00%
17-6_6		81	AFG21M21-PV 1,8 kV 2x(1x6mm2)	20	1.164	17,0	22,5	23	13,4	1,15%	228,3	1,15%
17-6_7		81	AFG21M21-PV 1,8 kV 2x(1x6mm2)	20	1.164	17,0	22,5	23	13,4	1,15%	228,3	1,15%
17-6_8		25	AFG21M21-PV 1,8 kV 2x(1x6mm2)	20	1.164	17,0	22,5	23	4,2	0,36%	71,0	0,36%
17-6_9		70	AFG21M21-PV 1,8 kV 2x(1x6mm2)	20	1.164	17,0	22,5	23	11,6	1,00%	197,6	1,00%
17-6_10		70	AFG21M21-PV 1,8 kV 2x(1x6mm2)	20	1.164	17,0	22,5	23	11,6	1,00%	197,6	1,00%
17-6_11		5	AFG21M21-PV 1,8 kV 2x(1x6mm2)	20	1.164	17,0	22,5	23	0,8	0,06%	12,8	0,06%
17-6_12		5	AFG21M21-PV 1,8 kV 2x(1x6mm2)	20	1.164	17,0	22,5	23	0,8	0,06%	12,8	0,06%
17-6_13		49	AFG21M21-PV 1,8 kV 2x(1x6mm2)	20	1.164	17,0	22,5	23	8,2	0,70%	139,4	0,70%
17-6_14		49	AFG21M21-PV 1,8 kV 2x(1x6mm2)	20	1.164	17,0	22,5	23	8,2	0,70%	139,4	0,70%
17-6_15		1	AFG21M21-PV 1,8 kV 2x(1x6mm2)	20	1.164	17,0	22,5	23	0,2	0,02%	4,2	0,02%
<b>CA-17-7</b>	-	<b>661</b>	-	-	-	-	-	-	<b>13,1</b>	<b>1,12%</b>	<b>1.870,5</b>	<b>0,63%</b>
17-7_1		25	AFG21M21-PV 1,8 kV 2x(1x6mm2)	20	1.164	17,0	22,5	23	4,1	0,36%	70,4	0,36%
17-7_2		25	AFG21M21-PV 1,8 kV 2x(1x6mm2)	20	1.164	17,0	22,5	23	4,1	0,36%	70,4	0,36%
17-7_3		68	AFG21M21-PV 1,8 kV 2x(1x6mm2)	20	1.164	17,0	22,5	23	11,3	0,97%	191,7	0,97%
17-7_4		68	AFG21M21-PV 1,8 kV 2x(1x6mm2)	20	1.164	17,0	22,5	23	11,3	0,97%	191,7	0,97%
17-7_5		2	AFG21M21-PV 1,8 kV 2x(1x6mm2)	20	1.164	17,0	22,5	23	0,4	0,03%	6,9	0,03%
17-7_6		2	AFG21M21-PV 1,8 kV 2x(1x6mm2)	20	1.164	17,0	22,5	23	0,4	0,03%	6,9	0,03%
17-7_7		47	AFG21M21-PV 1,8 kV 2x(1x6mm2)	20	1.164	17,0	22,5	23	7,8	0,67%	133,5	0,67%
17-7_8		47	AFG21M21-PV 1,8 kV 2x(1x6mm2)	20	1.164	17,0	22,5	23	7,8	0,67%	133,5	0,67%
17-7_9		24	AFG21M21-PV 1,8 kV 2x(1x6mm2)	20	1.164	17,0	22,5	23	4,1	0,35%	69,1	0,35%
17-7_10		24	AFG21M21-PV 1,8 kV 2x(1x6mm2)	20	1.164	17,0	22,5	23	4,1	0,35%	69,1	0,35%
17-7_11		68	AFG21M21-PV 1,8 kV 2x(1x6mm2)	20	1.164	17,0	22,5	23	11,3	0,97%	191,7	0,97%
17-7_12		68	AFG21M21-PV 1,8 kV 2x(1x6mm2)	20	1.164	17,0	22,5	23	11,3	0,97%	191,7	0,97%
17-7_13		35	AFG21M21-PV 1,8 kV 2x(1x6mm2)	20	1.164	17,0	22,5	23	5,9	0,50%	99,7	0,50%
17-7_14		79	AFG21M21-PV 1,8 kV 2x(1x6mm2)	20	1.164	17,0	22,5	23	13,1	1,12%	222,2	1,12%
17-7_15		79	AFG21M21-PV 1,8 kV 2x(1x6mm2)	20	1.164	17,0	22,5	23	13,1	1,12%	222,2	1,12%
<b>CA-17-8</b>	-	<b>618</b>	-	-	-	-	-	-	<b>13,1</b>	<b>1,12%</b>	<b>1.747,9</b>	<b>0,59%</b>
17-8_1		79	AFG21M21-PV 1,8 kV 2x(1x6mm2)	20	1.164	17,0	22,5	23	13,1	1,12%	222,2	1,12%
17-8_2		25	AFG21M21-PV 1,8 kV 2x(1x6mm2)	20	1.164	17,0	22,5	23	4,1	0,36%	70,4	0,36%
17-8_3		25	AFG21M21-PV 1,8 kV 2x(1x6mm2)	20	1.164	17,0	22,5	23	4,1	0,36%	70,4	0,36%
17-8_4		68	AFG21M21-PV 1,8 kV 2x(1x6mm2)	20	1.164	17,0	22,5	23	11,3	0,97%	191,7	0,97%
17-8_5		68	AFG21M21-PV 1,8 kV 2x(1x6mm2)	20	1.164	17,0	22,5	23	11,3	0,97%	191,7	0,97%
17-8_6		2	AFG21M21-PV 1,8 kV 2x(1x6mm2)	20	1.164	17,0	22,5	23	0,4	0,03%	6,9	0,03%
17-8_7		2	AFG21M21-PV 1,8 kV 2x(1x6mm2)	20	1.164	17,0	22,5	23	0,4	0,03%	6,9	0,03%
17-8_8		47	AFG21M21-PV 1,8 kV 2x(1x6mm2)	20	1.164	17,0	22,5	23	7,8	0,67%	133,5	0,67%
17-8_9		47	AFG21M21-PV 1,8 kV 2x(1x6mm2)	20	1.164	17,0	22,5	23	7,8	0,67%	133,5	0,67%
17-8_10		24	AFG21M21-PV 1,8 kV 2x(1x6mm2)	20	1.164	17,0	22,5	23	4,1	0,35%	69,1	0,35%
17-8_11		24	AFG21M21-PV 1,8 kV 2x(1x6mm2)	20	1.164	17,0	22,5	23	4,1	0,35%	69,1	0,35%
17-8_12		68	AFG21M21-PV 1,8 kV 2x(1x6mm2)	20	1.164	17,0	22,5	23	11,3	0,97%	191,6	0,97%
17-8_13		68	AFG21M21-PV 1,8 kV 2x(1x6mm2)	20	1.164	17,0	22,5	23	11,3	0,97%	191,6	0,97%
17-8_14		35	AFG21M21-PV 1,8 kV 2x(1x6mm2)	20	1.164	17,0	22,5	23	5,9	0,50%	99,6	0,50%
17-8_15		35	AFG21M21-PV 1,8 kV 2x(1x6mm2)	20	1.164	17,0	22,5	23	5,9	0,50%	99,6	0,50%

Descrizione	Sigla Linea Stringa	Lunghezza del tratto	Tipo di cavo	Potenza	Tensione	Corrente impiego	Corrente impiego (IEC)	Portata effettiva del cavo	Caduta di tensione	Caduta di tensione percentuale	Perdite resistive	Perdite percentuali
{}	Tag {}	L [m]	Tipo cavo {}	P [kW]	V [V]	I [A]	I [A]	[A]	$\Delta V$ [V]	$\Delta V$ [%]	$I^2 R$ [W]	$\Delta P$ [%]

<b>MELFI CAMARDA SOLAR PARK S.R.L.</b> C.F e P.IVA: 02367550684 Viale Francesco Restelli 3/7 20124 Milano PEC: <a href="mailto:nrgsolar6@pec.it">nrgsolar6@pec.it</a>	<b>IMPIANTO AGRIVOLTAICO  MELFI CAMARDA 15.9</b>		
<b>PROGETTO DEFINITIVO</b>	<b>MELFI, POTENZA, BASILICATA</b>	<b>IN-GE-02  Rev. 0</b>	Pag. <b>35</b> di <b>39</b>

## 8.2 ALLEGATO 2 - ELENCO CAVI CIRCUITI AC: BASSA TENSIONE

Descrizione	Sigla Linea	Lunghezza del tratto	Tipo di cavo	Potenza attiva	Tensione	Corrente impiego	Portata effettiva del cavo	Caduta di tensione	Caduta di tensione percentuale	Perdite resistive	Perdite percentuali
[]	Tag []	L [m]	Tipo cavo []	P [kW]	V [V]	I [A]	[A]	ΔV [V]	ΔV [%]	I <sup>2</sup> R [W]	ΔP [%]
<b>MELFI CAMARDA 15.9</b>		<b>7.874</b>	-					<b>11,9</b>	<b>1,49%</b>	<b>201.969</b>	<b>0,97%</b>
<b>CA</b>		<b>7.874</b>	-					<b>11,9</b>	<b>1,49%</b>	<b>201.969</b>	<b>0,97%</b>
Tratti Inverter - Cabina			-	-	-	-	-	-	-	-	-
<b>CA-CABIN 1</b>		<b>1.653</b>	-					<b>11,9</b>	<b>1,49%</b>	<b>38.065</b>	<b>1,05%</b>
	CA-I1_1	289	ARG16R16 0.6/1 kV 3x(1x400mm2)	330	800	238,2	425	11,9	1,49%	4.909	1,49%
	CA-I1_2	283	ARG16R16 0.6/1 kV 3x(1x400mm2)	330	800	238,2	425	11,7	1,46%	4.821	1,46%
	CA-I1_3	278	ARG16R16 0.6/1 kV 3x(1x400mm2)	330	800	238,2	425	11,5	1,43%	4.734	1,43%
	CA-I1_4	119	ARG16R16 0.6/1 kV 3x(1x185mm2)	330	800	238,2	288	10,0	1,25%	4.120	1,25%
	CA-I1_5	52	ARG16R16 0.6/1 kV 3x(1x185mm2)	330	800	238,2	288	4,4	0,55%	1.809	0,55%
	CA-I1_6	13	ARG16R16 0.6/1 kV 3x(1x185mm2)	330	800	238,2	288	1,1	0,13%	445	0,13%
	CA-I1_7	55	ARG16R16 0.6/1 kV 3x(1x185mm2)	330	800	238,2	288	4,6	0,57%	1.888	0,57%
	CA-I1_8	83	ARG16R16 0.6/1 kV 3x(1x185mm2)	330	800	238,2	288	7,0	0,87%	2.870	0,87%
	CA-I1_9	111	ARG16R16 0.6/1 kV 3x(1x185mm2)	330	800	238,2	288	9,3	1,17%	3.851	1,17%
	CA-I1_10	149	ARG16R16 0.6/1 kV 3x(1x240mm2)	330	800	238,2	332	9,6	1,19%	3.940	1,19%
	CA-I1_11	220	ARG16R16 0.6/1 kV 3x(1x300mm2)	330	800	238,2	375	11,3	1,42%	4.678	1,42%
<b>CA-CABIN 2</b>		<b>1.190</b>	-					<b>11,5</b>	<b>1,43%</b>	<b>31.102</b>	<b>1,05%</b>
	CA-I2_1	33	ARG16R16 0.6/1 kV 3x(1x185mm2)	330	800	238,2	288	2,8	0,34%	1.136	0,34%
	CA-I2_2	109	ARG16R16 0.6/1 kV 3x(1x185mm2)	330	800	238,2	288	9,1	1,14%	3.758	1,14%
	CA-I2_3	170	ARG16R16 0.6/1 kV 3x(1x240mm2)	330	800	238,2	332	10,8	1,35%	4.471	1,35%
	CA-I2_4	200	ARG16R16 0.6/1 kV 3x(1x300mm2)	330	800	238,2	375	10,3	1,29%	4.251	1,29%
	CA-I2_5	257	ARG16R16 0.6/1 kV 3x(1x400mm2)	330	800	238,2	425	10,6	1,33%	4.380	1,33%
	CA-I2_6	19	ARG16R16 0.6/1 kV 3x(1x185mm2)	330	800	238,2	288	1,6	0,20%	661	0,20%
	CA-I2_7	88	ARG16R16 0.6/1 kV 3x(1x185mm2)	330	800	238,2	288	7,4	0,92%	3.032	0,92%
	CA-I2_8	137	ARG16R16 0.6/1 kV 3x(1x185mm2)	330	800	238,2	288	11,5	1,43%	4.735	1,43%
	CA-I2_9	177	ARG16R16 0.6/1 kV 3x(1x240mm2)	330	800	238,2	332	11,3	1,42%	4.678	1,42%
<b>CA-CABIN 3</b>		<b>1.097</b>	-					<b>8,2</b>	<b>1,02%</b>	<b>18.674</b>	<b>0,63%</b>
	CA-I3_1	96	ARG16R16 0.6/1 kV 3x(1x400mm2)	330	800	238,2	425	4,0	0,50%	1.635	0,50%
	CA-I3_2	58	ARG16R16 0.6/1 kV 3x(1x400mm2)	330	800	238,2	425	2,4	0,30%	987	0,30%
	CA-I3_3	74	ARG16R16 0.6/1 kV 3x(1x400mm2)	330	800	238,2	425	3,1	0,38%	1.261	0,38%
	CA-I3_4	68	ARG16R16 0.6/1 kV 3x(1x400mm2)	330	800	238,2	425	2,8	0,35%	1.150	0,35%
	CA-I3_5	115	ARG16R16 0.6/1 kV 3x(1x400mm2)	330	800	238,2	425	4,7	0,59%	1.955	0,59%
	CA-I3_6	144	ARG16R16 0.6/1 kV 3x(1x400mm2)	330	800	238,2	425	5,9	0,74%	2.444	0,74%
	CA-I3_7	172	ARG16R16 0.6/1 kV 3x(1x400mm2)	330	800	238,2	425	7,1	0,89%	2.933	0,89%
	CA-I3_8	198	ARG16R16 0.6/1 kV 3x(1x400mm2)	330	800	238,2	425	8,2	1,02%	3.376	1,02%
	CA-I3_9	172	ARG16R16 0.6/1 kV 3x(1x400mm2)	330	800	238,2	425	7,1	0,89%	2.933	0,89%
<b>CA-CABIN 4</b>		<b>1.309</b>	-					<b>11,9</b>	<b>1,49%</b>	<b>36.697</b>	<b>1,24%</b>
	CA-I4_1	124	ARG16R16 0.6/1 kV 3x(1x185mm2)	330	800	238,2	288	10,4	1,30%	4.283	1,30%
	CA-I4_2	105	ARG16R16 0.6/1 kV 3x(1x185mm2)	330	800	238,2	288	8,8	1,10%	3.621	1,10%
	CA-I4_3	85	ARG16R16 0.6/1 kV 3x(1x185mm2)	330	800	238,2	288	7,1	0,89%	2.949	0,89%
	CA-I4_4	93	ARG16R16 0.6/1 kV 3x(1x185mm2)	330	800	238,2	288	7,8	0,98%	3.229	0,98%
	CA-I4_5	122	ARG16R16 0.6/1 kV 3x(1x185mm2)	330	800	238,2	288	10,2	1,28%	4.222	1,28%
	CA-I4_6	198	ARG16R16 0.6/1 kV 3x(1x300mm2)	330	800	238,2	375	10,2	1,28%	4.215	1,28%
	CA-I4_7	169	ARG16R16 0.6/1 kV 3x(1x240mm2)	330	800	238,2	332	10,8	1,35%	4.461	1,35%
	CA-I4_8	187	ARG16R16 0.6/1 kV 3x(1x240mm2)	330	800	238,2	332	11,9	1,49%	4.927	1,49%
	CA-I4_9	225	ARG16R16 0.6/1 kV 3x(1x300mm2)	330	800	238,2	375	11,6	1,45%	4.790	1,45%
<b>CA-CABIN 5</b>		<b>1.011</b>	-					<b>11,8</b>	<b>1,47%</b>	<b>28.129</b>	<b>0,95%</b>
	CA-I5_1	228	ARG16R16 0.6/1 kV 3x(1x300mm2)	330	800	238,2	375	11,8	1,47%	4.852	1,47%
	CA-I5_2	190	ARG16R16 0.6/1 kV 3x(1x300mm2)	330	800	238,2	375	9,8	1,22%	4.037	1,22%
	CA-I5_3	151	ARG16R16 0.6/1 kV 3x(1x240mm2)	330	800	238,2	332	9,7	1,21%	3.995	1,21%
	CA-I5_4	113	ARG16R16 0.6/1 kV 3x(1x185mm2)	330	800	238,2	288	9,5	1,18%	3.909	1,18%
	CA-I5_5	75	ARG16R16 0.6/1 kV 3x(1x185mm2)	330	800	238,2	288	6,3	0,78%	2.585	0,78%
	CA-I5_6	55	ARG16R16 0.6/1 kV 3x(1x185mm2)	330	800	238,2	288	4,6	0,57%	1.887	0,57%
	CA-I5_7	104	ARG16R16 0.6/1 kV 3x(1x185mm2)	330	800	238,2	288	8,7	1,09%	3.593	1,09%

Descrizione	Sigla Linea	Lunghezza del tratto	Tipo di cavo	Potenza attiva	Tensione	Corrente impiego	Portata effettiva del cavo	Caduta di tensione	Caduta di tensione percentuale	Perdite resistive	Perdite percentuali
[]	Tag []	L [m]	Tipo cavo []	P [kW]	V [V]	I [A]	[A]	$\Delta V$ [V]	$\Delta V$ [%]	$I^2R$ [W]	$\Delta P$ [%]
	CA-15_8	16	ARG16R16 0.6/1 kV 3x(1x185mm2)	330	800	238,2	288	1,3	0,17%	553	0,17%
	CA-15_9	79	ARG16R16 0.6/1 kV 3x(1x185mm2)	330	800	238,2	288	6,6	0,82%	2.718	0,82%
<b>CA-CABIN 6</b>	-	<b>724</b>	-	-	-	-	-	<b>11,4</b>	<b>1,43%</b>	<b>22.499</b>	<b>0,85%</b>
	CA-16_1	14	ARG16R16 0.6/1 kV 3x(1x185mm2)	330	800	238,2	288	1,2	0,15%	482	0,15%
	CA-16_2	29	ARG16R16 0.6/1 kV 3x(1x185mm2)	330	800	238,2	288	2,4	0,30%	998	0,30%
	CA-16_3	57	ARG16R16 0.6/1 kV 3x(1x185mm2)	330	800	238,2	288	4,8	0,60%	1.976	0,60%
	CA-16_4	87	ARG16R16 0.6/1 kV 3x(1x185mm2)	330	800	238,2	288	7,3	0,91%	3.007	0,91%
	CA-16_5	87	ARG16R16 0.6/1 kV 3x(1x185mm2)	330	800	238,2	288	7,3	0,92%	3.021	0,92%
	CA-16_6	125	ARG16R16 0.6/1 kV 3x(1x185mm2)	330	800	238,2	288	10,4	1,31%	4.310	1,31%
	CA-16_7	136	ARG16R16 0.6/1 kV 3x(1x185mm2)	330	800	238,2	288	11,4	1,43%	4.706	1,43%
	CA-16_8	188	ARG16R16 0.6/1 kV 3x(1x300mm2)	330	800	238,2	375	9,7	1,21%	3.999	1,21%
<b>CA-CABIN 7</b>	-	<b>890</b>	-	-	-	-	-	<b>11,9</b>	<b>1,49%</b>	<b>26.803</b>	<b>1,02%</b>
	CA-17_1	187	ARG16R16 0.6/1 kV 3x(1x240mm2)	330	800	238,2	332	11,9	1,49%	4.925	1,49%
	CA-17_2	148	ARG16R16 0.6/1 kV 3x(1x240mm2)	330	800	238,2	332	9,5	1,18%	3.899	1,18%
	CA-17_3	117	ARG16R16 0.6/1 kV 3x(1x185mm2)	330	800	238,2	288	9,8	1,23%	4.053	1,23%
	CA-17_4	146	ARG16R16 0.6/1 kV 3x(1x240mm2)	330	800	238,2	332	9,3	1,17%	3.857	1,17%
	CA-17_5	56	ARG16R16 0.6/1 kV 3x(1x185mm2)	330	800	238,2	288	4,7	0,59%	1.950	0,59%
	CA-17_6	85	ARG16R16 0.6/1 kV 3x(1x185mm2)	330	800	238,2	288	7,2	0,89%	2.952	0,89%
	CA-17_7	65	ARG16R16 0.6/1 kV 3x(1x185mm2)	330	800	238,2	288	5,4	0,68%	2.233	0,68%
	CA-17_8	85	ARG16R16 0.6/1 kV 3x(1x185mm2)	330	800	238,2	288	7,1	0,89%	2.934	0,89%

<b>MELFI CAMARDA SOLAR PARK S.R.L.</b> C.F e P.IVA: 02367550684 Viale Francesco Restelli 3/7 20124 Milano PEC: <a href="mailto:nrgsolar6@pec.it">nrgsolar6@pec.it</a>	<b>IMPIANTO AGRIVOLTAICO MELFI CAMARDA 15.9</b>		
<b>PROGETTO DEFINITIVO</b>	<b>MELFI, POTENZA, BASILICATA</b>	<b>IN-GE-02 Rev. 0</b>	Pag. <b>36</b> di <b>39</b>

### 8.3 ALLEGATO 3 - ELENCO CAVI CIRCUITI AC: ALTA TENSIONE

Descrizione	Sigla Linea	Tipo di cavo
[]	Tag []	Tipo cavo []
<b>MELFI CAMARDA 15.9</b>		
<b>CA CABINA CR</b>		
Tratto Cabina Trasformazione - Cabina Ricezione		-
<b>CA CABINA CR</b>		-
Linea 2-1		NA2XS(FL)2Y 26/45 kV 3x(1x95mm2)
Linea 6-2		NA2XS(FL)2Y 26/45 kV 3x(1x95mm2)
Linea 4-3		NA2XS(FL)2Y 26/45 kV 3x(1x95mm2)
Linea 5-4		NA2XS(FL)2Y 26/45 kV 3x(1x95mm2)
Linea 7-5		NA2XS(FL)2Y 26/45 kV 3x(1x120mm2)
<b>Linea CR-6</b>		<b>NA2XS(FL)2Y 26/45 kV 3x(1x120mm2)</b>
<b>Linea CR-7</b>		<b>NA2XS(FL)2Y 26/45 kV 3x(1x240mm2)</b>

Potenza linea	Tensione linea	Corrente impiego linea	Caduta di tensione totale	Caduta di tensione percentuale	Perdite resistive tratto	Perdite percentuali (tratto)
P [kW]	V [V]	I [A]	$\Delta V$ [V]	$\Delta V$ [%]	$I^2 R$ [W]	$\Delta P$ [%]
-	-	-	-	-	-	-
<b>23.100</b>	-	-	<b>114,1</b>	✓ 0,32%	<b>37.646</b>	✓ 0,16%
3300	36.000	56,1	14,0	✓ 0,04%	1.299	✓ 0,04%
6600	36.000	112,2	28,3	✓ 0,08%	2.633	✓ 0,04%
3300	36.000	56,1	7,8	✓ 0,02%	718	✓ 0,02%
6600	36.000	112,2	37,6	✓ 0,10%	5.530	✓ 0,08%
9900	36.000	168,2	73,6	✓ 0,20%	9.780	✓ 0,10%
9900	36.000	168,2	44,2	✓ 0,12%	4.344	✓ 0,04%
13200	36.000	224,3	114,1	✓ 0,32%	13.342	✓ 0,10%

<b>MELFI CAMARDA SOLAR PARK S.R.L.</b> C.F e P.IVA: 02367550684 Viale Francesco Restelli 3/7 20124 Milano PEC: <a href="mailto:nrgsolar6@pec.it">nrgsolar6@pec.it</a>	<b>IMPIANTO AGRIVOLTAICO MELFI CAMARDA 15.9</b>		
<b>PROGETTO DEFINITIVO</b>	<b>MELFI, POTENZA, BASILICATA</b>	<b>IN-GE-02 Rev. 0</b>	Pag. <b>37</b> di <b>39</b>

#### 8.4 ALLEGATO 4 - RIEPILOGO CADUTE DI TENSIONE E PERDITE RESISTIVE



Descrizione	Sezione	Potenza DC @ STC	Caduta di tensione totale massima cumulativa	Caduta di tensione tot. percentuale massima cumulativa	Perdite resistive cumulativa	Perdite percentuali cumulativa
		[kWp]	$\Delta V$ [V]	$\Delta V$ [%]	$I^2R$ [W]	$\Delta P$ [%]
<b>MELFI CAMARDA 15.9</b>		<b>19.978,2</b>	<b>143,4</b>	<b>3,30%</b>	<b>335.079</b>	<b>1,68%</b>
<b>TR - TOTALE</b>						
<b>CA - TOTALE</b>						
<b>CA - TOTALE</b>		<b>19.978</b>	<b>143,4</b>	<b>3,30%</b>	<b>335.079</b>	<b>1,68%</b>
	CA_DC_stringhe		17,35	1,49%	95.464	0,48%
	CA_ACBT_Inverter		11,9	1,49%	201.969	0,97%
	CA_ACAT_linee_AT_campo		114,1	0,32%	37.646	0,16%

<b>MELFI CAMARDA SOLAR PARK S.R.L.</b> C.F e P.IVA: 02367550684 Viale Francesco Restelli 3/7 20124 Milano PEC: <a href="mailto:nrgsolar6@pec.it">nrgsolar6@pec.it</a>	<b>IMPIANTO AGRIVOLTAICO  MELFI CAMARDA 15.9</b>		
<b>PROGETTO DEFINITIVO</b>	<b>MELFI, POTENZA, BASILICATA</b>	<b>IN-GE-02  Rev. 0</b>	Pag. <b>38</b> di <b>39</b>

## 8.5 ALLEGATO 5 - ELENCO CAVI CIRCUITI AUSILIARI

Descrizione	Sigla Carico	Descrizione carico	Lunghezza del tratto	Quantità cavo	Tipo di cavo	Potenza	Tensione	Corrente impiego	Portata effettiva del cavo	Caduta di tensione	Caduta di tensione percentuale	Perdite resistive	Perdite percentuali
[]	Tag []	[]	L [m]		Tipo cavo []	P [kW]	V [V]	I [A]	[A]	ΔV [V]	ΔV [%]	I'R [w]	ΔP [%]
MELFI CAMARDA 15.9		-	7.819,1	8.038,0									
MELFI CAMARDA A 15,9 - (AREA 1-2-3-4)		-	5.491,0	5.600,4									
CA4321-CABIN QBT_GEN		-	36	146									
Tratto Carichi - Quadro Gen		-											
CA4321-CABIN QBT_GEN		-	36	146									
	CA4321-QBT_GEN_1	Linee alimentazione QBT-AUX	36	146	FG17 0.6/1 kV 4x(1x10mm2)	15,7	400	23,8	72	3,3	0,8%	125,3	0,8%
CA4321-CABIN QBT_AUX		-	2.533	2.533									
Tratto Carichi QBT_AUX		-											
CA4321-CABIN QBT_AUX		-	2.533	2.533									
	CA4321-QBT_AUX_1	Linee perimetrale (Illuminazione) - Dorsale 1	974	974	FG17 0.6/1 kV 1x(3x6mm2)	0,4	400	1,2	66	8,2	2,0%	4,9	1,1%
	CA4321-QBT_AUX_2	Linee perimetrale (Illuminazione) - Dorsale 2	915	915	FG17 0.6/1 kV 1x(3x6mm2)	0,4	400	1,2	66	7,7	1,9%	4,6	1,1%
	CA4321-QBT_AUX_3	Linee perimetrale (Illuminazione) - Dorsale 3	589	589	FG17 0.6/1 kV 1x(3x6mm2)	0,2	400	0,6	66	2,5	0,6%	0,7	0,3%
	CA4321-QBT_AUX_4	Linee alimentazione UPS	18	18	FG17 0.6/1 kV 1x(3x2,5mm2)	7,7	400	20,3	40	6,2	1,5%	65,6	0,9%
	CA4321-QBT_AUX_5	Illuminazione esterna cabina	16	16	FG17 0.6/1 kV 1x(3x2,5mm2)	0,9	230	4,0	40	1,1	0,5%	2,3	0,3%
	CA4321-QBT_AUX_6	Prese 230V cabina	11	11	FG17 0.6/1 kV 1x(3x2,5mm2)	4,5	230	20,6	40	3,8	1,7%	41,4	0,9%
	CA4321-QBT_AUX_7	Riserva	11	11	FG17 0.6/1 kV 1x(3x2,5mm2)	1,5	230	6,9	40	1,2	0,5%	4,5	0,3%
CA4321-CABIN QBT_UPS		-	2.922	2.922									
Tratto Carichi QBT_UPS		-											
CA4321-CABIN QBT_UPS		-	2.922	2.922									
	CA4321-QBT_UPS_1	Rack Comunicazione	10	10	FG17 0.6/1 kV 1x(3x6mm2)	0,3	230	1,1	66	0,1	0,0%	0,1	0,0%
	CA4321-QBT_UPS_2	Rack CCTV	11	11	FG17 0.6/1 kV 1x(3x6mm2)	0,8	230	3,7	66	0,3	0,1%	0,5	0,1%
	CA4321-QBT_UPS_3	Centralina Allarme	10	10	FG17 0.6/1 kV 1x(3x6mm2)	0,2	230	0,7	66	0,1	0,0%	0,0	0,0%
	CA4321-QBT_UPS_4	Computer	10	10	FG17 0.6/1 kV 1x(3x6mm2)	0,4	230	1,6	66	0,1	0,1%	0,1	0,0%
	CA4321-QBT_UPS_5	Quadro dati	10	10	FG17 0.6/1 kV 1x(3x6mm2)	0,3	230	1,1	66	0,1	0,0%	0,1	0,0%
	CA4321-QBT_UPS_6	Aux cabina di consegna	47	47	FG17 0.6/1 kV 1x(3x6mm2)	4,0	230	18,3	66	6,2	2,7%	59,5	1,5%
	CA4321-QBT_UPS_7	Linee perimetrale (video e allarme) - Dorsale 1	1.076	1.076	FG17 0.6/1 kV 1x(3x6mm2)	0,4	400	0,9	66	7,4	1,8%	3,7	1,0%
	CA4321-QBT_UPS_8	Linee perimetrale (video e allarme) - Dorsale 2	1.019	1.019	FG17 0.6/1 kV 1x(3x6mm2)	0,4	400	0,9	66	7,0	1,7%	3,5	1,0%
	CA4321-QBT_UPS_9	Linee perimetrale (video e allarme) - Dorsale 3	692	692	FG17 0.6/1 kV 1x(3x6mm2)	0,2	400	0,5	66	2,4	0,6%	0,6	0,3%
	CA4321-QBT_UPS_10	Riserva	37	37	FG17 0.6/1 kV 1x(3x2,5mm2)	1,0	230	4,6	40	2,9	1,3%	7,0	0,7%
MELFI CAMARDA 15,9 - (AREA 5)		-	2.328,1	2.437,6									
CA5-CABIN QBT_GEN		-	36	146									
Tratto Carichi - Quadro Gen		-											
CA5-CABIN QBT_GEN		-	36	146									
	CA5-QBT_GEN_1	Linee alimentazione QBT-AUX	36	146	FG17 0.6/1 kV 4x(1x10mm2)	12,0	400	18,2	72	2,5	0,6%	73,5	0,6%
CA5-CABIN QBT_AUX		-	1.075	1.075									
Tratto Carichi QBT_AUX		-											
CA5-CABIN QBT_AUX		-	1.075	1.075									
	CA5-QBT_AUX_1	Linee perimetrale (Illuminazione) - Dorsale 1	1.025	1.025	FG17 0.6/1 kV 1x(3x6mm2)	0,3	400	0,9	66	6,4	1,6%	2,9	0,9%
	CA5-QBT_AUX_2	Linee alimentazione UPS	18	18	FG17 0.6/1 kV 1x(3x2,5mm2)	5,5	400	14,5	40	4,4	1,1%	33,7	0,6%
	CA5-QBT_AUX_3	Illuminazione esterna cabina	11	11	FG17 0.6/1 kV 1x(3x2,5mm2)	0,1	230	0,7	40	0,1	0,1%	0,0	0,0%
	CA5-QBT_AUX_4	Prese 230V cabina	11	11	FG17 0.6/1 kV 1x(3x2,5mm2)	4,5	230	20,6	40	3,8	1,7%	41,4	0,9%
	CA5-QBT_AUX_5	Riserva	11	11	FG17 0.6/1 kV 1x(3x2,5mm2)	1,5	230	6,9	40	1,2	0,5%	4,5	0,3%
CA5-CABIN QBT_UPS		-	1.217	1.217									
Tratto Carichi QBT_UPS		-											
CA5-CABIN QBT_UPS		-	1.217	1.217									
	CA5-QBT_UPS_1	Quadro dati	6	6	FG17 0.6/1 kV 1x(3x2,5mm2)	0,3	230	1,1	40	0,1	0,1%	0,1	0,0%
	CA5-QBT_UPS_2	Aux cabina di consegna	47	47	FG17 0.6/1 kV 1x(3x6mm2)	4,0	230	18,3	66	6,2	2,7%	59,5	1,5%
	CA5-QBT_UPS_3	Linee perimetrale (video e allarme) - Dorsale 1	1.127	1.127	FG17 0.6/1 kV 1x(3x6mm2)	0,3	400	0,7	66	5,8	1,4%	2,2	0,8%
	CA5-QBT_UPS_4	Riserva	37	37	FG17 0.6/1 kV 1x(3x2,5mm2)	1,0	230	4,6	40	2,9	1,3%	7,0	0,7%

<b>MELFI CAMARDA SOLAR PARK S.R.L.</b> C.F e P.IVA: 02367550684 Viale Francesco Restelli 3/7 20124 Milano PEC: <a href="mailto:nrgsolar6@pec.it">nrgsolar6@pec.it</a>	<b>IMPIANTO AGRIVOLTAICO  MELFI CAMARDA 15.9</b>		
<b>PROGETTO DEFINITIVO</b>	<b>MELFI, POTENZA, BASILICATA</b>	<b>IN-GE-02  Rev. 0</b>	Pag. <b>39</b> di <b>39</b>

## 8.6 ALLEGATO 6 – VALORE DI NG

# VALORE DI $N_G$

## (CEI EN 62305 - CEI EN IEC 62858)

$$N_G = 3,33 \text{ fulmini / (anno km}^2\text{)}$$

### POSIZIONE

Latitudine: **41,080758° N**

Longitudine: **15,619172° E**

### INFORMAZIONI

- Il valore di  $N_G$  è riferito alle coordinate geografiche fornite dall'utente (latitudine e longitudine, formato WGS84). E' responsabilità dell'utente verificare l'affidabilità degli strumenti utilizzati per la rilevazione delle coordinate stesse, ivi inclusi la precisione e l'accuratezza di eventuali rilevatori GPS utilizzati per rilevazioni sul campo.
- I valori di  $N_G$  derivano da rilevazioni ed elaborazioni effettuate secondo lo stato dell'arte della tecnologia e delle conoscenze tecnico-scientifiche in materia.
- Il valore di  $N_G$  dipende dalle coordinate inserite. In uno stesso Comune si possono avere più valori di  $N_G$ .
- Piccole variazioni delle coordinate possono portare a valori diversi di  $N_G$  a causa della natura discreta della mappa cartografica.
- I dati forniti da TNE srl possiedono le caratteristiche indicate dalla norma CEI EN IEC 62858 per essere utilizzati nella analisi del rischio prevista dalla norma CEI EN 62305-2.
- I valori di  $N_G$  forniti sono di proprietà di TNE srl. Senza il consenso scritto da parte della TNE, è vietata la raccolta e la divulgazione dei suddetti dati, anche a titolo gratuito, sotto qualsiasi forma e con qualsiasi mezzo.

### VALIDITA' TEMPORALE

- Il valore di  $N_G$  riportato sul presente attestato, in accordo con la norma CEI EN IEC 62858, art. 4.3, dovrà essere rivalutato a partire dal 1° gennaio 2028.

Data 04/12/2023

## Coordinate in formato decimale (WGS84)

**Indirizzo:** Coordinate manuali

**Latitudine:** 41,080758

**Longitudine:** 15,619172

